

# Proračun čelične konstrukcije proizvodne hale

---

**Vukadin, Ana**

**Undergraduate thesis / Završni rad**

**2019**

*Degree Grantor / Ustanova koja je dodijelila akademski / stručni stupanj:*

**University of Split, Faculty of Civil Engineering, Architecture and Geodesy / Sveučilište u Splitu, Fakultet građevinarstva, arhitekture i geodezije**

*Permanent link / Trajna poveznica: <https://urn.nsk.hr/urn:nbn:hr:123:450490>*

*Rights / Prava: [In copyright/Zaštićeno autorskim pravom.](#)*

*Download date / Datum preuzimanja: **2024-05-14***

*Repository / Repozitorij:*



[FCEAG Repository - Repository of the Faculty of Civil Engineering, Architecture and Geodesy, University of Split](#)



**SVEUČILIŠTE U SPLITU**  
**FAKULTET GRAĐEVINARSTVA, ARHITEKTURE I GEODEZIJE**

## **ZAVRŠNI RAD**

**Vukadin Ana**

**Split, 2019**

**SVEUČILIŠTE U SPLITU  
FAKULTET GRAĐEVINARSTVA, ARHITEKTURE I GEODEZIJE**

**Proračun čelične konstrukcije proizvodne hale**

**Završni rad**

**Split,2019.**

## **Proračun čelične konstrukcije proizvodne hale**

### ***Sažetak:***

Na temelju zadanih podataka čelične hale potrebno je dimenzionirati glavnu nosivu konstrukciju, sekundarne nosače, spregove konstrukcije i temelje. Objekt se nalazi na području Splita. Proračun se provodi na temelju graničnog stanja nosivosti (GSN) i graničnog stanja uporabljivosti (GSU). Opterećenja koja se javljaju na konstrukciji su stalno (vlastita težina i dodatno stalno opterećenje) i promjenjivo (snijeg i vjetar). Iznosi unutarnjih sila su dobiveni u računalnom programu „Scia Engineer 19.0“.

### ***Ključne riječi:***

Čelik, hala, nosiva konstrukcija, spregovi, podrožnice, rešetka, stup, dimenzioniranje, spojevi.

## **Design of a steel manufacturing hall**

### ***Abstract:***

Based on the information about a steel manufacturing hall, our assignment is to design this structure: its main supporting structure, secondary structure, bracings and foundations. The object is located in Split. Structure calculations are based on ultimate limit state (ULS) and serviceability limit state (SLS). Loads are permanent and variable (snow and wind). The results of the internal forces were calculated in

### ***Keywords:***

Steel, hall, load-bearing structure, bracings, purlins, grating, column, design, joints.

**SVEUČILIŠTE U SPLITU**

**FAKULTET GRAĐEVINARSTVA, ARHITEKTURE I GEODEZIJE**

Split, Matice hrvatske 15

STUDIJ:	<b>PREDDIPLOMSKI SVEUČILIŠNI STUDIJ GRAĐEVINARSTVA</b>
KANDIDAT:	Vukadin Ana
BROJ INDEKSA:	4458
KATEDRA:	Katedra za metalne i drvene konstrukcije
PREDMET:	Osnove metalnih konstrukcija

### **ZADATAK ZA ZAVRŠNI RAD**

Tema: Proračun čelične konstrukcije proizvodne hale

Opis zadatka: Na temelju zadanih podataka čelične hale potrebno je dimenzionirati glavnu nosivu konstrukciju, sekundarne nosače i spregove konstrukcije.

Način izvedbe: montažno

Materijal konstrukcije: S 355

Objekt se nalazi na području Splita.

Razmak okvira: 5.8 (m)

U Splitu, 19.09.2019.

Voditelj Završnog rada: prof.dr.sc. Ivica Boko

## SADRŽAJ:

<b>1.TEHNICKI OPIS .....</b>	<b>1</b>
1.1. OPIS KONSTRUKCIJE.....	1
1.1.1. Općenito .....	1
1.1.2. Konstruktivni elementi .....	2
1.1.3. Spojevi .....	3
1.2. O PRORAČUNU KONSTRUKCIJE.....	3
1.3. MATERIJAL ZA IZRADU KONSTRUKCIJE.....	4
1.4. PRIMIJENJENI PROPISI .....	4
1.5. ANTIKOROZIVna ZAŠTITA .....	4
1.6. ZAŠTITA OD POŽARA.....	4
1.7. MONTAŽA I TRANSPORT.....	5
<b>2. ANALIZA OPTEREĆENJA .....</b>	<b>6</b>
2.1. GLAVNA NOSIVA KONSTRUKCIJA (OKVIR).....	6
2.1.1. Stalno opterećenje.....	6
2.1.1.1. Krovna ploha .....	6
2.1.2. Pokretno opterećenje .....	7
2.1.2.1. Djelovanje snijega .....	7
2.1.2.2. Djelovanje vjetra .....	9
2.1.2.2.1 Određivanje pritiska na halu za područja dvostrešnog krova $\Theta=0^\circ$ : .....	11
2.1.2.2.2. Određivanje pritiska na halu za vertikalne zidove.....	14
2.1.2.2.3. Djelovanje vjetra na zabat hale.....	18
<b>3. GRANIČNO STANJE UPORABLJIVOSTI (GSU) .....</b>	<b>20</b>
3.1.KROVIŠTE-VERTIKALNI PROGIB .....	20
3.2. STUPOVI-HORIZONTALNI PROGIB .....	21

---

<b>4. GRANIČNO STANJE NOSIVOSTI .....</b>	<b>22</b>
4.1. GLAVNA NOSIVA KONSTRUKCIJA .....	22
4.1.1. Maksimalne rezne sile u stupu.....	22
4.1.2. Maksimalne rezne sile u rešetki.....	24
4.2. SEKUNDARNA KONSTRUKCIJA .....	27
4.2.1. Zabatni stupovi .....	27
4.2.2. Krovni (horizontalni) spregovi .....	29
4.2.3. Bočni (vertikalni) spregovi.....	30
4.2.4. Krovne podrožnice .....	31
4.2.5. Bočne podrožnice .....	41
<b>5. DIMENZIONIRANJE GLAVNE KONSTRUKCIJE .....</b>	<b>43</b>
5.1. Dimenzioniranje rešetke konstruktivnog sustava .....	43
5.1.1. Gornji pojas (GP) .....	43
5.1.2. Donji pojas (DP).....	47
5.1.3. Ispuna-vertikalni štapovi (V).....	50
5.1.4. Ispuna-dijagonalni štapovi(D) .....	53
5.2. Dimenzioniranje stupova (S) .....	55
5.3. Sekundarne konstrukcije.....	62
5.3.1. Zabatni stupovi .....	62
5.3.2. Krovni(horizontalni) spreg .....	66
5.3.3. Bočni spreg .....	66
5.3.4. Krovna podrožnica .....	67
5.3.5. Bočna podrožnica .....	73
<b>6. DIMENZIONIRANJE SPOJEVA .....</b>	<b>77</b>
6.1. DIMENZIONIRANJE UPETOG SPOJA STUP-TEMELJ .....	77
6.2. DIMENZIONIRANJE SPOJA STUP-REŠETKA .....	82
6.3. DIMENZIONIRANJE VLAČNOG NASTAVKA DONJEG POJASA .....	84
<b>7. PRORAČUN TEMELJA .....</b>	<b>86</b>

---

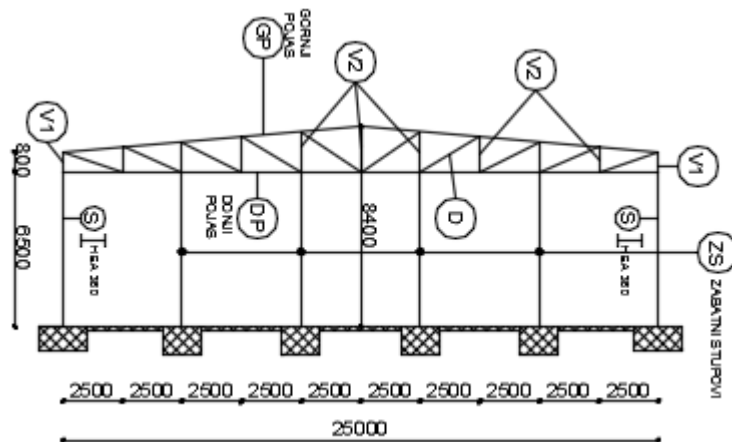
<b>8. LITERATURA .....</b>	89
<b>9.NACRTI .....</b>	90
9.1 GENERALNI PLAN POZICIJA .....	90
9.2 PRESJEK KROZ GLAVNI OKVIR.....	91
9.3 RADIONIČKI NACRT GLAVNOG NOSAČA.....	92
9.4 RADIONIČKI NACRT SEKUNDARNOG NOSAČA.....	93
9.5 DETALJ „DE1“ SPOJA STUP-TEMELJ .....	94
9.6 DETALJ „DE2“ SPOJ STUP-REŠETKA.....	95
9.7 DETALJ „DE3“ VLAČNI NASTAVAK REŠETKE.....	96
<b>10. ISKAZ MATERIJALA.....</b>	97

## 1.TEHNICKI OPIS

### 1.1. OPIS KONSTRUKCIJE

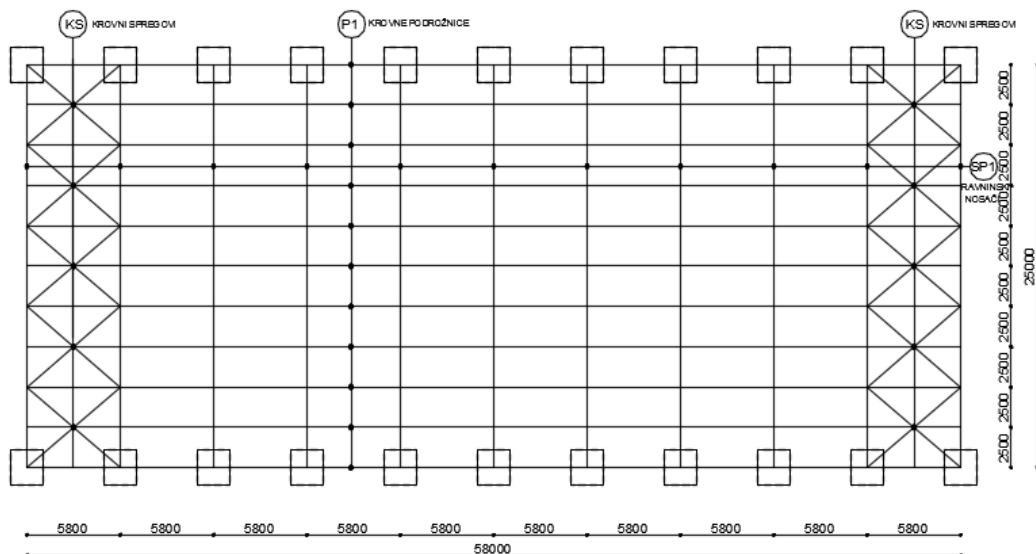
#### 1.1.1. Općenito

Predmetna građevina nalazi se na području grada Splita. Tlocrte dimenzije su 25,0 x 58,0 (m), a visina iznosi 8,4 (m). Krovna ploha je u odnosu na horizontalnu ravninu nagnuta pod kutom  $\alpha = 5,14^\circ$ , što je ekvivalentno nagibu od 9%. Projektirana je za potrebe skladištenja.



Slika 1.1.1.1. Prikaz glavnog nosača

Glavni nosivi sustav hale je zamišljen kao sustav 10 ravninskih rešetki raspona 25,0 (m), stabilnih u svojoj ravnini, na međusobnom osnom razmaku od 5,8 (m).



Slika 1.1.1.2. Tlocrtni prikaz konstrukcije

---

Na grede okvira se oslanjaju sekundarni krovni nosači (podrožnice) na međusobnom osnom razmaku od 2,51 (m), a na stupove su oslonjeni sekundarni bočni nosači na međusobnom osnom razmaku od 2,17 (m).

Stabilizacija hale u smjeru okomitom na glavni nosivi sustav ostvarena je spregovima u krovnim (horizontalnim) i bočnim (zidnim) ravninama i to u krajnjim poljima (prvom i posljednjem).

Kao pokrov koriste se aluminijski sendvič paneli.

Stupovi i grede su nosači međusobno spojeni upetim vezama zbog zahtjeva uporabljivosti same hale. Spoj stupa sa temeljem ostvaren je zglobnom vezom.

### **1.1.2. Konstruktivni elementi**

#### **Stupovi**

Proračunom su odabrani stupovi valjanih H profila HEA360. Za zbatne stupove su odabrani profili HEA 220.

#### **Glavna rešetka**

Glavna rešetka se sastoji od gornjeg i donjeg pojasa, a proračunom su odabrani profili pravokutnog šupljeg poprečnog presjeka CFRHS160x160x5 spojeni u čvorovima. Gornji pojas je napravljen od četiri dijela: dva unutarnja (ukupna dužina 12,048m) i dva vanjska (ukupna dužina 13,048m). Zbog potrebne ukupne dužine donjeg pojasa od 25m svaka greda se sastoji iz tri dijela: dva sa strane (dužine 6,5m) i u sredini (dužine 12m). Pojasevi rešetke povezani su profilima vertikala pravokutno šupljeg poprečnog presjeka CFRHS 40x40x5 i profilima dijagonala pravokutno šupljeg poprečnog presjeka CFRHS 60x60x5. Za vertikale na lijevoj i desnoj strani okvira su odabrani isti profili kao i kod donjeg i gornjeg pojasa. Elementi geometrije prikazani su na generalnom nacrtu.

#### **Podrožnice**

Podrožnica prenosi opterećenje s krovne plohe na glavne nosače, a postavlja se okomito na nagib krovne plohe. Proračunom su odabrane krovne podrožnice valjanih I profila IPE240 i bočne podrožnice valjanih I profila IPE180. Duljina podrožnica 5,8 m.

#### **Spregovi**

Spreg služi za prihvaćanje horizontalnih sila vjetra i za pridržavanje glavnih nosača da ne bi došlo do izbočavanja. Kao dijagonale krovnog sprega su odabrani profili okruglog poprečnog presjeka RD12, a za dijagonale bočnog sprega su odabrani profili okruglog poprečnog presjeka RD16.

## Temelji

Proračunom su odabrani temelji dimenzija 2,0x2,0x1,0 (m).

### 1.1.3. Spojevi

#### Spoj stup-temelj

Spoj se izvodi podložnom pločom dimenzija 620x340x45 (mm) navarenom na kraj stupa i pričvršćenom vijcima M27 k.v. 8.8 nosivim na vlak i odrez, te sidrenim u armirano–betonski temelj. Između podložne ploče i armirano–betonskog temelja podljeva se ekspandirajući mort.

#### Spoj stup-rešetka

Spoj donje pojascice rešetke sa stupom ostvaruje se čeonom pločom dimenzija 340x340x14 (mm), ukrutom i vijcima M12 k.v. 8.8 nosivim na vlak i odrez.

#### Vlačni nastavak rešetke

Spojevi gornjeg i donjeg pojasa ostvaruju se čeonom pločom dimenzija 325x325x30 (mm), ukrutom i vijcima M20 k.v. 10.9 nosivim na vlak i odrez.

## 1.2. O PRORAČUNU KONSTRUKCIJE

Statičkom analizom obuhvaćena su opterećenja koja djeluju na konstrukciju i to:

- stalno (vlastita težina građevine),
- snijeg,
- vjetar

Analiza je provedena na jednom reprezentativnom ravninskom okviru na kojeg otpada 25 (m) širine krovne plohe.

Proračun konstrukcije izvršen je programskim paketom „Scia Engineer 19.0.“ koji se zasniva na metodi pomaka, tj. rezne sile računa po teoriji elastičnosti.

Gornji i donji pojasi su izračunati kao kontinuirane grede na koje su zglobno vezane dijagonale i vertikale. Sekundarne konstrukcije modelirane su kao prosta greda širine 5,8 (m). Kao mjerodavna za dimenzioniranje konstruktivnih elemenata i spojeva uzeta je *najnepovoljnija kombinacija opterećenja*.

### **1.3. MATERIJAL ZA IZRADU KONSTRUKCIJE**

Svi elementi konstrukcije (glavni nosivi okvir, sekundarne konstrukcije, spregovi i spojne ploče) izrađeni su od građevinskog čelika S355.

Temelji su izrađeni od armiranog betona klase C25/30, s betonskim čelikom B500B kao armaturom. Na spoju stupa i temelja koristi se beton s aditivom za bubreњe.

### **1.4. PRIMIJENJENI PROPISI**

Proračun čelične konstrukcije hale proveden je prema sljedećim propisima:

#### Analiza opterećenja

HRN EN 1991	vlastita težina građevine
HRN EN 1992	djelovanje snijega na konstrukciju
HRN EN 1993	djelovanje vjetra na konstrukciju

#### Dimenzioniranje

HRN ENV 1993	dimenzioniranje čeličnih konstrukcija
HRN ENV 1992	dimenzioniranje armirano-betonskih konstrukcija

### **1.5. ANTIKOROZIVNA ZAŠTITA**

Svi dijelovi čelične konstrukcije moraju biti zaštićeni od korozije prema odredbama "Pravilnika o tehničkim mjerama i uvjetima za zaštitu čeličnih konstrukcija od korozije". Kao vrsta zaštite od korozije odabrana je zaštita vrućim pocinčavanjem i zaštitnim premazom. Ukupna debljina zaštitnog sloja usvaja se 200 µm.

### **1.6. ZAŠTITA OD POŽARA**

U svrhu produljenja zagrijavanja konstruktivnih elemenata predmetne hale, svi takvi elementi moraju se zaštiti posebnim premazima otpornim na visoke temperature. Također je potrebno opremiti objekt za slučaj nastanka požara uređajima za najavu požara kao i opremom za njegovo gašenje.

## 1.7. MONTAŽA I TRANSPORT

Pozicije okvira će se izrezati u radionici te transportirati na gradilište. Pri tome potrebno obratiti posebnu pažnju na montažu i transport da bi se izbjegla nepotrebna oštećenja. Izvođač je dužan izraditi plan montaže nosača kojeg treba zajedno sa transportnim planom dostaviti nadzornoj službi za suglasnost. Potrebno je poduzeti sve mjere u skladu s „Pravilnikom o zaštiti na radu“.

## 2. ANALIZA OPTEREĆENJA

### 2.1. GLAVNA NOSIVA KONSTRUKCIJA (OKVIR)

#### 2.1.1. Stalno opterećenje

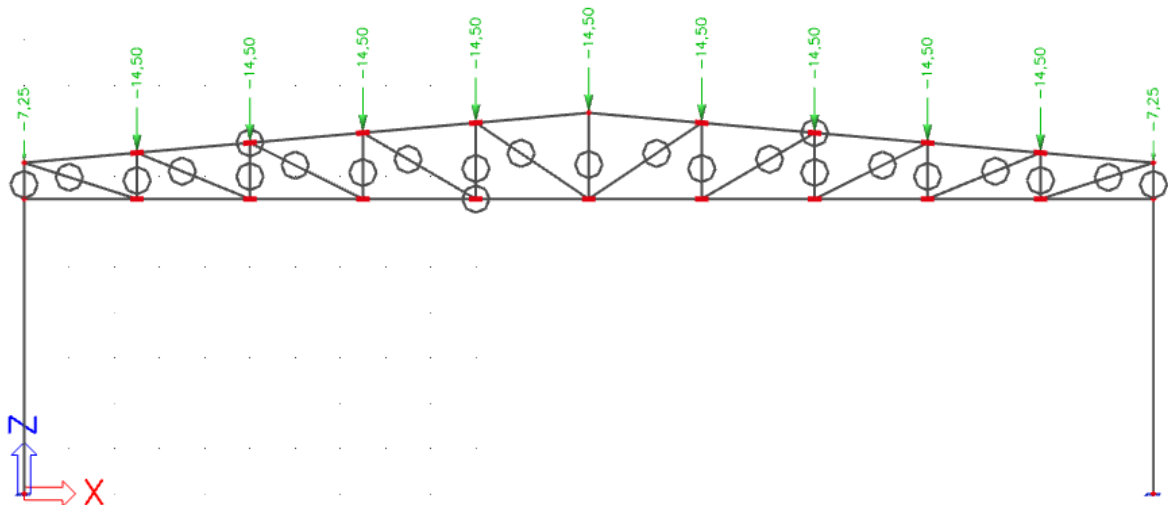
##### 2.1.1.1. Krovna ploha

- sendvič paneli (aluminij) ..... 0,20 kN/m<sup>2</sup>

- sekundarna konstrukcija i spregovi ..... 0,60 kN/m<sup>2</sup>

- instalacije ..... 0,20 kN/m<sup>2</sup>

$$\Sigma = \overline{1,00} \text{ kN/m}^2$$



Slika 2.1.1.1. Stalno opterećenje u čvorovima rešetke

$$G_{kp} = 1,00 \text{ kN/m}^2 \cdot 5,8 \text{ m} = 5,8 \text{ kN/m'}$$

Sile u čvorovima rešetke:

$$G1 = G_{kp} \cdot 1,25 = 7,25 \text{ kN}$$

$$G2 = G_{kp} \cdot 2,5 = 14,5 \text{ kN}$$

## 2.1.2. Pokretno opterećenje

### 2.1.2.1. Djelovanje snijega

$$s = s_k * \mu_i * c_e * c_t [ kN/m^2 ]$$

$s_k \Rightarrow$  karakteristična vrijednost opterećenja na tlu u  $kN/m^2$

$s_k = 0,5 \text{ kN/m}^2 \quad \Leftrightarrow \text{za Split, od } 0\text{-}100 \text{ m nadmorske visine}$

Nagib krova :

$\mu_i \Rightarrow$  koeficijent oblika za opterećenje snijegom , očitamo ga ovisno o  $\alpha$ ,

$\alpha$  je nagib krova

$$\operatorname{tg}\alpha = 9/100=0,09 \rightarrow \alpha = 5,14^\circ ;$$

$$\mu_i = 0,8 \quad \Leftrightarrow \text{za nagib krova } 0^\circ < \alpha < 15^\circ \quad \alpha_1 = \alpha_2$$

$c_e \Rightarrow$  koeficijent izloženosti (uzima se 1,0)

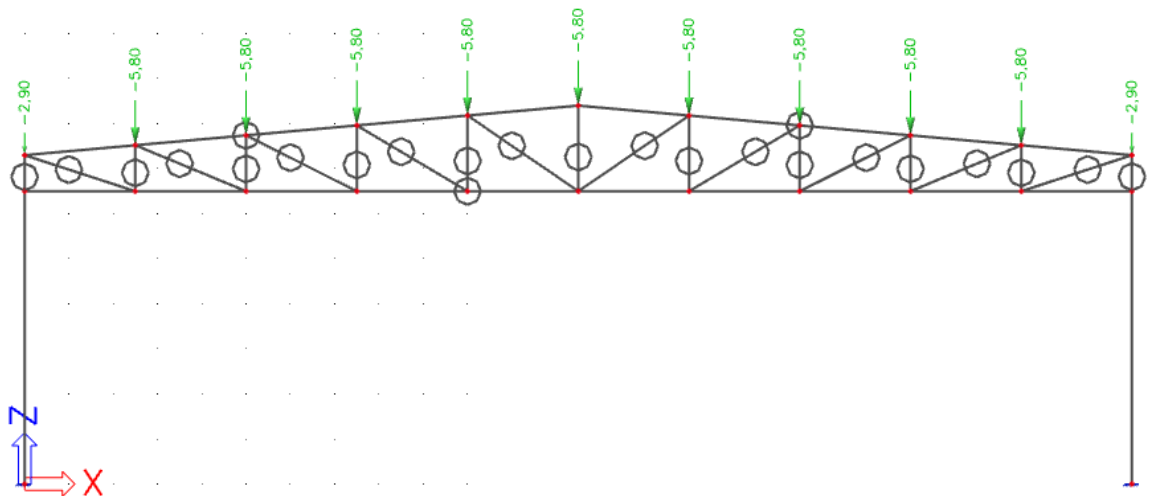
$c_t \Rightarrow$  toplinski koeficijent (uzima se 1,0)

Opterećenje snijegom preko cijele krovne površine:

$$s_1 = 0,5 * 0,8 * 1,0 * 1,0 = 0,40 [ kN/m^2 ]$$

Raspodijeljena sila na glavni nosač:

$$S_1 = 0,40 \text{ kN/m}^2 \cdot 5,80 \text{ m} = 2,32 \text{ kN/m'}$$



*Slika 2.1.2.1.1. Opterećenje snijegom u čvorovima nosača*

Sile u čvorovima rešetke:

$$S1 = S * 1,25 = 2,9 \text{ kN}$$

$$S2 = S * 2,5 = 5,8 \text{ kN}$$

### 2.1.2.2. Djelovanje vjetra

$w_e = q_p(z_e) \cdot c_{pe}$  [ kN/m<sup>2</sup> ] - pritisak vjetra na vanjske površine

$w_i = q_p(z_i) \cdot c_{pi}$  [ kN/m<sup>2</sup> ] - pritisak vjetra na unutarnje površine

$q_p(z_e) \Rightarrow$  pritisak brzine vjetra pri udaru

$z_e \Rightarrow$  referentna visina za vanjski(unutarnji) pritisak

$c_{pe} \Rightarrow$  vanjski koeficijent pritiska

$c_{pi} \Rightarrow$  unutarnji koeficijent pritiska

Određivanje pritiska brzine vjetra pri udaru:

$$q_b = \frac{1}{2} \cdot \rho \cdot v_b^2 (kN / m^2)$$

$\rho \Rightarrow$  gustoća zraka(usvaja se  $\rho = 1,25 \text{ kg/m}^3$ )

$v_b \Rightarrow$  osnovna brzina vjetra

$$v_b = c_{season} \cdot c_{dir} \cdot v_{b,0} (\text{m/s})$$

$v_{b,0} \Rightarrow$  fundamentalna vrijednost brzine vjetra(očitano s karte  $v_{b,0} = 30 \text{ (m/s)}$ )

$c_{dir} \Rightarrow$  faktor smjera vjetra(uzima se 1,0)

$c_{season} \Rightarrow$  faktor doba godine(uzima se 1,0)

$$v_b = 30 \cdot 1,0 \cdot 1,0 = 30 \text{ (m/s)}$$

$v_m(z) \Rightarrow$ srednja brzina vjetra

$$v_m(z) = c_r(z) \cdot c_0(z) \cdot v_b (\text{m/s})$$

$c_0(z) \Rightarrow$  faktor hrapavosti

$c_r(z) \Rightarrow$  faktor orografije(uzima se 1,0)

$k_r(z) \Rightarrow$  faktor terena

$$k_r = 0,19 \cdot (z_0/z_{0,IV})^{0,07} = 0,19 \cdot (0,05/0,05)^{0,07} = 0,19$$

$$c_r(z) = k_r \cdot \ln(z/z_0) = 0,19 \cdot \ln(8,4/0,05) = 0,9736$$

$$v_m(z) = 0,9736 \cdot 1,0 \cdot 30 = 29,21 \text{ (m/s)}$$

$I_v(z)$  => intenzitet turbulencije

$k_l$  => faktor turbulencije (uzima se 1,0)

$$I_v(z) = \frac{k_l}{c_0(z) \cdot \ln(z/z_0)} = \frac{1,0}{1,0 \cdot \ln(8,4/0,05)} = 0,195$$

$$q_b = \frac{1}{2} \cdot \rho \cdot v_b^2 = 0,5 \cdot 1,25 \cdot 30^2 = 0,5625 \text{ (kN / m}^2\text{)}$$

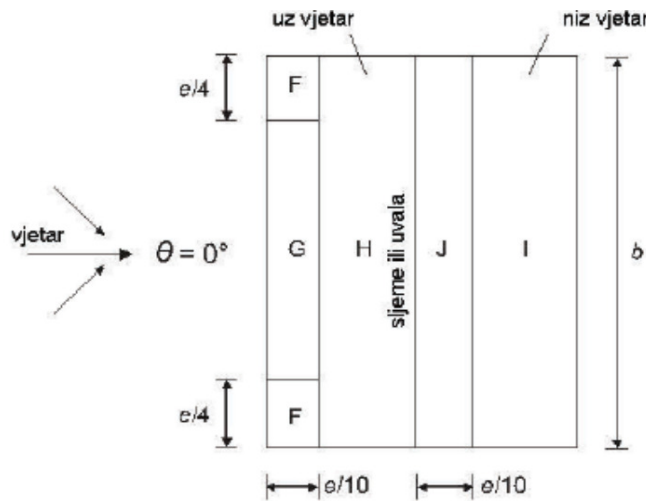
$c_e(z)$  => faktor izloženosti

$$c_e(z) = (1 + 7 \cdot I_v(z)) = 1 + 7 \cdot 0,195 = 2,365$$

Pritisak brzine vjetra pri udaru:

$$q_p = (1 + 7 \cdot I_v(z)) \cdot \frac{1}{2} \cdot \rho \cdot v_m^2 = (1 + 7 \cdot 0,195) \cdot 0,5 \cdot 1,25 \cdot 29,21^2 = 1,261 \text{ (kN/m}^2\text{)}$$

**2.1.2.2.1 Određivanje pritiska na halu za područja dvostrešnog krova  $\Theta=0^\circ$ :**  
 $e = \min(b; 2h) = \min(58; 16,8) = 16,8$



Slika 2.1.2.2.1.1. Prikaz područja vjetra za dvostrešne krovove  $\Theta=0^\circ$

Koefficijenti vanjskog pritiska na halu s krovom nagiba  $\alpha = 5,14^\circ$  za područja dvostrešnog krova  $\Theta=0^\circ$

Tablica 1. Vanjski koefficijenti pritiska prema područjima konstrukcije

PODRUČJE	F	G	H	I	J
$c_{pe,10}$	-1,69	-1,19	-0,596	-0,597	+0,19

TaPODRUČJE	F	G	H	I	J
$c_{pe,10}$	0,003	0,003	0,003	-0,59	-0,59

**Pritisak vjetra na vanjske površine**

$$w_e = q_p \cdot c_{pe} \quad [\text{kN/m}^2]$$

$$q_p = 1,261 \quad \text{kN/m}^2$$

Tablica 2. Vanjski koeficijenti pritiska prema područjima konstrukcije

<b>PODRUČJE</b>	<b>F</b>	<b>G</b>	<b>H</b>	<b>I</b>	<b>J</b>
<b>c<sub>pe,10</sub></b>	-1,69	-1,19	-0,596	-0,597	+0,19
<b>w<sub>e1</sub> (kN/m<sup>2</sup>)</b>	-2,13	-1,5	-0,75	-0,75	+0,24

Tablica 3. Vanjski koeficijenti pritiska prema područjima konstrukcij

<b>PODRUČJE</b>	<b>F</b>	<b>G</b>	<b>H</b>	<b>I</b>	<b>J</b>
<b>c<sub>pe,10</sub></b>	0,003	0,003	0,003	-0,59	-0,59
<b>w<sub>e2</sub> (kN/m<sup>2</sup>)</b>	0,004	0,004	0,004	-0,74	-0,74

### Rezultirajuće djelovanje vjetra

$$w_k = w_e + w_i \text{ [kN/m}^2\text{]}$$

Vjetar W1 pozitivni unutarnji pritisak ( $c_{pi} = +0,2$ )

$$W_k = w_k \cdot L \text{ [kN/m]}, \quad L 5,8 \text{ m} \rightarrow \text{razmak okvira}$$

Tablica 4. Proračun sila prema područjima konstrukcije za pozitivni pritisak

<b>PODRUČJE</b>	<b>F</b>	<b>G</b>	<b>H</b>	<b>I</b>	<b>J</b>
<b>w<sub>e</sub> (kN/m<sup>2</sup>)</b>	-2,13	-1,5	-0,75	-0,75	-0,24
<b>w<sub>i</sub> (kN/m<sup>2</sup>)</b>	0,25	0,25	0,25	0,25	0,25
<b>w<sub>k</sub> (kN/m<sup>2</sup>)</b>	-2,38	-1,75	-1,00	-1,00	-0,01
<b>W<sub>k</sub> (kN)</b>	-19,14	-10,15	-5,8	-5,8	-0,058

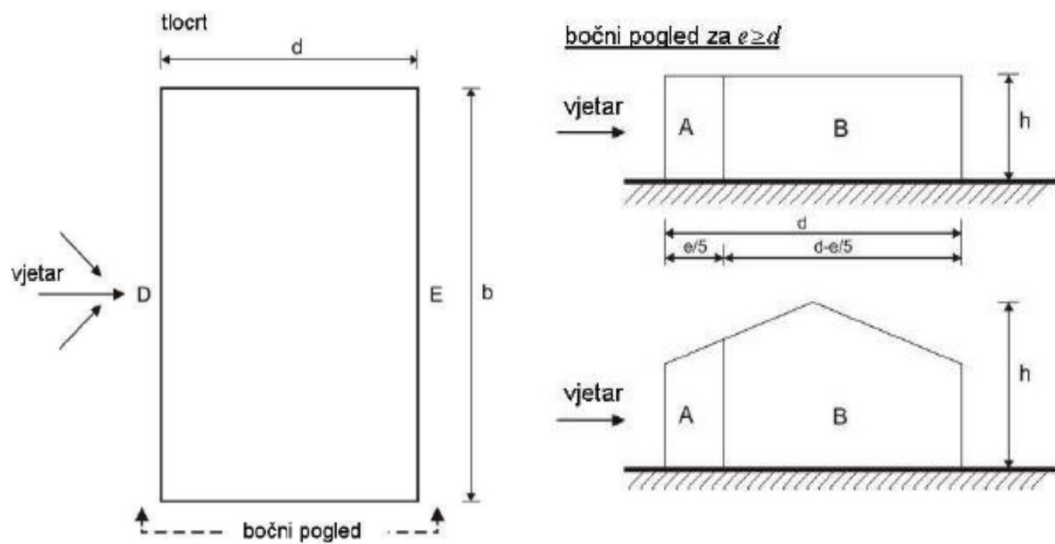
Vjetar W2 negativni unutarnji pritisak ( $c_{pi} = -0,3$ )

$$W_k = w_k \cdot L \text{ [kN/m']}, \quad L = 5,8 \text{ m} \rightarrow \text{razmak okvira}$$

Tablica 5. Proračun sila prema područjima konstrukcije za negativni pritisak

PODRUČJE	F	G	H	I	J
$w_e \text{ (kN/m}^2)$	0,004	0,004	0,004	-0,74	-0,74
$w_i \text{ (kN/m}^2)$	-0,38	-0,38	-0,38	-0,38	-0,38
$w_k \text{ (kN/m}^2)$	+0,384	+0,384	+0,384	-0,36	-0,36
$W_k \text{ (kN)}$	2,23	2,23	2,23	-2,09	-2,09

### 2.1.2.2.2. Određivanje pritiska na halu za vertikalne zidove



Slika 2.1.2.2.1. Prikaz područja vjetra za vertikalne zidove

Koeficijenti vanjskog pritiska na halu za vertikalne zidove  $h/L=0,336$

Tablica 5. Vanjski koeficijenti pritiska prema područjima konstrukcije

PODRUČJE	A	B	C	D	E
$c_{pe,10}$	-1,2	-0,8	-0,5	+0,71	-0,32

#### Određivanje koeficijenata unutarnjeg pritiska

Koeficijenti  $c_{pi}$  ovise o veličini i raspodjeli otvora na oblozi hale (fasada i krov). U ovom primjeru nije definiran raspored i veličina otvora, zato se za vrijednost  $c_{pi}$  usvajaju vrijednosti:

$$\text{Unutrašnji koeficijent pritiska} \rightarrow c_{pi} = -0,3 \text{ i } +0,2$$

### Pritisak vjetra na vanjske površine

$$w_e = q_p \cdot c_{pe} \quad [\text{kN/m}^2]$$

$q_p = 0,341 \text{ kN/m}^2$  - preuzeto iz analize opterećenja glavne nosive konstrukcije

Tablica 6. Vanjski koeficijenti pritiska prema područjima konstrukcije

PODRUČJE	A	B	C	D	E
$c_{pe,10}$	-1,2	-0,8	-0,5	+0,71	-0,32
$w_e (\text{kN/m}^2)$	-1,51	-1,01	-0,63	+0,90	-0,40

### Pritisak vjetra na unutarnje površine

$$w_i = q_p \cdot c_{pi} \quad [\text{kN/m}^2]$$

$$q_p = 1,261 \text{ kN/m}^2$$

$$w_i = 1,261 \cdot 0,2 = +0,2522 \text{ kN/m}^2$$

$$w_i = 1,261 \cdot -0,3 = -0,3783 \text{ kN/m}^2$$

### Rezultirajuće djelovanje vjetra

$$w_k = w_e - w_i \quad [\text{kN/m}^2]$$

Vjetar W1 pozitivni unutarnji pritisak ( $c_{pi} = +0,2$ )

Tablica 7. Proračun sila prema područjima konstrukcije za pozitivan pritisak

PODRUČJE	A	B	C	D	E
$w_e (\text{kN/m}^2)$	-1,51	-1,01	-0,63	+0,9	-0,40
$w_i (\text{kN/m}^2)$	+0,25	+0,25	+0,25	+0,25	+0,25
$w_k (\text{kN/m}^2)$	-1,76	-1,26	-0,88	+0,65	-0,15
$W_k (\text{kN})$	-10,21	-7,31	-5,10	+3,77	-0,87

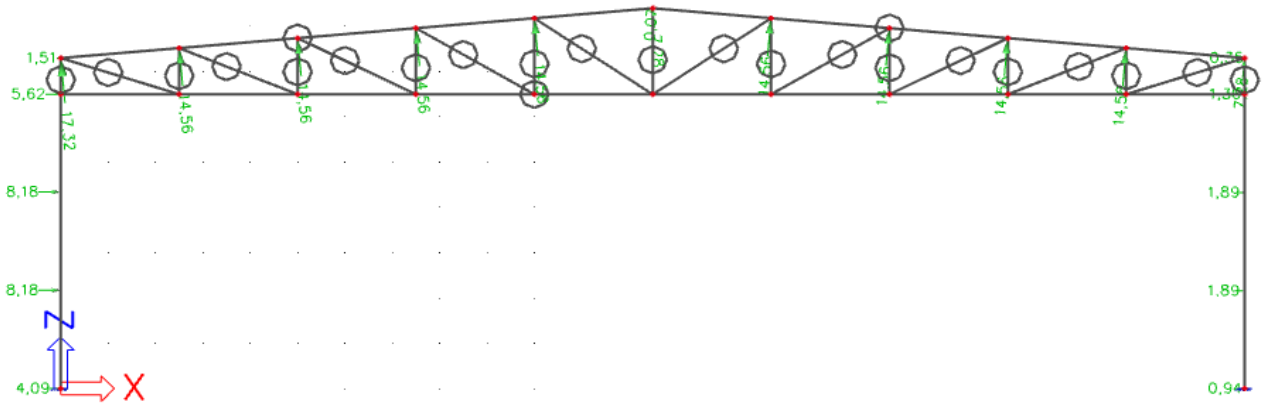
Vjetar W2 negativni unutarnji pritisak ( $c_{pi} = -0,3$ )

Tablica 9. Proračun sila prema područjima konstrukcije za negativan pritisak

PODRUČJE	A	B	C	D	E
$w_e \text{ (kN/m}^2)$	-1,51	-1,01	-0,63	+0,9	-0,40
$w_i \text{ (kN/m}^2)$	-0,38	-0,38	-0,38	-0,38	-0,38
$w_k \text{ (kN/m}^2)$	-1,13	-0,63	-0,25	+1,28	-0,02
$W_k \text{ (kN)}$	-6,55	-3,65	-1,45	+7,42	-0,12

W1

$$\begin{array}{lll}
 W_1 = 17,32 \text{ (kN)} & F \text{ zona} & W_{6k} = 4,09 \text{ (kN)} \quad D \text{ zona} \\
 W_2 = 14,56 \text{ (kN)} & H \text{ zona} & W_{6s} = 8,18 \text{ (kN)} \quad D \text{ zona} \\
 W_{2k} = 7,28 \text{ (kN)} & H \text{ zona} & W_{7k} = 0,94 \text{ (kN)} \quad E \text{ zona} \\
 W_4 = 14,56 \text{ (kN)} & I \text{ zona} & W_{7s} = 1,89 \text{ (kN)} \quad E \text{ zona} \\
 W_{4k} = 7,28 \text{ (kN)} & I \text{ zona} & \\
 W_5 = 0,07 \text{ (kN)} & J \text{ zona} &
 \end{array}$$



Slika 2.1.2.2.2. Prikaz djelovanja vjetra W1

## W2

$$W_1 = 5,59 \text{ (kN)} \quad F \text{ zona} \quad W_{6k} = 8,05 \text{ (kN)} \quad D \text{ zona}$$

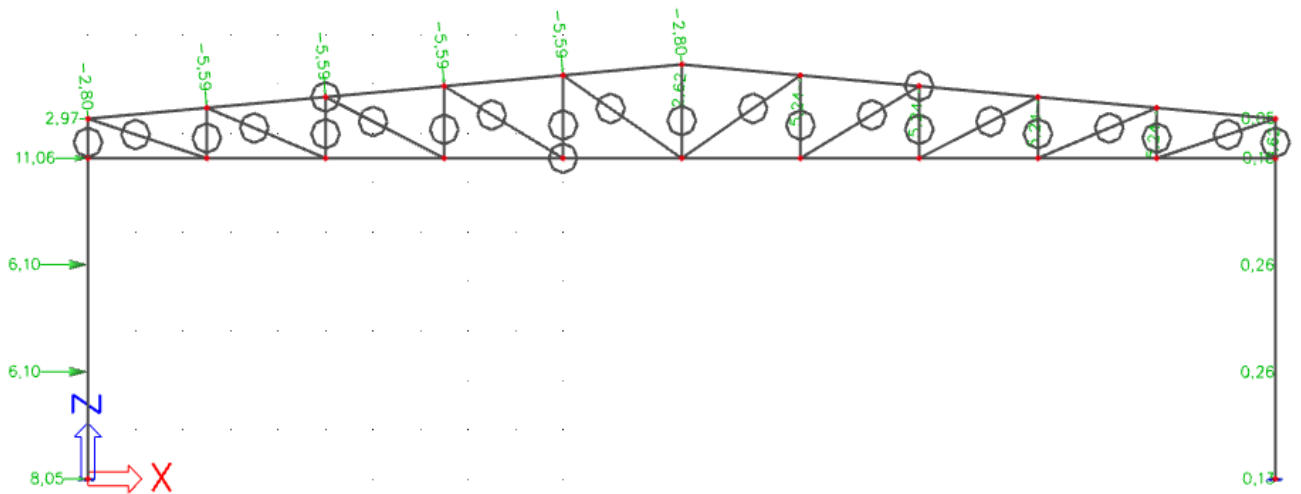
$$W_2 = 5,59 \text{ (kN)} \quad H \text{ zona} \quad W_{6s} = 16,10 \text{ (kN)} \quad D \text{ zona}$$

$$W_{2k} = 2,8 \text{ (kN)} \quad H \text{ zona} \quad W_{7k} = 0,13 \text{ (kN)} \quad E \text{ zona}$$

$$W_4 = 5,24 \text{ (kN)} \quad I \text{ zona} \quad W_{7s} = 0,26 \text{ (kN)} \quad E \text{ zona}$$

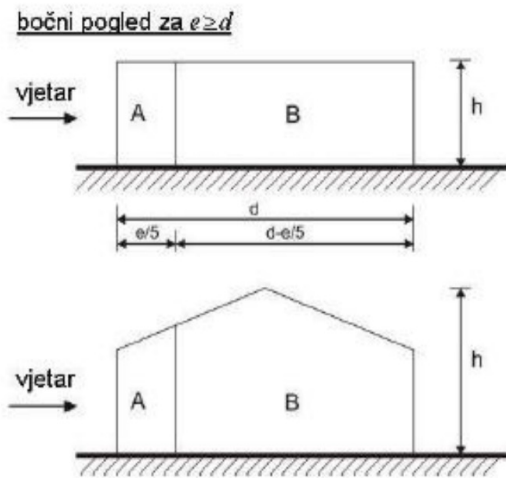
$$W_{4k} = 2,62 \text{ (kN)} \quad I \text{ zona}$$

$$W_5 = 5,24 \text{ (kN)} \quad J \text{ zona}$$



Slika 2.1.2.2.2.3. Prikaz djelovanja vjetra W2

### 2.1.2.2.3. Djelovanje vjetra na zabat hale



Slika 2.1.2.2.3.1. Područje pritiska vjetra na zabat

Koeficijent vanjskog pritiska na halu se dobije linearom interpolacijom koeficijenta zadanih u tablici za vrijednost  $h/d=0,336$

PODRUČJE	A	B	C
$c_{pe,10}$	-1,2	-0,8	-0,5

Vjetar W1 pozitivni unutarnji pritisak ( $c_{pi} = +0,2$ )

PODRUČJE	A	B	C
$w_e (\text{kN/m}^2)$	-1,51	-1,01	-0,63
$w_i (\text{kN/m}^2)$	+0,25	+0,25	+0,25
$w_k (\text{kN/m}^2)$	-1,76	-1,26	-0,88

$$Q_1 = 2,5 \cdot A = 4,4 \text{ kN/m}^2$$

$$Q_2 = (2,5 \cdot 1,64) \cdot A + 1,64 \cdot B + 2,5 \cdot B = 6,73 \text{ kN/m}^2$$

$$Q_3 = 2,5 \cdot B + 2,5 \cdot B = 6,3 \text{ kN/m}^2$$

$$Q4 \text{ kN/m}^2 = 2,5 \cdot B + 1,8 \cdot B + 0,8 \cdot C = 6,12 \text{ kN/m}^2$$

$$Q5 = 2,5 \cdot C + 2,5 \cdot C = 4,4 \text{ kN/m}^2$$

$$Q6 = 2,5 \cdot C = 2,2 \text{ kN/m}^2$$

Sile Q1-Q6 su dobivene kao jednoliko raspoređeno opterećenje po zabatnim zidovima. Reakcije u ležajevima prenose se na krovni spreg, pri čemu je mjerodavno opterećenje vjetrom „W1“.

### 3. GRANIČNO STANJE UPORABLJIVOSTI (GSU)

Kod graničnog stanja uporabljivosti provjerava se vertikalni progib rešetke u sredini koji ne smije prekoračiti vrijednost od  $L/250$  ( $L$  - duljina donjeg pojasa rešetke) i horizontalni pomak na vrhu stupa koji ne smije prekoračiti vrijednost  $H/250$  ( $H$ - visina stupa). Parcijalni koeficijenti sigurnosti kod kontrole GSU iznose 1.

#### 3.1. KROVIŠTE-VERTIKALNI PROGIB

##### 1D deformations

Values:  $u_z$

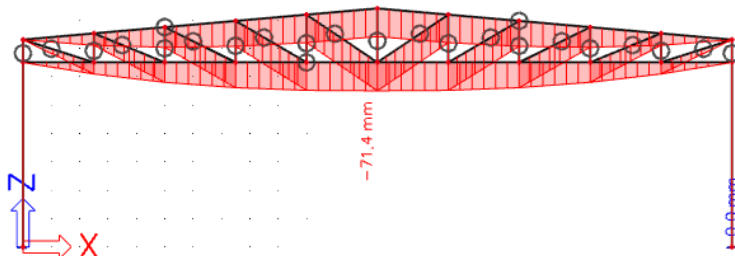
Linear calculation

Combination: TEZINA+SNDEG GSU

Coordinate system: Global

Extreme 1D: Global

Selection: All



3.1.1. Vertikalni progib u sredini donjeg pojasa rešetke

Najveći progib  $\Delta_{max}=71,4$  mm manji je od dopuštenog:

$$L/250=25000/250=100 \text{ mm}$$

**Iskoristivost 71,4 %.**

Za pojaz odabran: **CFRHS 160 x 160 x 5**

Za ispune odabran: vertikale - **CFRHS 40 x 40 x 4**, dijagonale - **CFRHS 60 x 60 x 5**

### 3.2. STUPOVI-HORIZONTALNI PROGIB

#### 1D deformations

Values:  $u_x$

Linear calculation

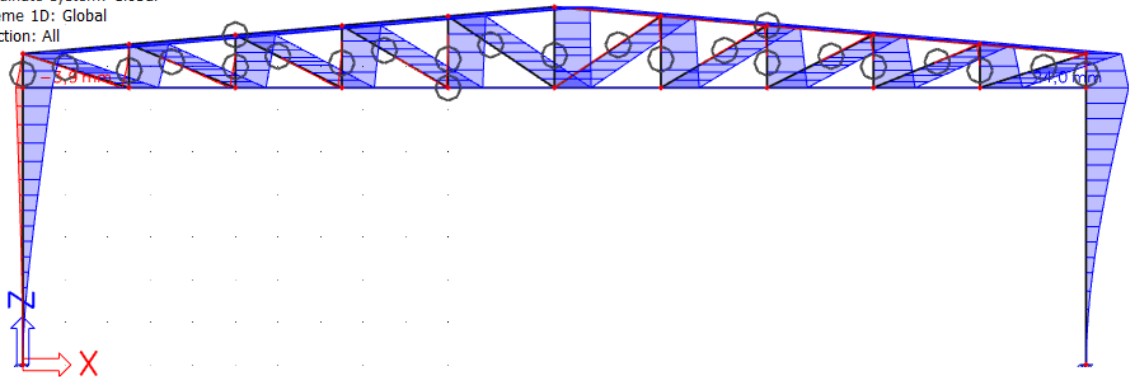
Combination: TEZINA+VJETAR W2

GSU

Coordinate system: Global

Extreme 1D: Global

Selection: All



3.2.1. Horizontalni pomak vrha stupa

Najveći progib  $\Delta_{\text{max}}=23,9 \text{ mm}$  manji je od dopuštenog:

$$H/200=6500/250= 26 \text{ mm}$$

**Iskoristivost 92%.**

Za stup odabran: **HEA 360**

***Granično stanje uporabljivosti je zadovoljeno !***

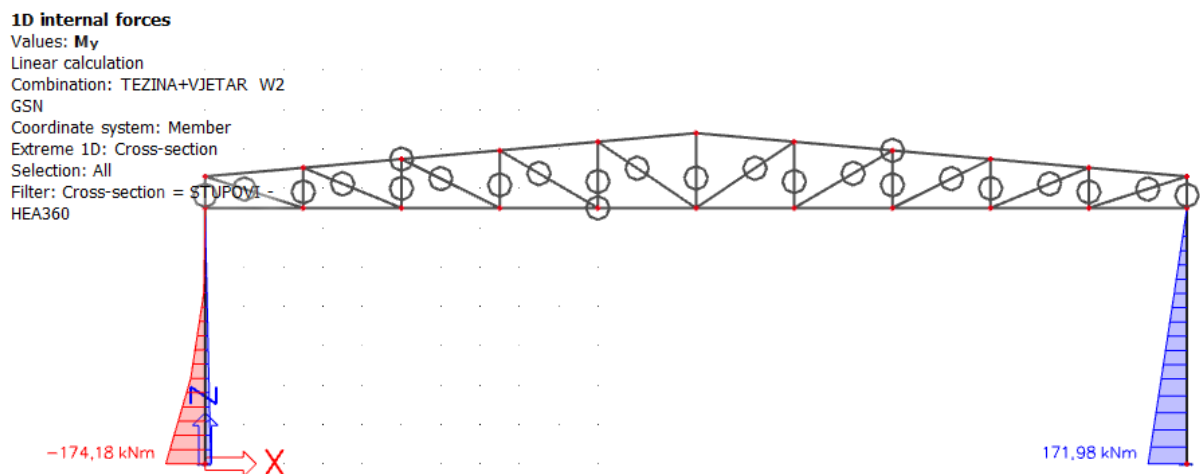
## 4. GRANIČNO STANJE NOSIVOSTI

### 4.1. GLAVNA NOSIVA KONSTRUKCIJA

Dijagrami reznih sila dobiveni su za istoimene profile koji su korišteni pri računanju progiba. Profili su usvojeni sa iskoristivosti od 92%.

#### 4.1.1. Maksimalne rezne sile u stupu

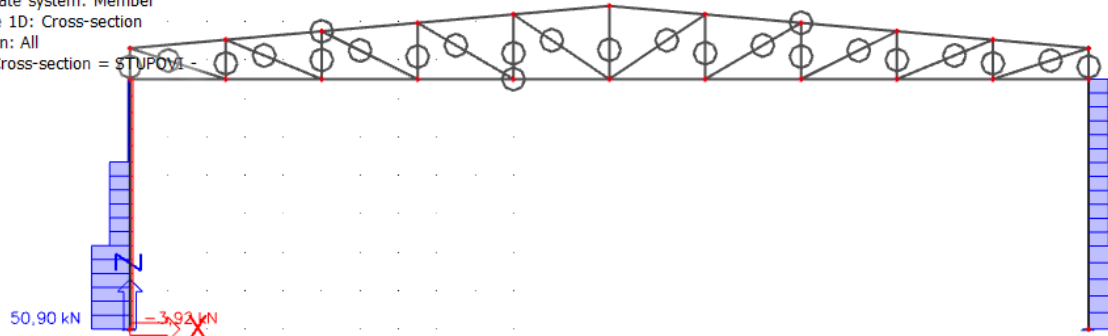
Mjerodavna kritična kombinacija =kombinacija 3  
(1·vlastita težina + 1·dodatao stalno opterećenje + 1,5·vjetar w2)



Slika 4.1.1.1 Maksimalni moment u stupu

**1D internal forces**

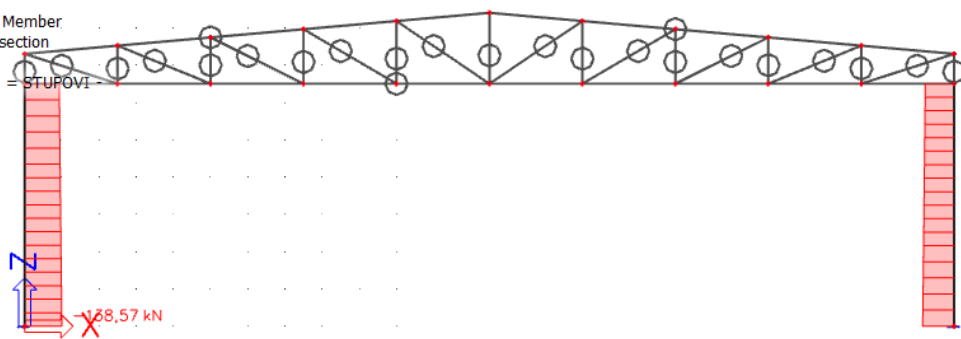
Values:  $V_z$   
Linear calculation  
Combination: TEZINA+VJETAR W2  
GSN  
Coordinate system: Member  
Extreme 1D: Cross-section  
Selection: All  
Filter: Cross-section = STUPOVI  
HEA360



Slika 4.1.1.2 Maksimalna poprečna sila u stupu

**1D internal forces**

Values:  $N$   
Linear calculation  
Combination: TEZINA+VJETAR W2  
GSN  
Coordinate system: Member  
Extreme 1D: Cross-section  
Selection: All  
Filter: Cross-section = STUPOVI  
HEA360



Slika 4.1.1.3. Maksimalna uzdužna sila u stupu

$$M_{Ed} = -174,18 \text{ kNm}$$

$$V_{Ed} = 50,09 \text{ kN}$$

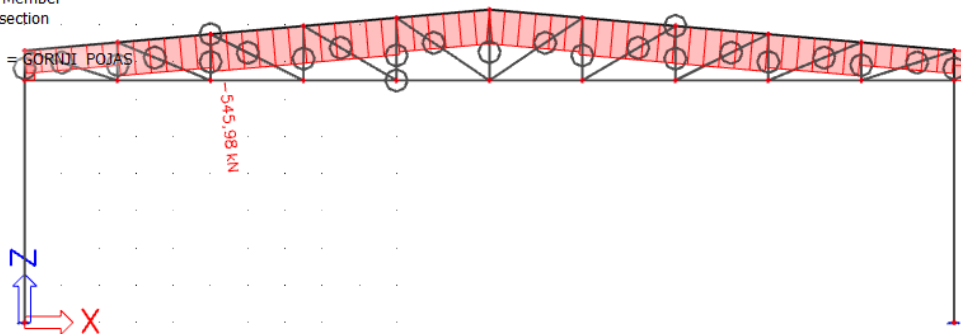
$$N_{Ed} = -138,57 \text{ kN (tlak)}$$

#### 4.1.2. Maksimalne rezne sile u rešetki

Maksimalna uzdužna sila u donjem i gornjem pojusu rešetke, dijagonala i vertikala  
 = kombinacija 1 =  $(1,35 \cdot \text{vlastita težina} + 1,35 \cdot \text{dodatno stalno opterećenje} + 1,5 \cdot \text{sniđeg})$ :

##### 1D internal forces

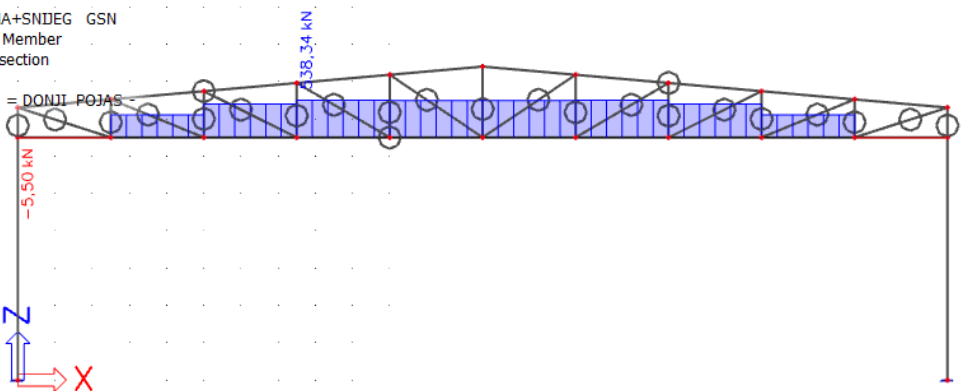
Values: N  
 Linear calculation  
 Combination: TEZINA+SNJEG GSN  
 Coordinate system: Member  
 Extreme 1D: Cross-section  
 Selection: All  
 Filter: Cross-section = GORNJI POJAS  
 - CFRHS160X160X5



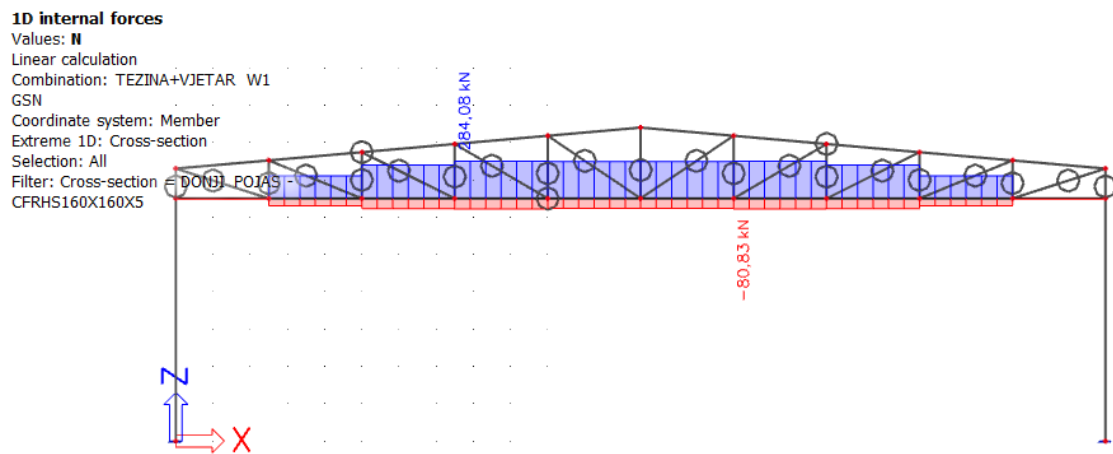
*Slika 4.1.2.1. Maksimalna uzdužna sila u gornjem pojusu rešetke*

##### 1D internal forces

Values: N  
 Linear calculation  
 Combination: TEZINA+SNJEG GSN  
 Coordinate system: Member  
 Extreme 1D: Cross-section  
 Selection: All  
 Filter: Cross-section = DONJI POJAS  
 - CFRHS160X160X5



*Slika 4.1.3.2. Maksimalna uzdužna sila u donjem pojusu rešetke*

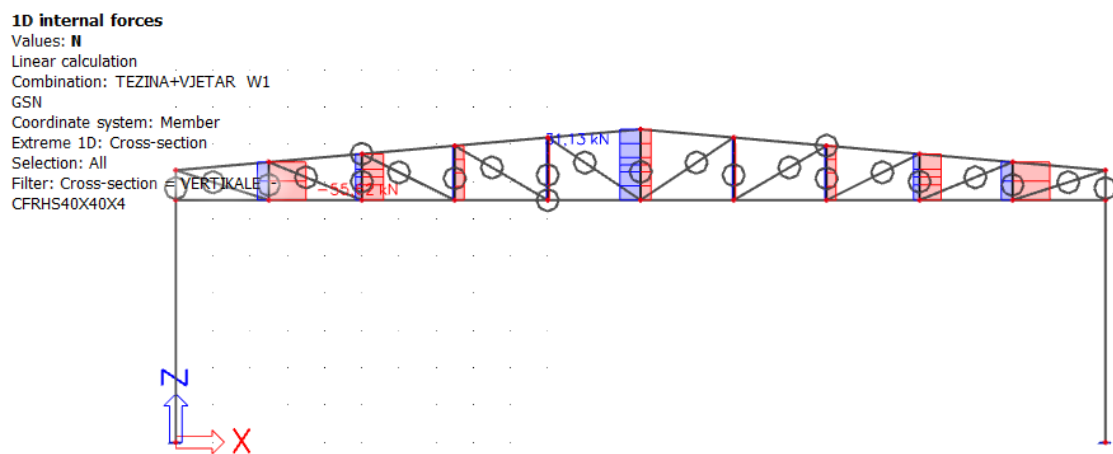


Slika 4.1.3.3. Maksimalna tlačna uzdužna sila u donjem pojusu rešetke

$$N_{Ed\text{-donji pojus}} = 538,34 \text{ (vlak)}$$

$$N_{Ed\text{-gornji pojus}} = -545,98 \text{ kN (tlak)}$$

$$N_{Ed\text{-donji pojus}} = -80,83 \text{ (tlak)}$$



Slika 4.1.3.4. Maksimalna tlačna uzdužna sila u vertikalama rešetke

$$N_{Ed} = -105,80 \text{ (tlak)}$$

**1D internal forces**

Values: **N**

Linear calculation

Combination: TEZINA+VJETAR +W1

GSN

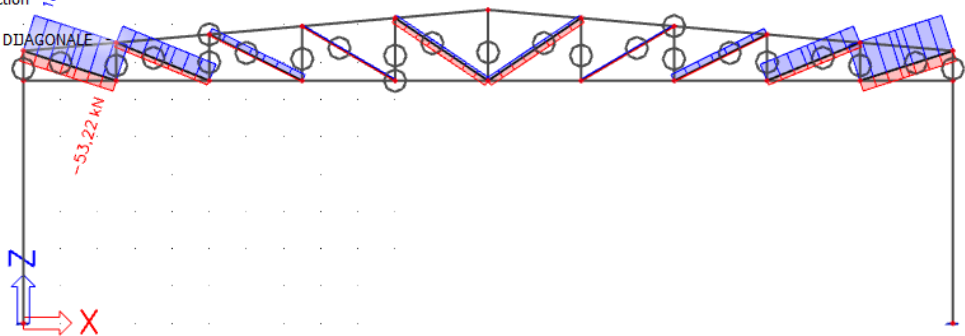
Coordinate system: Member

Extreme 1D: Cross-section

Selection: All

Filter: Cross-section = DIAGONALE

CFRHS60X60X5



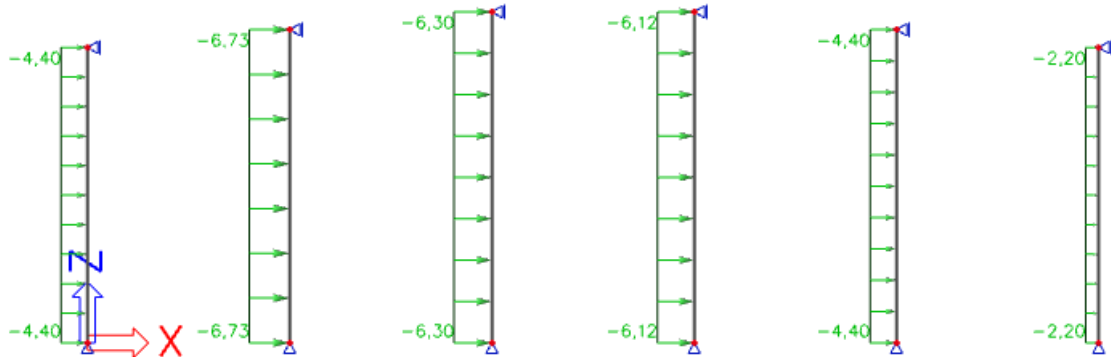
*Slika 4.1.3.5. Maksimalna tlačna uzdužna sila u dijagonalama rešetke*

$$N_{Ed} = 350,22 \text{ (vlak)}$$

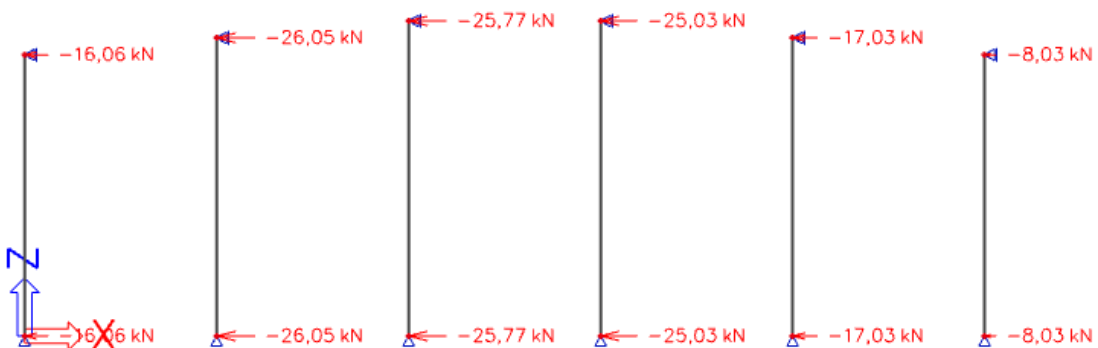
## 4.2. SEKUNDARNA KONSTRUKCIJA

### 4.2.1. Zabatni stupovi

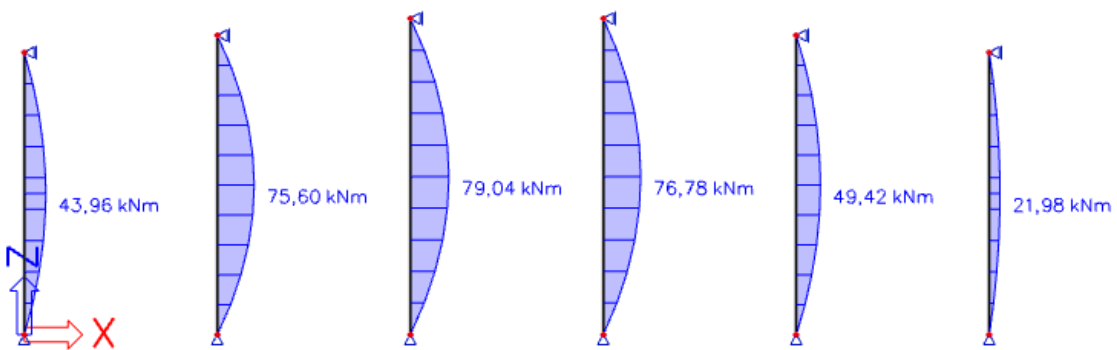
Kao mjerodavno djelovanje uzima se pritisak vjetra „W1“ na zabat čelične hale.



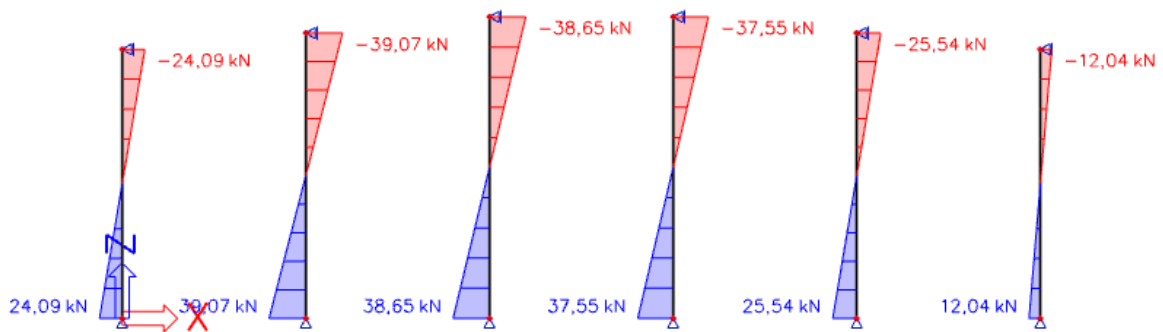
4.2.1.1. Model zabatnih stupova



4.2.1.2. Reakcije za djelovanje vjetra WI



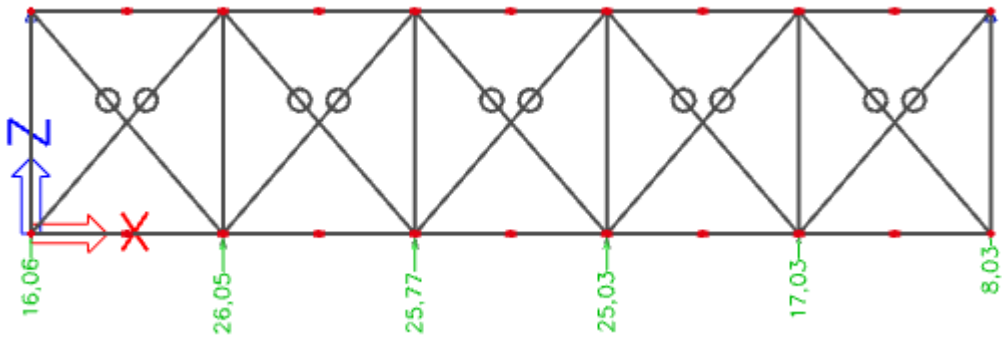
4.2.1.3. Momentni dijagram za djelovanje vjetra WI



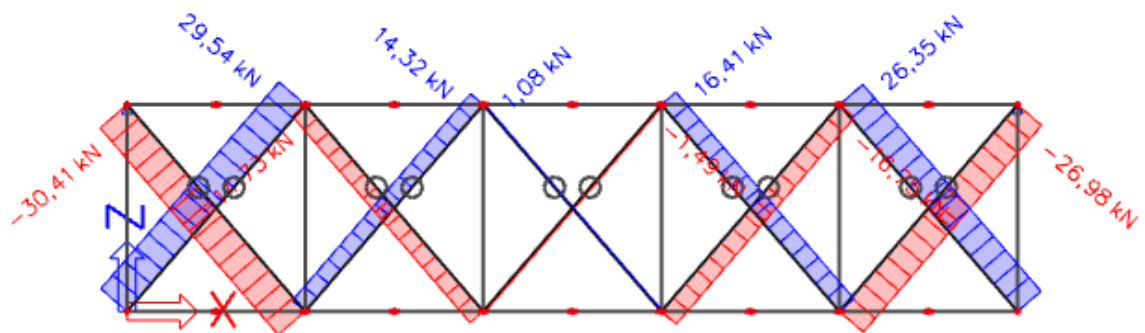
4.2.1.4. Dijagram poprečnih sila za djelovanje vjetra W1

#### 4.2.2.Krovni (horizontalni) spregovi

Sile koje djeluju na krovne spregove su prenešene reakcije sa zabatnih stupova.



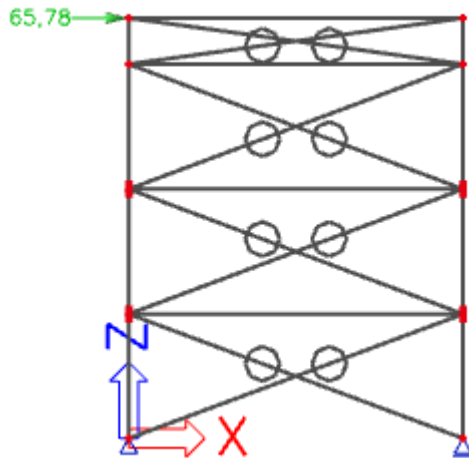
4.2.2.1. Model krovnog sprega



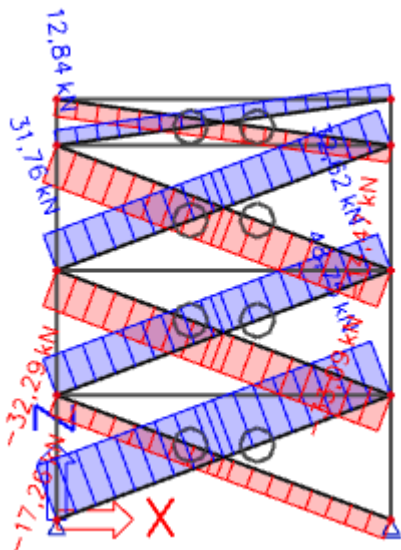
4.2.2.2. Dijagram uzdužnih sila horizontalnog sprega

#### 4.2.3. Bočni (vertikalni) spregovi

Sile koje djeluju na bočne spregove su prenešene reakcije od djelovanja na krovne spregove.



4.2.3.1. Model bočnog sprega



4.2.3.2. Dijagram uzdužnih sila vertikalnog sprega

#### 4.2.4. Krovne podrožnice

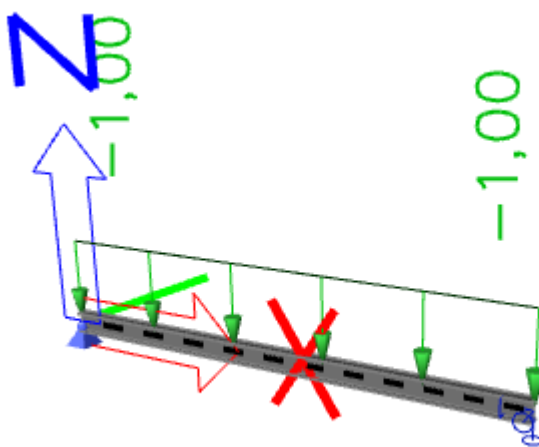
Krovne podrožnice su duljine 5,8m. Nalaze se na osnovom razmaku od 2,510m i pod kutom od  $\alpha = 5,14^\circ$ . Djelovanja na krovnu podrožnicu su:

Dodatno stalno opterećenje:  $G = 0,4 \text{ kN/m}^2 \cdot 2,510\text{m} = 1,004 \text{ kN/m}$

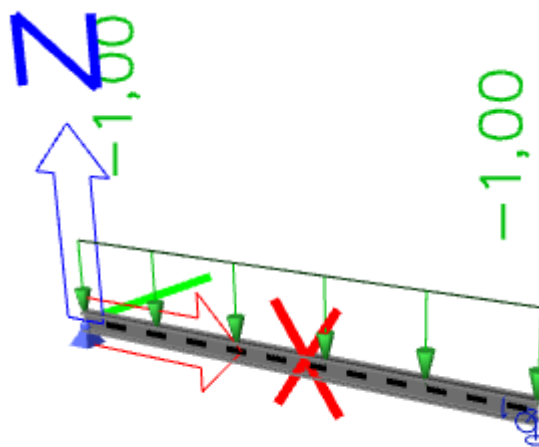
Snijeg:  $S = 0,4 \text{ kN/m}^2 \cdot 2,510\text{m} = 1,004 \text{ kN/m}$

Vjetar W1:  $W_1 = 2,38 \text{ kN/m}^2 \cdot 2,510\text{m} = 5,974 \text{ kN/m}$

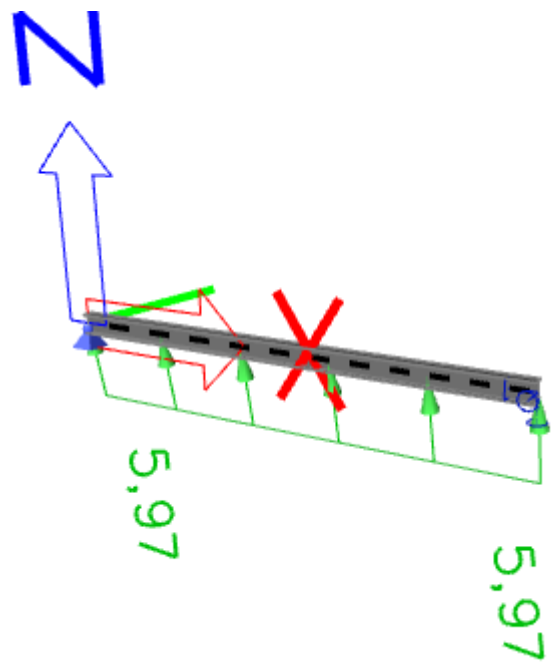
Vjetar W2:  $W_2 = 0,384 \text{ kN/m}^2 \cdot 2,510\text{m} = 0,964 \text{ kN/m}$



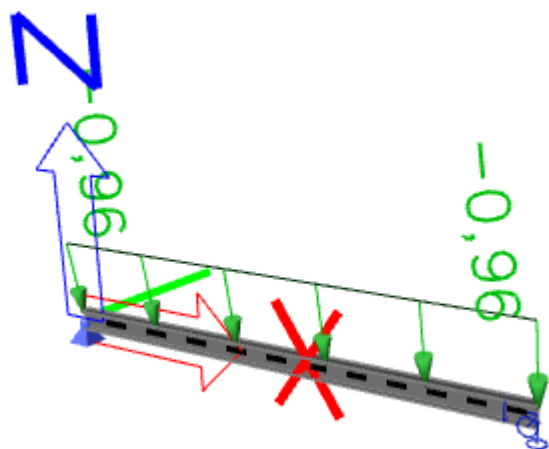
4.2.4.1. Model krovne podrožnice za djelovanje  $G$



4.2.4.2. Model krovne podrožnice za djelovanje  $S$



4.2.4.3 Model krovne podrožnice za djelovanje W1



4.2.4.4 Model krovne podrožnice za djelovanje W2

### 1.KOMBINACIJA 1.35(G+LC1)+1.5S

#### **1D internal forces**

Values:  $M_y$

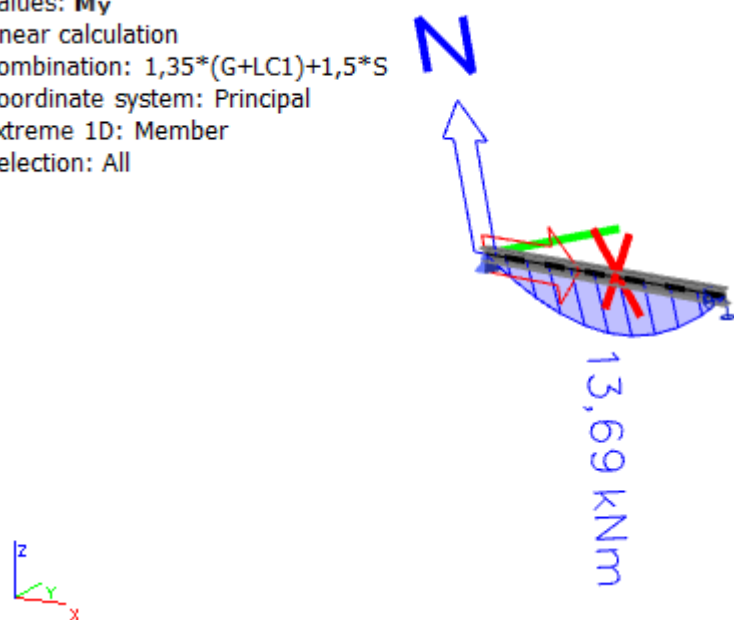
Linear calculation

Combination:  $1,35*(G+LC1)+1,5*S$

Coordinate system: Principal

Extreme 1D: Member

Selection: All



4.2.4.5. Momentni dijagram  $M_y$  za kombinaciju 1

#### **1D internal forces**

Values:  $M_z$

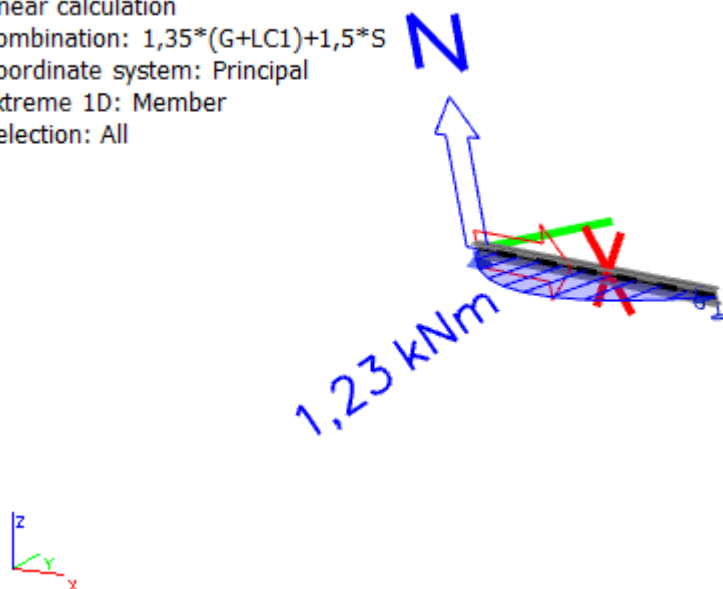
Linear calculation

Combination:  $1,35*(G+LC1)+1,5*S$

Coordinate system: Principal

Extreme 1D: Member

Selection: All



4.2.4.6. Momentni dijagram  $M_z$  za kombinaciju 1

**1D internal forces**

Values:  $V_y$

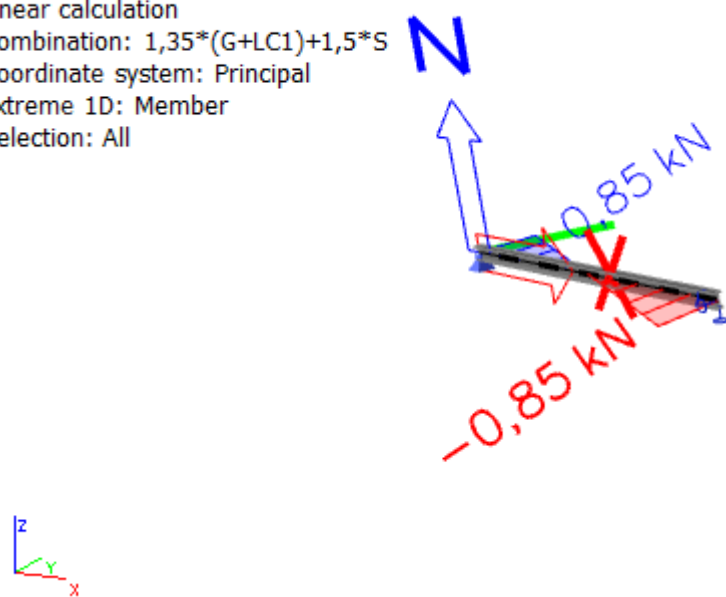
Linear calculation

Combination:  $1,35*(G+LC1)+1,5*S$

Coordinate system: Principal

Extreme 1D: Member

Selection: All



4.2.4.7. Dijagram poprečnih sila  $V_y$  za kombinaciju 1

**1D internal forces**

Values:  $V_z$

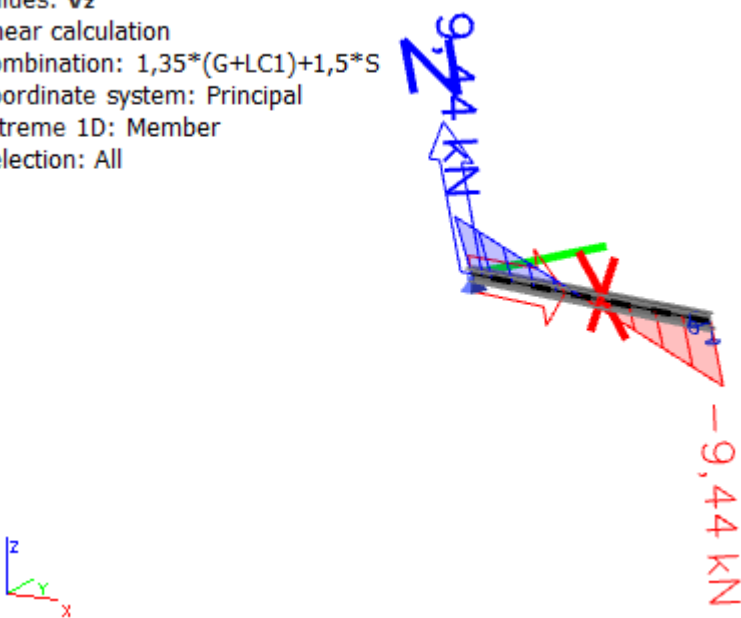
Linear calculation

Combination:  $1,35*(G+LC1)+1,5*S$

Coordinate system: Principal

Extreme 1D: Member

Selection: All



4.2.4.8. Dijagram poprečnih sila  $V_z$  za kombinaciju 1

## 2.KOMBINACIJA 1,35(G+LC1)+1,5W2

### **1D internal forces**

Values:  $M_y$

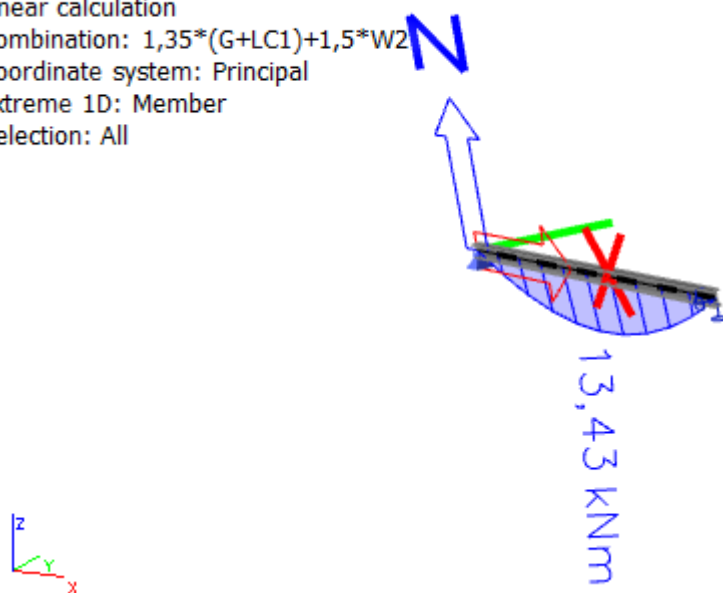
Linear calculation

Combination:  $1,35*(G+LC1)+1,5*W2$

Coordinate system: Principal

Extreme 1D: Member

Selection: All



4.2.4.9. Momentni dijagram  $M_y$  za kombinaciju 2

### **1D internal forces**

Values:  $M_z$

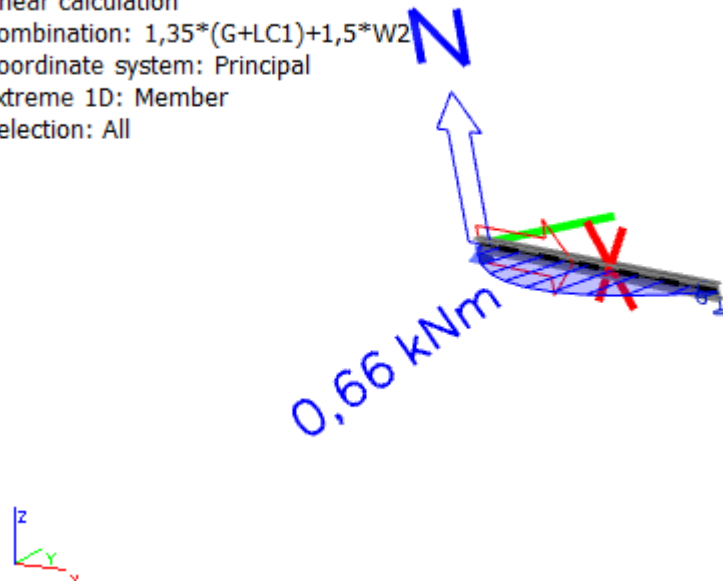
Linear calculation

Combination:  $1,35*(G+LC1)+1,5*W2$

Coordinate system: Principal

Extreme 1D: Member

Selection: All



4.2.4.10. Momentni dijagram  $M_z$  za kombinaciju 2

### 1D internal forces

Values:  $V_y$

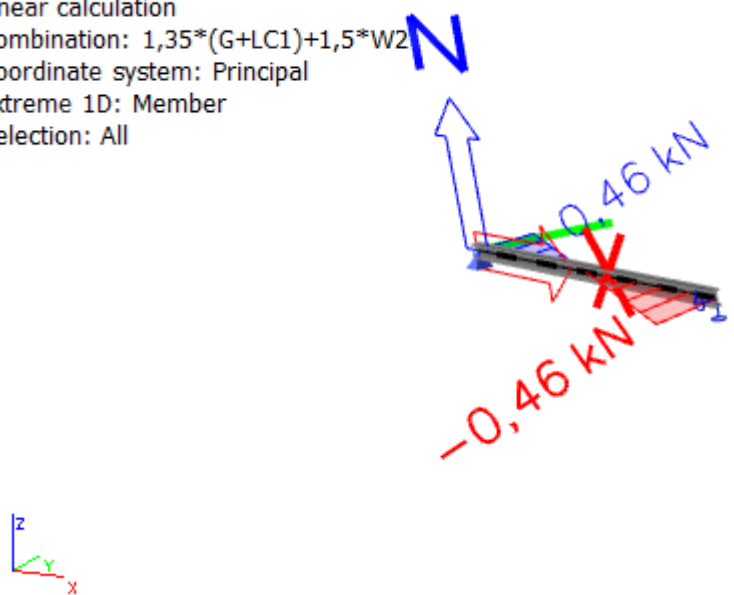
Linear calculation

Combination:  $1,35*(G+LC1)+1,5*W2$

Coordinate system: Principal

Extreme 1D: Member

Selection: All



4.2.4.11. Dijagram poprečnih sila  $V_y$  za kombinaciju 2

### 1D internal forces

Values:  $V_z$

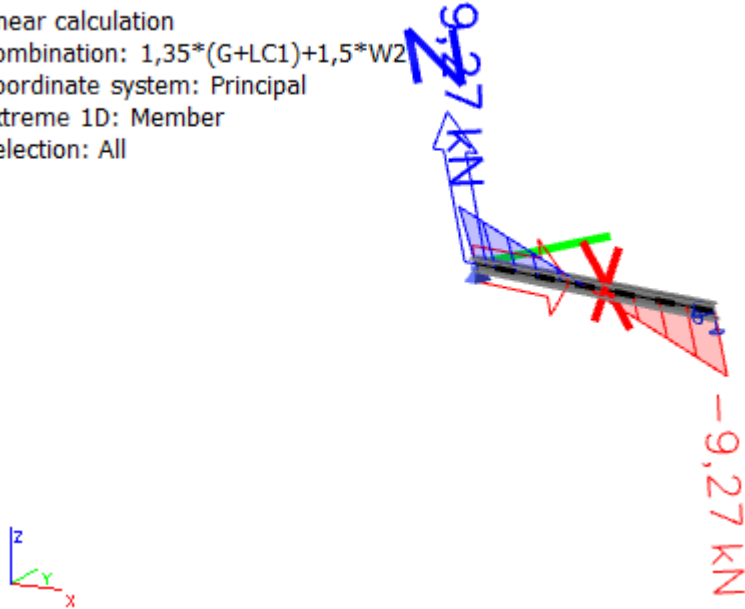
Linear calculation

Combination:  $1,35*(G+LC1)+1,5*W2$

Coordinate system: Principal

Extreme 1D: Member

Selection: All



4.2.4.12. Dijagram poprečnih sila  $V_y$  za kombinaciju 2

### 3.KOMBINACIJA 1(G+LC1)+1,5W1

#### **1D internal forces**

Values:  $M_y$

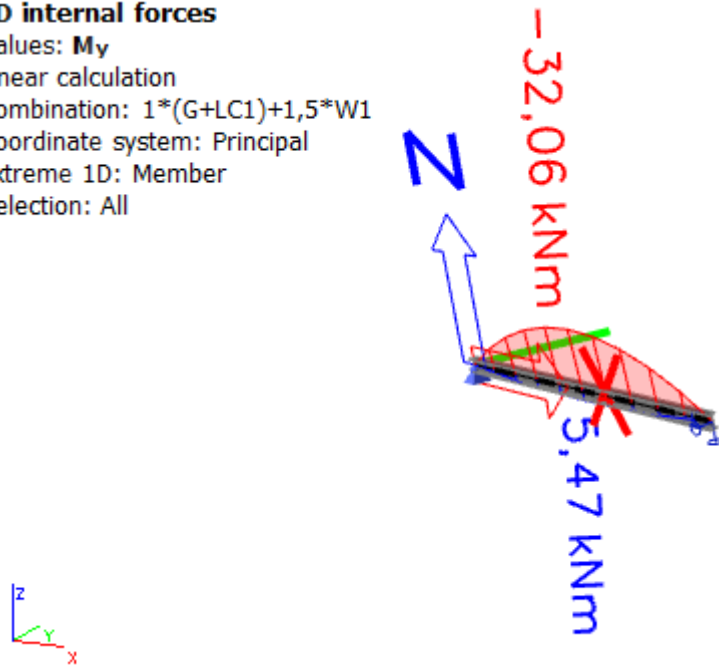
Linear calculation

Combination:  $1*(G+LC1)+1,5*W1$

Coordinate system: Principal

Extreme 1D: Member

Selection: All



4.2.4.13. Momentni dijagram  $M_y$  za kombinaciju 3

#### **1D internal forces**

Values:  $M_z$

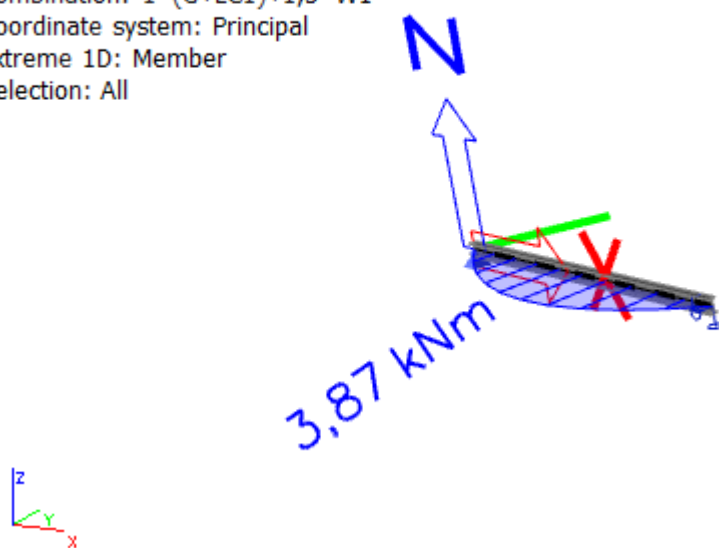
Linear calculation

Combination:  $1*(G+LC1)+1,5*W1$

Coordinate system: Principal

Extreme 1D: Member

Selection: All



4.2.4.14. Momentni dijagram  $M_z$  za kombinaciju 3

**1D internal forces**

Values:  $M_y$

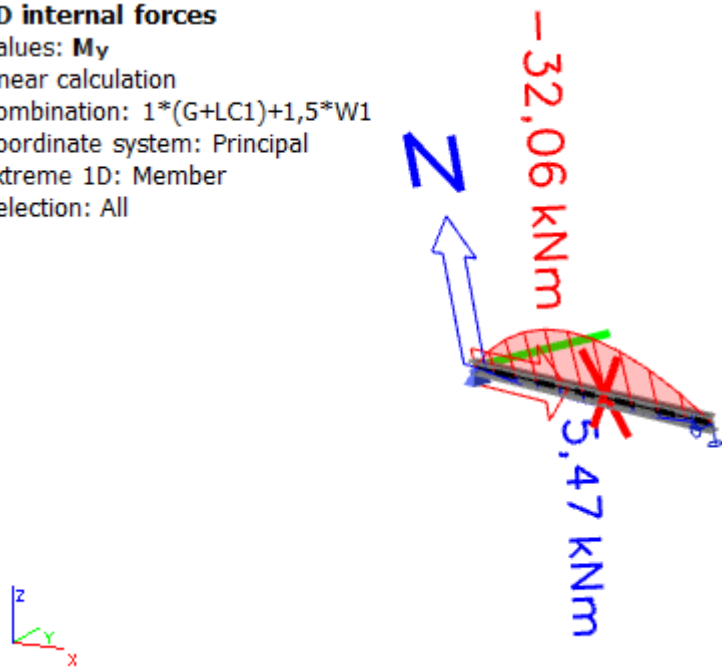
Linear calculation

Combination:  $1*(G+LC1)+1,5*W1$

Coordinate system: Principal

Extreme 1D: Member

Selection: All



4.2.4.15. Dijagram poprečnih sila  $V_y$  za kombinaciju 3

**1D internal forces**

Values:  $V_z$

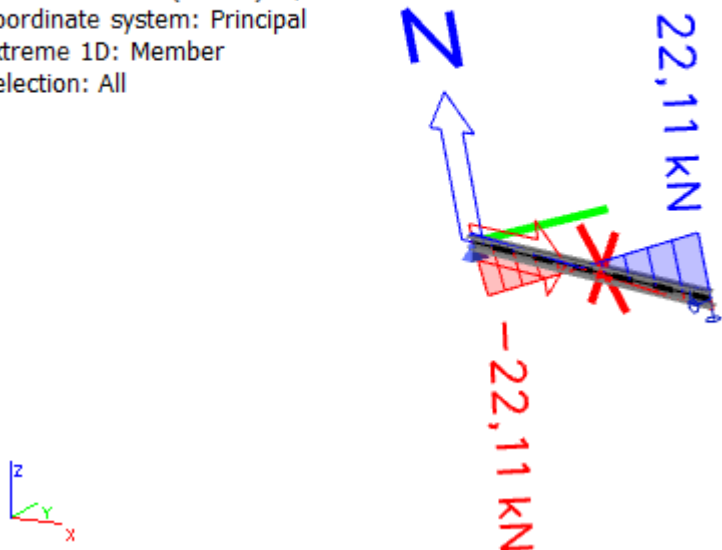
Linear calculation

Combination:  $1*(G+LC1)+1,5*W1$

Coordinate system: Principal

Extreme 1D: Member

Selection: All



4.2.4.16. Dijagram poprečnih sila  $V_z$  za kombinaciju 3

#### 4.KOMBINACIJA 1.35(G+LC1)+1.35(S+W2)

##### **1D internal forces**

Values:  $M_y$

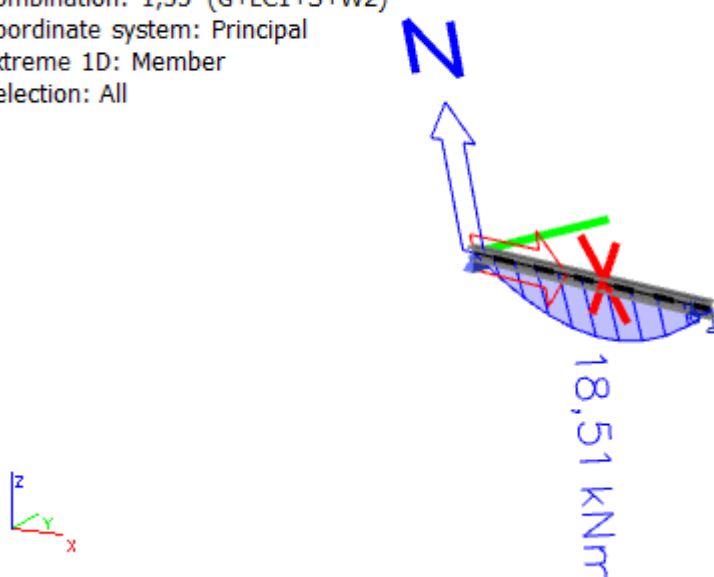
Linear calculation

Combination:  $1,35*(G+LC1+S+W2)$

Coordinate system: Principal

Extreme 1D: Member

Selection: All



4.2.4.17. Momentni dijagram  $M_y$  za kombinaciju 4

##### **1D internal forces**

Values:  $M_z$

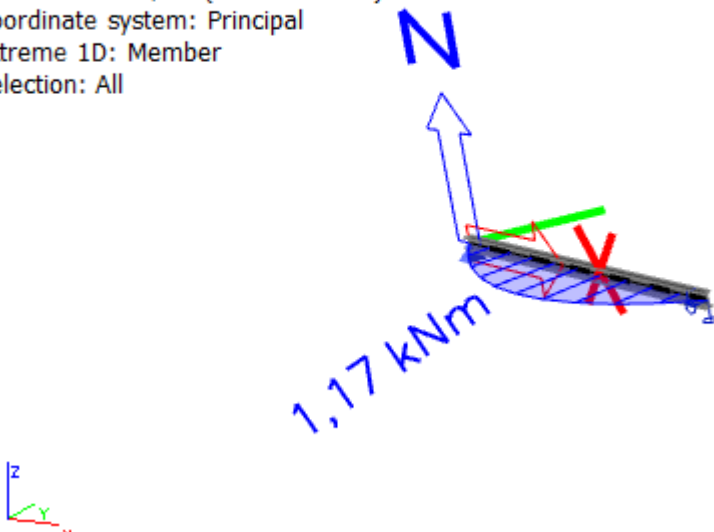
Linear calculation

Combination:  $1,35*(G+LC1+S+W2)$

Coordinate system: Principal

Extreme 1D: Member

Selection: All



4.2.4.18. Momentni dijagram  $M_{zv}$  za kombinaciju 4

**1D internal forces**

Values:  $V_y$

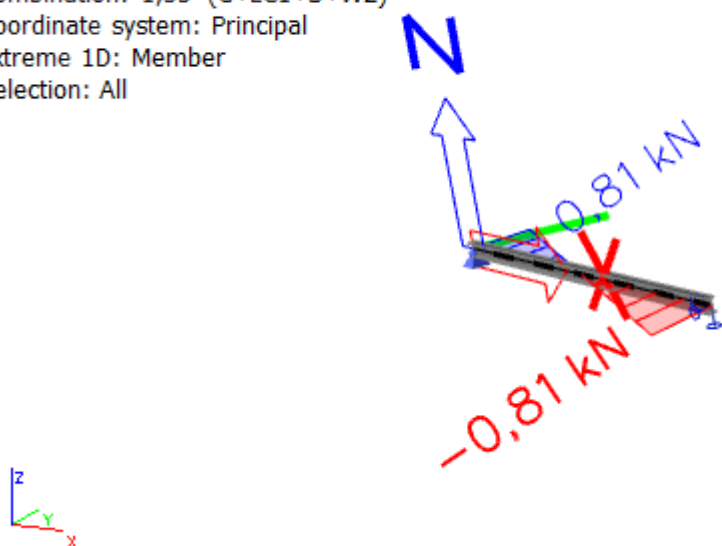
Linear calculation

Combination:  $1,35*(G+LC1+S+W2)$

Coordinate system: Principal

Extreme 1D: Member

Selection: All



4.2.4.19. Dijagram poprečnih sila  $V_y$  za kombinaciju 4

**1D internal forces**

Values:  $V_z$

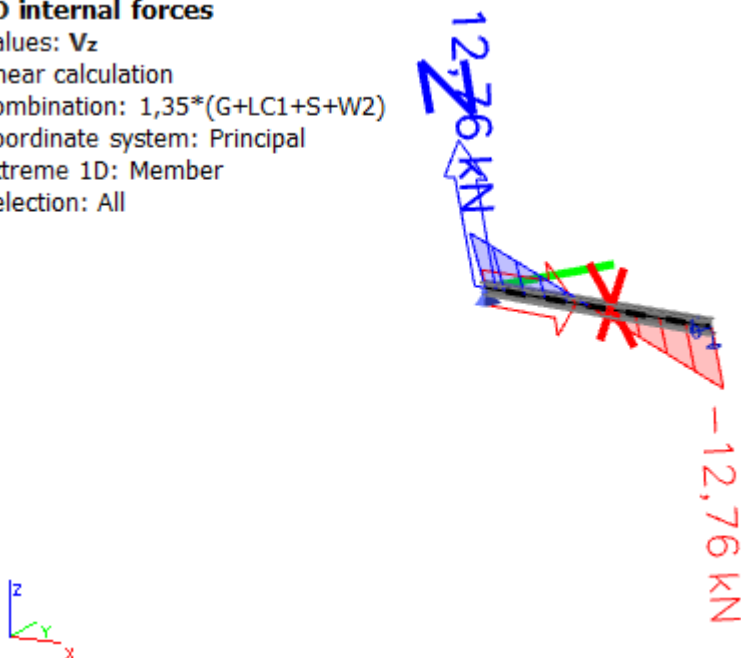
Linear calculation

Combination:  $1,35*(G+LC1+S+W2)$

Coordinate system: Principal

Extreme 1D: Member

Selection: All



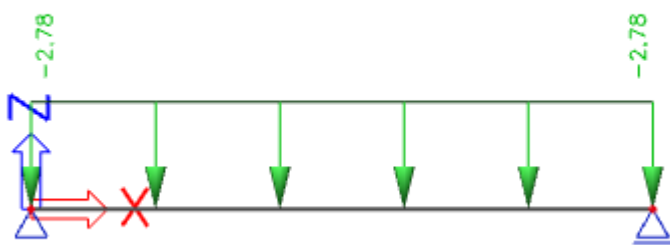
4.2.4.20. Dijagram poprečnih sila  $V_z$  za kombinaciju 4

#### 4.2.5. Bočne podrožnice

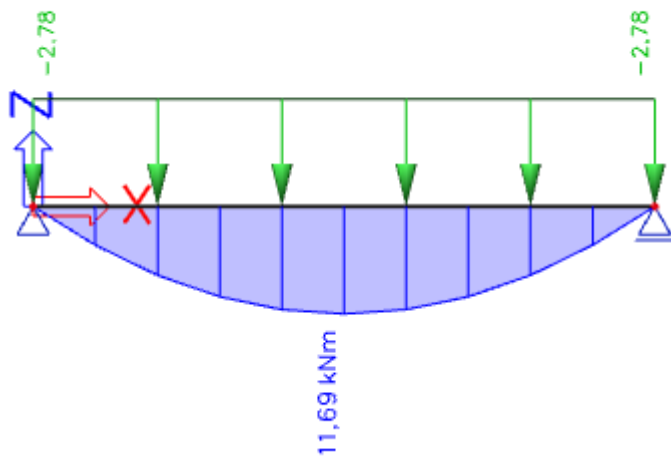
Opterećenje bočne podrožnice vjetrom je uzeto za područje D i pritisak na vertikalne zidove koji iznosi  $w_k = 1,28 \text{ kN/m}^2$ .

$$W_k = w_k \cdot n = 1,28 \text{ kN/m}^2 \cdot 2,170\text{m} = 2,78 \text{ kN/m}$$

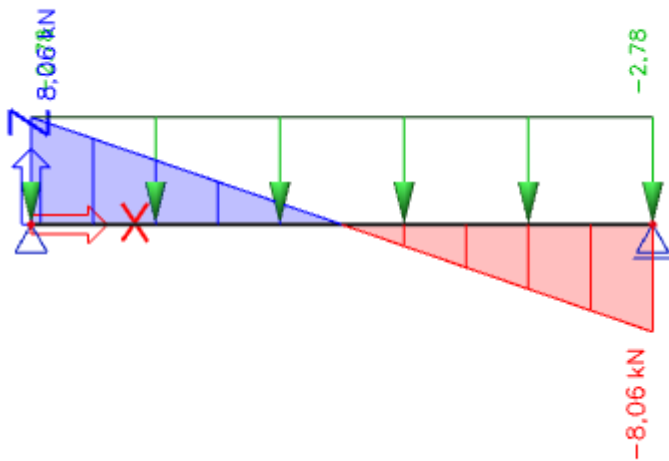
n- razmak između bočnih podrožnica



4.2.5.1. Model bočne podrožnice



4.2.5.2. Momentni dijagram bočne podrožnice



4.2.5.3. Dijagram poprečnih sila bočne podrožnice

## 5. DIMENZIONIRANJE GLAVNE KONSTRUKCIJE

### 5.1. Dimenzioniranje rešetke konstruktivnog sustava

#### 5.1.1. Gornji pojas (GP)

Gornji pojas je u svim kombinacijama izložen uzdužnoj tlačnoj sili.

#### Maksimalne rezne sile

$$N_{Ed} = -545,98 \text{ kN (tlak)}$$

#### Potrebne karakteristike poprečnog presjeka

Odabrani profil		CFRHS 160 x 160 x 5
Tip poprečnog presjeka		Valjani
Površina poprečnog presjeka A(cm <sup>2</sup> )		30,36
Moment tromosti	$I_y(\text{cm}^4)$	1202,4
	$I_z(\text{cm}^4)$	1202,4
Visina presjeka h (mm)		160
Širina pojasnice b (mm)		160
Debljina pojasnice $t_f$ (mm)		5

Materijal S355

$$f_y = 35,5 \text{ kN/cm}^2$$

$$\varepsilon = 0,81$$

$$E = 21000 \text{ kN/cm}^2$$

#### Klasifikacija poprečnog presjeka

Provjera pojasnice (pojasnica izložena tlaku).

Važan nam je odnos ravnog dijela pojasnice  $c$  i debljine pojasnice  $t_f$ .

Uvjet za klasu 2:

$$\frac{c}{t} \leq 38 \cdot \varepsilon$$

$$c = b - 3 \cdot t = 160 - 3 \cdot 5 = 145 \text{ mm}$$

$$t = 5 \text{ mm}$$

$$\frac{c}{t} = \frac{145}{5} = 29$$

$$\frac{c}{t} = 29 \leq 38 \cdot \varepsilon = 38 \cdot 0,81 = 30,78$$

Pojasnica zadovoljava uvjet za klasu 2.

**Poprečni presjek zadovoljava uvjet za klasu 2.**

### **Otpornost poprečnog presjeka izloženog tlačnoj sili**

$$N_{c,Rd} = N_{pl,Rd} = \frac{A \cdot f_y}{\gamma_{M0}} \text{ za presjeke klase 1,2,3}$$

$$N_{c,Rd} = N_{pl,Rd} = \frac{30,36 \cdot 35,5}{1,0} = 1077,78 \text{ kN}$$

$$N_{pl,Rd} = 1077,78 \text{ kN} \geq N_{Ed} = 545,98 \text{ kN}$$

**Otpornost poprečnog presjeka zadovoljava.**

### **Otpornost elementa na izvijanje**

Izvijanje se događa oko obje osi, a proračun se mora za svaku os posebno.

-izvijanje oko osi y-y:

$$L_{cr,z} = 251,0 \text{ cm}$$

$$N_{b,Rd} = \frac{\chi \cdot A \cdot f_y}{\gamma_{M1}} \text{ za presjeke klase 1,2,3}$$

$$\chi = \frac{1}{\Phi + \sqrt{\Phi^2 - \bar{\lambda}^2}} \leq 1,0$$

$$\Phi = 0,5 \cdot [1 + \alpha(\bar{\lambda} - 0,2) + \bar{\lambda}^2]$$

Elastična sila i bezdimenzijska vitkost na izvijanje savijanjem:

$$\bar{\lambda} = \sqrt{\frac{A \cdot f_y}{N_{cr}}}$$

$$N_{cr} = \frac{\pi^2 \cdot EI_z}{L_{cr}^2} = \frac{\pi^2 \cdot 21000 \cdot 1202,4}{251^2} = 3955,67 \text{ kN}$$

$$\bar{\lambda} = \sqrt{\frac{30,36 \cdot 35,5}{3955,67}} = 0,52$$

Odabir krivulje izvijanja i faktora imperfekcije  $\alpha$ :

- za hladno oblikovani šuplji pravokutni profil, krivulja izvijanja c
- za krivulju izvijanja c, faktor imperfekcije  $\alpha=0,49$

$$\Phi = 0,5 \cdot [1 + 0,49(0,52 - 0,2) + 0,52^2] = 0,71$$

$$\chi = \frac{1}{0,71 + \sqrt{0,71^2 - 0,52^2}} = 0,84 \leq 1,0$$

-izvijanje oko osi z-z:

$$L_{cr,z} = 502,0 \text{ cm}$$

$$N_{b,Rd} = \frac{\chi \cdot A \cdot f_y}{\gamma_{M1}} \text{ za presjekte klase 1,2,3}$$

$$\chi = \frac{1}{\Phi + \sqrt{\Phi^2 - \bar{\lambda}^2}} \leq 1,0$$

$$\Phi = 0,5 \cdot [1 + \alpha(\bar{\lambda} - 0,2) + \bar{\lambda}^2]$$

Elastična sila i bezdimenzijska vitkost na izvijanje savijanjem:

$$\bar{\lambda} = \sqrt{\frac{A \cdot f_y}{N_{cr}}}$$

$$N_{cr} = \frac{\pi^2 \cdot EI_z}{L_{cr}^2} = \frac{\pi^2 \cdot 21000 \cdot 1202,4}{502^2} = 988,92 \text{ kN}$$

$$\bar{\lambda} = \sqrt{\frac{30,36 \cdot 35,5}{988,92}} = 1,04$$

Odabir krivulje izvijanja i faktora imperfekcije  $\alpha$ :

- za hladno oblikovani šuplji pravokutni profil, krivulja izvijanja c
- za krivulju izvijanja c, faktor imperfekcije  $\alpha=0,49$

$$\Phi = 0,5 \cdot [1 + 0,49(1,04 - 0,2) + 1,04^2] = 1,25$$

$$\chi = \frac{1}{1,25 + \sqrt{1,25^2 - 1,04^2}} = 0,51 \leq 1,0$$

Mjerodavna je manja vrijednost za faktor redukcije  $\chi = \chi_{\min} = 0,51$ .

$$N_{b,Rd} = \frac{0,51 \cdot 30,36 \cdot 35,5}{1,0} = 549,67 \text{ kN}$$
$$N_{b,Rd} = 549,67 \geq N_{Ed} = 545,98 \text{ kN}$$

*Otpornost elementa zadovoljava.*

*Odabrani pravokutni šuplji poprečni presjek CFRHS 160 x 160 x 5, kvalitete čelika S355, zadovoljava provjeru sa iskoristivosti:*

$$\eta = \frac{N_{Ed}}{N_{b,Rd}} = \frac{545,98}{549,67} \cdot 100 = 99,33\%$$

### **5.1.2. Donji pojas (DP)**

Donji pojas je u svim kombinacijama izložen uzdužnoj vlačnoj sili.

#### Maksimalne rezne sile

$$N_{Ed} = 538,34 \text{ kN (vlak)}$$

#### Potrebne karakteristike poprečnog presjeka

Odabrani profil		CFRHS 160 x 160 x 5
Tip poprečnog presjeka		Valjani
Površina poprečnog presjeka A(cm <sup>2</sup> )		30,36
Moment tromosti	$I_y(\text{cm}^4)$	1202,4
	$I_z(\text{cm}^4)$	1202,4
Visina presjeka h (mm)		160
Širina pojasnice b (mm)		160
Debljina pojasnice $t_f$ (mm)		5

Materijal S355

$$f_y = 35,5 \text{ kN/cm}^2$$

$$\varepsilon = 0,81$$

$$E = 21000 \text{ kN/cm}^2$$

#### Klasifikacija poprečnog presjeka

Provjera pojasnice.

Važan nam je odnos ravnog dijela pojasnice c i debljine pojasnice  $t_f$ .

Uvjet za klasu 2:

$$\frac{c}{t} \leq 38 \cdot \varepsilon$$

$$c = b - 3 \cdot t = 160 - 3 \cdot 5 = 145 \text{ mm}$$

$$t = 5 \text{ mm}$$

$$\frac{c}{t} = \frac{145}{5} = 29$$

$$\frac{c}{t} = 29 \leq 38 \cdot \varepsilon = 38 \cdot 0,81 = 30,78$$

Pojasnica zadovoljava uvjet za klasu 2.

**Poprečni presjek zadovoljava uvjet za klasu 2.**

### **Otpornost poprečnog presjeka izloženog vlačnoj sili**

$$N_{t,Rd} = N_{pl,Rd} = \frac{A \cdot f_y}{\gamma_{M0}} \text{ za presjeke klase 1,2,3}$$
$$N_{t,Rd} = N_{pl,Rd} = \frac{30,36 \cdot 35,5}{1,0} = 1077,78 \text{ kN}$$
$$N_{pl,Rd} = 1077,78 \text{ kN} \geq N_{Ed} = 538,35 \text{ kN}$$

*Otpornost poprečnog presjeka zadovoljava.*

*Odarbani pravokutni šuplji poprečni presjek CFRHS 160 x 160 x 5, kvalitete čelika S355, zadovoljava provjeru sa iskoristivosti:*

$$\eta = \frac{N_{Ed}}{N_{b,Rd}} = \frac{538,35}{1077,78} \cdot 100 = 50\%$$

U donjem pojasu nam dolazi do pojave uzdužne tlačne sile iznosa 80,83 ,te moramo provjeriti otpornost poprečnog presjeka i elementa na tlačnu silu.

### **Otpornost poprečnog presjeka izloženog tlačnoj sili**

$$N_{c,Rd} = N_{pl,Rd} = \frac{A \cdot f_y}{\gamma_{M0}} \text{ za presjeke klase 1,2,3}$$
$$N_{c,Rd} = N_{pl,Rd} = \frac{30,36 \cdot 35,5}{1,0} = 1077,78 \text{ kN}$$
$$N_{pl,Rd} = 1077,78 \text{ kN} \geq N_{Ed} = 80,83 \text{ kN}$$

*Otpornost poprečnog presjeka zadovoljava.*

### **Otpornost elementa na izvijanje**

Širina objekta 25m je kritična duljina izvijanja,a da bi otpornost elementa na izvijanje bila zadovoljena moramo postaviti pridržanje na pola širine objekta.

$$L_{cr} = 1250\text{cm}$$

$$N_{b,Rd} = \frac{\chi \cdot A \cdot f_y}{\gamma_{M1}} \text{ za presjeke klase 1,2,3}$$

$$\chi = \frac{1}{\Phi + \sqrt{\Phi^2 - \bar{\lambda}^2}} \leq 1,0$$

$$\Phi = 0,5 \cdot [1 + \alpha(\bar{\lambda} - 0,2) + \bar{\lambda}^2]$$

Elastična sila i bezdimenzijska vitkost na izvijanje savijanjem:

$$\bar{\lambda} = \sqrt{\frac{A \cdot f_y}{N_{cr}}}$$

$$N_{cr} = \frac{\pi^2 \cdot EI_z}{L_{cr}^2} = \frac{\pi^2 \cdot 21000 \cdot 1202,4}{1250^2} = 159,5 \text{ kN}$$

$$\bar{\lambda} = \sqrt{\frac{30,36 \cdot 35,5}{159,5}} = 2,59$$

Odabir krivulje izvijanja i faktora imperfekcije  $\alpha$ :

- za hladno oblikovani šuplji pravokutni profil, krivulja izvijanja c
- za krivulju izvijanja c, faktor imperfekcije  $\alpha=0,49$

$$\Phi = 0,5 \cdot [1 + 0,49(2,59 - 0,2) + 2,59^2] = 4,44$$

$$\chi = \frac{1}{4,44 + \sqrt{4,44^2 - 2,59^2}} = 0,12 \leq 1,0$$

$$N_{b,Rd} = \frac{0,12 \cdot 30,36 \cdot 35,5}{1,0} = 129,33 \text{ kN}$$

$$N_{b,Rd} = 129,33 \geq N_{Ed} = 80,83 \text{ kN}$$

**Otpornost elementa zadovoljava.**

### 5.1.3. Ispuna-vertikalni štapovi (V)

#### Maksimalne rezne sile

$$N_{Ed} = -105,80 \text{ kN (tlak)}$$

#### Potrebne karakteristike poprečnog presjeka

Odabrani profil		CFRHS 40 x 40 x 4
Tip poprečnog presjeka		Valjani
Površina poprečnog presjeka A(cm <sup>2</sup> )		5,35
Moment tromosti	$I_y(cm^4)$	11,07
	$I_z(cm^4)$	11,07
Visina presjeka h (mm)		40
Širina pojasnice b (mm)		40
Debljina pojasnice $t_f$ (mm)		4,0

Materijal S355

$f_y=35,5 \text{ kN/cm}^2$

$\varepsilon=0,81$

$E=21000 \text{ kN/cm}^2$

#### Klasifikacija poprečnog presjeka

Provjera pojasnice (pojasnica izložena tlaku).

Važan nam je odnos ravnog dijela pojasnice c i debljine pojasnice  $t_f$ .

Uvjet za klasu 1:

$$\frac{c}{t} \leq 33 \cdot \varepsilon$$

$$c = b - 3 \cdot t = 40 - 3 \cdot 4 = 28 \text{ mm}$$

$$t = 4 \text{ mm}$$

$$\frac{c}{t} = \frac{28}{4} = 7$$

$$\frac{c}{t} = 7 \leq 33 \cdot \varepsilon = 33 \cdot 1,0 = 33$$

Pojasnica zadovoljava uvjet za klasu 1.

**Poprečni presjek zadovoljava uvjet za klasu 1.**

### **Otpornost poprečnog presjeka izloženog tlačnoj sili**

$$N_{c,Rd} = N_{pl,Rd} = \frac{A \cdot f_y}{\gamma_{M0}} \text{ za presjeke klase 1,2,3}$$

$$N_{c,Rd} = N_{pl,Rd} = \frac{5,35 \cdot 35,5}{1,0} = 189,93 \text{ kN}$$

$$N_{pl,Rd} = 189,93 \text{ kN} \geq N_{Ed} = 105,80 \text{ kN}$$

*Otpornost poprečnog presjeka zadovoljava.*

### **Otpornost elementa na izvijanje**

$$N_{b,Rd} = \frac{\chi \cdot A \cdot f_y}{\gamma_{M1}} \text{ za presjeke klase 1,2,3}$$

$$\chi = \frac{1}{\Phi + \sqrt{\Phi^2 - \bar{\lambda}^2}} \leq 1,0$$

$$\Phi = 0,5 \cdot [1 + \alpha(\bar{\lambda} - 0,2) + \bar{\lambda}^2]$$

Elastična sila i bezdimenzijska vitkost na izvijanje savijanjem:

$$\bar{\lambda} = \sqrt{\frac{A \cdot f_y}{N_{cr}}}$$

$$N_{cr} = \frac{\pi^2 \cdot EI}{L_{cr}^2} = \frac{\pi^2 \cdot 21000 \cdot 11,07}{102^2} = 220,53 \text{ kN}$$

$$\bar{\lambda} = \sqrt{\frac{5,35 \cdot 35,5}{220,53}} = 0,92$$

Odabir krivulje izvijanja i faktora imperfekcije  $\alpha$ :

- za hladno oblikovani šuplji pravokutni profil, krivulja izvijanja c
- za krivulju izvijanja c, faktor imperfekcije  $\alpha=0,49$

$$\Phi = 0,5 \cdot [1 + 0,49(0,92 - 0,2) + 0,92^2] = 1,1$$

$$\chi = \frac{1}{1,1 + \sqrt{1,1^2 - 0,92^2}} = 0,59 \leq 1,0$$

$$N_{b,Rd} = \frac{0,59 \cdot 5,35 \cdot 35,5}{1,0} = 112,06 \text{ kN}$$
$$N_{b,Rd} = 112,06 \geq N_{Ed} = 105,80 \text{ kN}$$

*Otpornost elementa zadovoljava.*

*Odabrani pravokutni šupljji poprečni presjek CFRHS 40 x 40 x 4, kvalitete čelika S355, zadovoljava provjeru sa iskoristivosti:*

$$\eta = \frac{N_{Ed}}{N_{b,Rd}} = \frac{105,80}{112,06} \cdot 100 = 94,4\%$$

### 5.1.4. Ispuna-dijagonalni štapovi(D)

#### Maksimalne rezne sile

$$N_{Ed} = 350,22 \text{ kN } (\nu l a k)$$

Potrebne karakteristike poprečnog presjeka

Odabrani profil	CFRHS 60 x 60 x 5
Tip poprečnog presjeka	Valjani
Površina poprečnog presjeka A(cm <sup>2</sup> )	10,36
Visina presjeka h (mm)	60
Širina pojasnice b (mm)	60
Debljina pojasnice t <sub>f</sub> (mm)	5,0

Materijal S355

f<sub>y</sub>=35,5 kN/cm<sup>2</sup>

ε=0,81

E=21000 kN/cm<sup>2</sup>

#### Klasifikacija poprečnog presjeka

Provjera pojasnice (pojasnica izložena tlaku).

Važan nam je odnos ravnog dijela pojasnice c i debljine pojasnice t<sub>f</sub>.

Uvjet za klasu 1:

$$\frac{c}{t} \leq 33 \cdot \varepsilon$$

$$c = b - 3 \cdot t = 60 - 3 \cdot 5 = 45 \text{ mm}$$

$$t = 5 \text{ mm}$$

$$\frac{c}{t} = \frac{45}{5} = 9$$

$$\frac{c}{t} = 9 \leq 33 \cdot \varepsilon = 33 \cdot 1,0 = 33$$

Pojasnica zadovoljava uvjet za klasu 1.

Poprečni presjek zadovoljava uvjet za klasu 1.

**Otpornost poprečnog presjeka izloženog vlačnoj sili**

$$N_{t,Rd} = N_{pl,Rd} = \frac{A \cdot f_y}{\gamma_{M0}} \text{ za presjeke klase 1,2,3}$$

$$N_{t,Rd} = N_{pl,Rd} = \frac{10,36 \cdot 35,5}{1,0} = 367,78 \text{ kN}$$

$$N_{pl,Rd} = 367,78 \text{ kN} \geq N_{Ed} = 350,22 \text{ kN}$$

*Otpornost poprečnog presjeka zadovoljava.*

*Odabrani pravokutni šuplji poprečni presjek CFRHS 60 x 60 x 5, kvalitete čelika S355, zadovoljava provjeru sa iskoristivosti:*

$$\eta = \frac{N_{Ed}}{N_{b,Rd}} = \frac{350,22}{367,78} \cdot 100 = 95,2\%$$

## 5.2. Dimenzioniranje stupova (S)

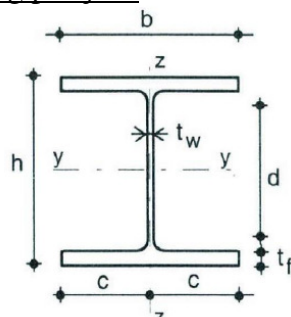
Maksimalne rezne sile:

$$M_{y,Sd} = 174,18 \text{ kNm};$$

$$N_{Sd} = -138,57 \text{ kN}$$

$$V_{z,Sd} = 50,90 \text{ kN}$$

Potrebne karakteristike poprečnog presjeka



Odabrani profil	HEA 360
Tip poprečnog presjeka	I profil
Površina poprečnog presjeka A(cm <sup>2</sup> )	143
Moment tromosti	$I_y(cm^4)$
	33100,0
Moment otpora	$I_z(cm^4)$
	7890,0
Konstanta krivljenja	$W_{pl,y}(cm^3)$
	2087,5
Torzijska konstanta	$W_{pl,z}(cm^3)$
	804,17
Konstanta krivljenja	$I_w(cm^6)$
Torzijska konstanta	$I_t(cm^4)$
Visina presjeka h (mm)	350
Širina pojasnice b (mm)	300
Debljina pojasnice t_f (mm)	18
Debljina hrpta t_w (mm)	10
Radius r (mm)	27

Materijal S355

$$f_y=35,5 \text{ kN/cm}^2$$

$$\varepsilon=0,81$$

$$E=21000 \text{ kN/cm}^2$$

### **Klasifikacija poprečnog presjeka**

Provjera hrpta (hrbat izložen tlaku i savijanju).

Uvjet za klasu 1:

$$\frac{d}{t_w} \leq \frac{396 \cdot \varepsilon}{13 \cdot \alpha - 1}$$

$$d = h - 2 \cdot t_f - 2 \cdot r = 350 - 2 \cdot 18 - 2 \cdot 27 = 260 \text{ mm}$$

$$t_w = 10 \text{ mm}$$

$$\frac{d}{t_w} = \frac{260}{10} = 26$$

$$a = \frac{N_{Ed}}{2 \cdot t_w \cdot f_y / \gamma_{M0}} = \frac{138,57}{2 \cdot 1 \cdot 35,5 / 1,0} = 1,95$$

$$\alpha = \frac{1}{d} \cdot \left( \frac{d}{2} + a \right) = \frac{1}{260} \cdot \left( \frac{260}{2} + 1,95 \right) = 0,51 > 0,5$$

$$\frac{d}{t_w} = 26 \leq \frac{396 \cdot \varepsilon}{13 \cdot \alpha - 1} = \frac{396 \cdot 0,81}{13 \cdot 0,51 - 1} = 56,97$$

Hrbat zadovoljava uvjet za klasu 1.

Provjera pojasnice (pojasnica izložena tlaku).

Uvjet za klasu 1:

$$\frac{c}{t_f} \leq 9 \cdot \varepsilon$$

$$c = \frac{b - t_w - 2 \cdot r}{2} = \frac{300 - 10 - 2 \cdot 27}{2} = 118 \text{ mm}$$

$$t_f = 18 \text{ mm}$$

$$\frac{c}{t_f} = \frac{118}{18} = 6,56$$

$$\frac{c}{t_f} = 6,56 \leq 9 \cdot \varepsilon = 9 \cdot 0,81 = 7,29$$

Pojasnica zadovoljava uvjet za klasu 1.

**Poprečni presjek zadovoljava uvjet za klasu 1.**

### **Otpornost poprečnog presjeka izloženog tlačnoj sili**

$$N_{c,Rd} = N_{pl,Rd} = \frac{A \cdot f_y}{\gamma_{M0}} \text{ za presjeke klase 1,2,3}$$

$$N_{c,Rd} = N_{pl,Rd} = \frac{143 \cdot 35,5}{1,0} = 5076,5 \text{ kN}$$

$$N_{pl,Rd} = 5076,5 \text{ kN} \geq N_{Ed} = 138,57 \text{ kN}$$

*Otpornost poprečnog presjeka zadovoljava.*

**Otpornost poprečnog presjeka izloženog savijanju**

$$M_{c,Rd} = M_{pl,Rd} = \frac{W_{pl,y} \cdot f_y}{\gamma_{M0}} \text{ za presjeke klase 1,2,3}$$

$$M_{c,Rd} = M_{pl,Rd} = \frac{2087,5 \cdot 35,5}{1,0} = 74106,25 \text{ kNm} = 741,06 \text{ kNm}$$

$$M_{pl,Rd} = 741,06 \text{ kNm} \geq M_{Ed} = 174,18 \text{ kNm}$$

**Posmična otpornost poprečnog presjeka**

$$\frac{h_w}{t_w} \leq 72 \cdot \frac{\varepsilon}{\eta}$$

$$\frac{h_w}{t_w} = \frac{h - 2 \cdot t_f}{t_w} = \frac{350 - 2 \cdot 18}{10} = 31,4$$

$$\frac{h_w}{t_w} = 31,4 \leq 72 \cdot \frac{\varepsilon}{\eta} = 72 \cdot \frac{1,0}{1,2} = 60$$

*Nije potrebna provjera izbočavanja hrpta na posmik.*

$$V_{pl,Rd} = \frac{A_{V,z} \cdot (f_y / \sqrt{3})}{\gamma_{M0}}$$

$$A_{V,z} = A - 2 \cdot b \cdot t_f + (t_w + 2 \cdot r) \cdot t_f \geq \eta \cdot h_w \cdot t_w$$

$$A_{V,z} = 143 - 2 \cdot 30 \cdot 1 + (1 + 2 \cdot 2,7) \cdot 1,8 = 94,52 \text{ cm}^2 \geq \eta \cdot h_w \cdot t_w = 1,2 \cdot 31,4 \cdot 1 \\ = 37,68 \text{ cm}^2$$

$$V_{pl,Rd} = \frac{37,68 \cdot (35,5 / \sqrt{3})}{1,0} = 772,29 \text{ kN}$$

$$V_{pl,Rd} = 772,29 \text{ kN} \geq V_{Ed} = 50,90 \text{ kN}$$

### Interakcija M-V-N

Ako je ispunjen uvjet poprečne sile:  $V_{z,Rd} < 0,5 \cdot V_{pl,z,Rd}$  tada nema reakciji otpornosti na savijanje od uzdužne sile.

$$V_{z,Rd} = 50,90 \text{ kN} < 0,5 \cdot V_{pl,z,Rd} = 0,5 \cdot 772,29 = 386,15 \text{ kN}$$

*Nema redukcije otpornosti na savijanje od poprečne sile.*

Ako su ispunjeni uvjeti (1) i (2) za uzdužnu silu, tada nema redukcije u otpornosti na savijanje od uzdužne sile.

$$(1) N_{Ed} \leq 0,25 \cdot N_{pl,Rd}$$

$$(2) N_{Ed} \leq \frac{0,5 \cdot h_w \cdot t_w \cdot f_y}{\gamma_{M0}}$$

$$(1) N_{Ed} = 138,57 \leq 0,25 \cdot 5076,5 \text{ kN} = 1269,13 \text{ kN}$$

$$(2) N_{Ed} = 138,57 \leq \frac{0,5 \cdot h_w \cdot t_w \cdot f_y}{\gamma_{M0}} = \frac{0,5 \cdot 31,4 \cdot 1 \cdot 35,5}{1,0} = 557,35 \text{ kN}$$

*Nema redukcije otpornosti na savijanje od uzdužne sile.*

*Profil HEA 360 zadovoljava provjere otpornosti na razini poprečnog presjeka.*

### Otpornost elementa izloženog savijanju i uzdužnoj sili Uzdužna tlačna otpornost (N)

$$L_{cr,y} = 2L = 1300 \text{ cm}$$

$$N_{cr,y} = \frac{\pi^2 \cdot E \cdot I_y}{L_{cr,y}^2} = \frac{\pi^2 \cdot 21000 \cdot 33100}{1300^2} = 4059,39 \text{ kN}$$

$$\bar{\lambda}_y = \sqrt{\frac{A \cdot f_y}{N_{cr,y}}} = \sqrt{\frac{143 \cdot 35,5}{4059,39}} = 1,12$$

$$\frac{h}{b} = \frac{350}{300} = 1,17 < 1,2 \quad t_f = 18 \text{ mm} < 100 \text{ mm}$$

–za os y – y krivulja izvijanja  $b \rightarrow \alpha = 0,34$

$$\Phi_y = 0,5 \cdot [1 + \alpha \cdot (\bar{\lambda}_y - 0,2) + \bar{\lambda}_y^2] = 0,5 \cdot [1 + 0,34 \cdot (1,12 - 0,2) + 1,12^2] = 1,28$$

$$\chi_y = \frac{1}{\phi_y + \sqrt{\phi_y^2 - \lambda_y^2}} = \frac{1}{1,28 + \sqrt{1,28^2 - 1,12^2}} = 0,53$$

$$N_{b,Rd} = \frac{\chi \cdot A \cdot f_y}{\gamma_{M1}}$$

$$N_{b,Rd} = \frac{0,53 \cdot 143 \cdot 35,5}{1,0} = 2690,55 kN > N_{Ed} = 138,57 kN$$

**Otpornost elementa zadovoljava.**

### **Otpornost elementa na savijanje (M)**

Elastični kritični moment bočnog torzijskog izvijanja:

$$M_{cr} = C_1 \cdot \frac{\pi^2 \cdot E \cdot I_z}{(k \cdot L)^2} \cdot \left[ \sqrt{\left(\frac{k}{k_w}\right)^2 \cdot \frac{I_w}{I_z} + \frac{(k \cdot L)^2 \cdot G \cdot I_t}{\pi^2 \cdot E \cdot I_z} + (C_2 \cdot z_g)^2} - C_2 \cdot z_g \right]$$

$$z_g = \frac{h}{2} = \frac{350}{2} = 17,5 cm \quad G = \frac{E}{2 \cdot (1 + \nu)} = \frac{21000}{2 \cdot (1 + 0,3)} = 8077 kN/cm^2$$

L- razmak točaka bočnog pridržanja: L=217,1cm

-na osnovu oblika momentnog dijagrama i načina pridržanja stupa imamo sljedeće koeficijente:

$$k = 1,0 \quad k_w = 1,0 \quad C_1 = 1,77 \quad C_2 = 0$$

$$M_{cr} = 1,77 \cdot \frac{\pi^2 \cdot 21000 \cdot 7890}{217,1^2} \cdot \sqrt{\left(1^2 \cdot \frac{2176600}{7890} + \frac{217,1^2 \cdot 8077 \cdot 149}{\pi^2 \cdot 21000 \cdot 7890}\right)} = 10822,28 \text{ kNm}$$

$$\bar{\lambda}_{LT} = \sqrt{\frac{W_y \cdot f_y}{M_{cr}}}$$

$$\bar{\lambda}_{LT} = \sqrt{\frac{2087,5 \cdot 35,5}{10822,28}} = 0,262 < \bar{\lambda}_{LT,0} = 0,4$$

$$M_{b,Rd} = \frac{W_y \cdot f_y}{\gamma_{M1}} = \frac{2087,5 \cdot 35,5}{1,0} = 741,06 \text{ kNm} > 174,18 \rightarrow \text{zadovoljava!}$$

**Otpornost elementa na interakciju M-N (jednoosno savijanje)**

Interakcijski faktori  $k_{yy}$  i  $k_{zy}$  (klasa I i II):

$$k_{yy} = C_{my} \cdot \left[ 1 + (\bar{\lambda}_y - 0.2) \cdot \frac{N_{Ed}}{\chi_y \cdot \frac{N_{Rk}}{\gamma_{M1}}} \right] \leq C_{my} \cdot \left[ 1 + 0.8 \cdot \frac{N_{Ed}}{\chi_y \cdot \frac{N_{Rk}}{\gamma_{M1}}} \right]$$

$$k_{zy} = \left[ 1 - \frac{0,1 \cdot \lambda_z}{C_{mLT} - 0,25} \cdot \frac{N_{Ed}}{\chi_z \cdot N_{Rk}/\gamma_{M1}} \right] \geq \left[ 1 - \frac{0,1}{C_{mLT} - 0,25} \cdot \frac{N_{Ed}}{\chi_z \cdot N_{Rk}/\gamma_{M1}} \right]$$

Određivanje  $C_{my}$ ,  $C_{mLT}$ :

$$C_{my} = 0.6 + 0.4 \cdot \psi = 0,6 > 0,4$$

$$C_{mLT} = 0.6 + 0.4 \cdot \psi = 0,6 > 0,4$$

$$k_{yy} = 0.6 \cdot \left[ 1 + (0,27 - 0.2) \cdot \frac{138,57}{0,53 \cdot 5076,5} \right] \leq 0.6 \cdot \left[ 1 + 0.8 \cdot \frac{138,57}{0,53 \cdot 5076,5} \right]$$

$$k_{yy} = 0.60 \leq 0.62 \rightarrow k_{yy} = 0.60$$

$$k_{zy} = \left[ 1 - \frac{0,1 \cdot 0,4}{0,6 - 0,25} \cdot \frac{138,57}{0,86 \cdot 34695,76/1,0} \right] \geq \left[ 1 - \frac{0,1}{0,6 - 0,25} \cdot \frac{138,57}{0,86 \cdot 34695,76/1,0} \right]$$

$$k_{zy} = 0.999 \leq 0.999 \rightarrow k_{zy} = 0.999$$

$$\frac{N_{Ed}}{\chi_y \cdot \frac{N_{Rk}}{\gamma_{M1}}} + k_{yy} \cdot \frac{M_{y,Ed}}{\chi_{LT} \cdot \frac{M_{y,Rk}}{\gamma_{M1}}} \leq 1.0$$

$$\frac{N_{Ed}}{\chi_z \cdot \frac{N_{Rk}}{\gamma_{M1}}} + k_{zy} \cdot \frac{M_{y,Ed}}{\chi_{LT} \cdot \frac{M_{y,Rk}}{\gamma_{M1}}} \leq 1.0$$

$$\frac{138,57}{0,53 \cdot \frac{5076,5}{1}} + 0,60 \cdot \frac{174,18}{1 \cdot \frac{741,06}{1}} = 0,20 \leq 1.0 \rightarrow \text{zadovoljava!}$$

$$\frac{138,57}{0,86 \cdot \frac{5076,5}{1}} + 0,999 \cdot \frac{174,18}{1 \cdot \frac{741,06}{1}} = 0,27 \leq 1.0 \rightarrow \text{zadovoljava!}$$

**Profil HEA 360 zadovoljava provjere otpornosti na razini elementa, s iskoristivosti:**

$$\eta = 27\%$$

### 5.3. Sekundarne konstrukcije

#### 5.3.1. Zabatni stupovi

	Odabrani profil	HEA 220
	Tip poprečnog presjeka	I profil
	Površina poprečnog presjeka A(cm <sup>2</sup> )	64,3
Moment tromosti	$I_y(cm^4)$	5410
	$I_z(cm^4)$	1960
Moment otpora	$W_{pl,y}(cm^3)$	566,67
	$W_{pl,z}(cm^3)$	270,42
Konstanta krivljenja	$I_w(cm^6)$	193270
Torzijska konstanta	$I_t(cm^4)$	28,5
Visina presjeka h (mm)		210
Širina pojasnice b (mm)		220
Debljina pojasnice $t_f$ (mm)		11
Debljina hrpta $t_w$ (mm)		7
Radijus r (mm)		18

$$M_{ed} = 79,04 \text{ kNm}$$

$$V = 39,07 \text{ kN}$$

#### Klasifikacija poprečnog presjeka

##### Hrbat

$$\frac{d}{t_w} = \frac{h - 2 * t_f - 2 * r}{t_w} = \frac{210 - 22 - 36}{7} = 21,71$$

$$21,71 < 72\epsilon = 21,71 < 58,32$$

Hrbat je klase 1.

##### Pojasnica

$$c = \frac{b - t_w - 2 * r}{2} = \frac{220 - 7 - 36}{2} = 88,5$$

$$\frac{c}{t_f} = \frac{88,5}{11} < 10\epsilon = 8,05 < 8,1$$

Pojasnica je klase 2.

**Poprečni presjek je klase 2.**

### **Otpornost poprečnog presjeka**

$$M_{c,Rd} = M_{Pl,Rd} = \frac{W_{pl} * f_y}{\gamma_{M,0}} = \frac{566,67 * 35,5}{1} = 20116,79 \text{ kNm} = 201,17 \text{ kNm}$$

$$M_{c,Rd} = 201,17 > M_{Ed} = 79,04$$

### **Posmična otpornost poprečnog presjeka**

$$\frac{h_w}{t_w} = \frac{h - 2 * t_f}{t_w} = \frac{210 - 22}{7} = 26,86$$

$$26,86 < 72 * \frac{\epsilon}{\eta} = 29,11 < 48,6$$

Nije potrebna provjera izbočavanja hrpta na posmik.

$$V_{pl,Rd} = \frac{A_V \cdot \left(\frac{f_y}{\sqrt{3}}\right)}{\gamma_{M,0}}$$

$$A_{v,z} = A - 2 \cdot b \cdot t_f + (t_w + 2 \cdot r) \cdot t_f \geq \eta \cdot h_w \cdot t_w$$

$$A_{v,z} = 64,3 - 2 \cdot 22 \cdot 1,1 + (0,7 + 2 \cdot 1,8) \cdot 1,1 = 20,63 \text{ cm}^2 \geq 1,2 \cdot 18,8 \cdot 0,7 \\ = 15,79 \text{ cm}^2$$

$$V_{pl,Rd} = \frac{20,63 \cdot \left(\frac{35,5}{\sqrt{3}}\right)}{1}$$

$$V_{pl,Rd} = 422,83 \text{ kN}$$

$$V_{pl,Rd} = 422,83 \geq V_{Ed} = 39,07 \text{ kN}$$

### Interakcija M-V

$$0,5 * V_{pl,z,Rd} = 0,5 * 422,83 = 211,42 kN$$

$$V_{z,Ed} = 23,19 < 0,5 * V_{pl,z,Rd} = 211,42 kN$$

$$M_{y,V,Rd} = M_{y.c.Rd} = 422,83 kNm$$

$$\frac{M_{y,Ed}}{M_{y,V,Rd}} < 1 = \frac{63,5}{422,83} = 0,15 < 1$$

### Otpornost elementa na savijanje

$$M_{cr} = C_1 \cdot \frac{\pi^2 \cdot E \cdot I_z}{(k \cdot L)^2} \cdot \left[ \sqrt{\left(\frac{k}{k_w}\right)^2 \cdot \frac{I_w}{I_z} + \frac{(k \cdot L)^2 \cdot G \cdot I_t}{\pi^2 \cdot E \cdot I_z} + (C_2 \cdot z_g)^2} - C_2 \cdot z_g \right] \\ = 120,45 \text{ kNm}$$

$$z_g = \frac{h}{2} = \frac{21}{2} = 10,5 \text{ cm}$$

$$G = \frac{E}{2(1+v)} = \frac{21000}{2(1+0,3)} = 8077 \text{ kN/cm}^2$$

$$k = 1,0 \quad C_1 = 1,127$$

$$k_w = 1,0 \quad C_2 = 0,454$$

$$L = 818 \text{ cm}$$

$$\bar{\lambda}_y = \sqrt{\frac{W_y \cdot f_y}{M_{cr}}} = \sqrt{\frac{566,67 \cdot 35,5}{12045}} = 1,29 > 0,4$$

$$\chi_y = \frac{1}{\phi_y + \sqrt{\phi_y^2 - \bar{\lambda}_y^2}} = \frac{1}{1,45 + \sqrt{1,45^2 - 1,29^2}} = 0,47 < 1$$

$$\Phi_y = 0,5 \cdot [1 + \alpha \cdot (\bar{\lambda}_y - 0,2) + \bar{\lambda}_y^2] = 0,5 \cdot [1 + 0,21 \cdot (1,29 - 0,2) + 1,29^2] = 1,45$$

Za krivulju izvijanja a  $\rightarrow \alpha = 0,21$

$$M_{b,Rd} = \chi_y * \frac{W_y * f_y}{\gamma_{M,1}}$$

$$M_{b,Rd} = 0,47 * \frac{566,67 * 35,5}{1} = 9454,89 \text{ kNm} = 94,55 \text{ kNm}$$

$$M_{b,Rd} = 94,55 > M_{y,Ed} = 79,04$$

$$\eta = \frac{79,04}{94,55} = 0,83596 = 83,6 \%$$

**Odabrani profil zadovoljava provjeru s iskoristivosti od 83,6%**

### 5.3.2. Krovni(horizontalni) spreg

Maksimalna vlačna sila:  $N = 29,54 \text{ kN}$

$$A = 1,13 \text{ cm}^2$$

$$N_{Rd} = \frac{A * f_y}{\gamma_{M,0}} = \frac{1,13 * 35,5}{1} = 40,12 \text{ kN} > N_{Ed} = 29,54 \text{ kN}$$

Za spregove je odabran profil RD 12, kvalitete čelika S355.

**Odabrani puni kružni presjek zadovoljava provjeru iskoristivosti:**

$$\eta = \frac{29,54}{40,12} = 0,7363 = 73,63 \%$$

### 5.3.3. Bočni spreg

Maksimalna vlačna sila:  $N = 48,75 \text{ kN}$

$$A = 2,01 \text{ cm}^2$$

$$N_{Rd} = \frac{A * f_y}{\gamma_{M,0}} = \frac{2,01 * 35,5}{1} = 71,36 \text{ kN} > N_{Ed} = 48,75 \text{ kN}$$

Za spregove je odabran profil RD 16, kvalitete čelika S355.

**Odabrani puni kružni presjek zadovoljava provjeru iskoristivosti:**

$$\eta = \frac{48,75}{71,36} = 0,6832 = 68,32 \%$$

### 5.3.4. Krovna podrožnica

	Odarbani profil	IPE 240
	Tip poprečnog presjeka	I profil
	Površina poprečnog presjeka A(cm <sup>2</sup> )	39,1
Moment tromosti	$I_y(cm^4)$	3892
	$I_z(cm^4)$	284
Moment otpora	$W_{pl,y}(cm^3)$	367
	$W_{pl,z}(cm^3)$	73,9
Konstanta krivljenja	$I_w(cm^6)$	37400
Torzijska konstanta	$I_t(cm^4)$	12,9
Visina presjeka h (mm)		240
Širina pojasnice b (mm)		120
Debljina pojasnice $t_f$ (mm)		10
Debljina hrpta $t_w$ (mm)		6
Radijus r (mm)		15

$$M_{y,Ed} = 32,06 kNm$$

$$M_{z,Ed} = 3,87 kNm$$

$$V_{y,Ed} = 2,67 kN$$

$$V_{z,Ed} = 22,11 kN$$

### Klasifikacija poprečnog presjeka

#### Hrbat

$$\frac{d}{t_w} = \frac{h - 2 * t_f - 2 * r}{t_w} = \frac{240 - 20 - 30}{6} = 31,67$$

$$31,67 < 72 \quad \epsilon = 31,67 < 58,32$$

Hrbat je klase 1.

### Pojasnica

$$c = \frac{b - t_w - 2 * r}{2} = \frac{120 - 6 - 30}{2} = 42$$

$$\frac{c}{t_f} = \frac{42}{10} < 9\epsilon = 4,2 < 7,29$$

Pojasnica je klase 1.

**Poprečni presjek je klase 1.**

### Otpornost poprečnog presjeka

#### Savijanje oko osi y-y

$$M_{c,Rd} = M_{Pl,y,Rd} = \frac{W_{pl,y} * f_y}{\gamma_{M,0}} = \frac{367 * 35,5}{1} = 13028,5 \text{ kNm} = 130,285 \text{ kNm}$$

$$M_{c,y,Rd} = 130,285 > M_{Ed} = 32,06$$

#### Savijanje oko osi z-z

$$M_{c,Rd} = M_{Pl,z,Rd} = \frac{W_{pl,z} * f_y}{\gamma_{M,0}} = \frac{73,9 * 35,5}{1} = 2623,45 \text{ kNm} = 26,23 \text{ kNm}$$

$$M_{c,z,Rd} = 26,23 > M_{Ed} = 3,87$$

### Posmična otpornost poprečnog presjeka

#### U smjeru osi z-z

$$\frac{h_w}{t_w} = \frac{h - 2 * t_f}{t_w} = \frac{240 - 20}{6} = 36,67$$

$$36,67 < 72 * \frac{\epsilon}{\eta} = 36,67 < 48,6$$

Nije potrebna provjera izbočavanja hrpta na posmik.

$$V_{pl,z,Rd} = \frac{A_{v,z} \cdot \left(\frac{f_y}{\sqrt{3}}\right)}{\gamma_{M,0}}$$

$$A_{v,z} = A - 2 \cdot b \cdot t_f + (t_w + 2 \cdot r) \cdot t_f \geq \eta \cdot h_w \cdot t_w$$

$$\begin{aligned} A_{v,z} &= 39,1 - 2 \cdot 12 \cdot 1,0 + (0,6 + 2 \cdot 1,5) \cdot 1,0 = 18,7 \text{ cm}^2 \geq 1,2 \cdot 22,0 \cdot 0,6 \\ &= 15,84 \text{ cm}^2 \end{aligned}$$

$$V_{pl,z,Rd} = \frac{18,7 \cdot \left(\frac{35,5}{\sqrt{3}}\right)}{1}$$

$$V_{pl,z,Rd} = 383,27 \text{ kN}$$

$$V_{pl,z,Rd} = 383,27 \geq V_{Ed} = 22,11 \text{ kN}$$

### U smjeru osi y-y

$$V_{pl,y,Rd} = \frac{A_{v,y} \cdot \left(\frac{f_y}{\sqrt{3}}\right)}{\gamma_{M,0}}$$

$$A_{v,y} = A - \sum h_w * t_w$$

$$A_{v,y} = 39,1 - \sum 22 * 0,6 = 25,9 \text{ cm}^2$$

$$V_{pl,y,Rd} = \frac{25,9 \cdot \left(\frac{35,5}{\sqrt{3}}\right)}{1} = 530,84 \text{ kN} > V_{y,Ed} = 2,67 \text{ kN}$$

### Interakcija M-V

Presjek u x=5,8/4=1,45 m

### Savijanje u smjeru osi y-y

$$M_{y,Ed} = 23,73 \text{ kNm}$$

$$V_{z,Ed} = 11,06 \text{ kN}$$

$$0,5 * V_{pl,z,Rd} = 0,5 * 383,27 = 191,64 \text{ kN}$$

$$V_{z,Ed} = 11,06 < 0,5 * V_{pl,z,Rd} = 191,64 kN$$

→ nema redukcije otpornosti na savijanje od poprečne sile

Savijanje u smjeru osi z-z

$$M_{z,Ed} = 2,87 \text{ kNm}$$

$$V_{y,Ed} = 1,34 \text{ kN}$$

$$0,5 * V_{pl,y,Rd} = 0,5 * 530,84 = 265,42 kN$$

$$V_{y,Ed} = 1,34 < 0,5 * V_{pl,z,Rd} = 265,42 kN$$

→ nema redukcije otpornosti na savijanje od poprečne sile

$$\left(\frac{M_{y,Ed}}{M_{N,y,Rd}}\right)^\alpha + \left(\frac{M_z}{M_{N,z,Rd}}\right)^\beta \leq 1,0$$

$\alpha = 2; \beta = 1$  (za I i H profile)

$$\left(\frac{32,06}{130,285}\right)^2 + \left(\frac{3,87}{26,23}\right)^1 \leq 1,0 = 0,21 < 1$$

**Profil IPE 240 zadovoljava provjere otpornosti na razini poprečnog presjeka.**

Otpornost elementa na savijanje

$$M_{cr} = C_1 \cdot \frac{\pi^2 \cdot E \cdot I_z}{(k \cdot L)^2} \cdot \left[ \sqrt{\left(\frac{k}{k_w}\right)^2 \cdot \frac{I_w}{I_z} + \frac{(k \cdot L)^2 \cdot G \cdot I_t}{\pi^2 \cdot E \cdot I_z}} + (C_2 \cdot z_g)^2 - C_2 \cdot z_g \right] = 43,51 kNm$$

$$z_g = \frac{h}{2} = \frac{24}{2} = 12 \text{ cm}$$

$$G = \frac{E}{2(1+\nu)} = \frac{21000}{2(1+0,3)} = 8077 \text{ kN/cm}^2$$

$$k = 1,0 \quad C_1 = 1,127$$

$$k_w = 1,0 \quad C_2 = 0,454$$

$$L = 580 \text{ cm}$$

$$\bar{\lambda}_{LT} = \sqrt{\frac{W_y \cdot f_y}{M_{cr}}} = \sqrt{\frac{367 \cdot 35,5}{4351}} = 1,73 > 0,4$$

$$\chi_{LT} = \frac{1}{\phi_{LT} + \sqrt{\phi_{LT}^2 - \bar{\lambda}_{LT}^2}} = \frac{1}{2,16 + \sqrt{2,16^2 - 1,73^2}} = 0,29 < 1$$

$$\Phi_{LT} = 0,5 \cdot [1 + \alpha_{LT} \cdot (\bar{\lambda}_{LT} - 0,2) + \bar{\lambda}_{LT}^2] = 0,5 \cdot [1 + 0,21 \cdot (1,73 - 0,2) + 1,73^2] = 2,16$$

Za krivulju izvijanja a  $\rightarrow \alpha = 0,21$

$$M_{b,Rd} = \chi_{LT} * \frac{W_y * f_y}{\gamma_{M,1}}$$

$$M_{b,Rd} = 0,29 * \frac{367 * 35,5}{1} = 3778,265 \text{ kNm} = 37,78 \text{ kNm}$$

$$M_{b,Rd} = 37,78 > M_{y,Ed} = 32,06$$

$$\eta = \frac{32,06}{37,78} = 0,8486 = 84,86 \%$$

### Interakcija My i Mz

$$\frac{N_{Ed}}{\chi_y * N_{Rk}/\gamma_{M,1}} + k_{yy} * \frac{M_{y,Ed}}{\chi_{LT} * M_{y,Rk}/\gamma_{M,1}} + k_{yz} * \frac{M_{z,Ed}}{M_{z,Rk}/\gamma_{M,1}} \leq 1,0$$

$$\frac{N_{Ed}}{\chi_z * N_{Rk}/\gamma_{M,1}} + k_{zy} * \frac{M_{y,Ed}}{\chi_{LT} * M_{y,Rk}/\gamma_{M,1}} + k_{zz} * \frac{M_{z,Ed}}{M_{z,Rk}/\gamma_{M,1}} \leq 1,0$$

$$k_{yy} = C_{my} \cdot \left[ 1 + (\bar{\lambda}_y - 0,2) \cdot \frac{N_{Ed}}{\chi_y \cdot N_{Rk}/\gamma_{M,1}} \right] \leq C_{my} \cdot \left[ 1 + 0,8 \cdot \frac{N_{Ed}}{\chi_y \cdot N_{Rk}/\gamma_{M,1}} \right]$$

$$k_{yz} = 0,6 * k_{zz}$$

$$L_{cr,z} = 580 \text{ cm}$$

$$N_{cr,z} = \frac{\pi^2 * E * I_z}{L_{cr,z}^2} = \frac{\pi^2 * 21000 * 284}{580^2} = 174,98 \text{ kN}$$

$$\bar{\lambda}_z = \sqrt{\frac{A * f_y}{N_{cr,z}}} = \sqrt{\frac{39,1 * 35,5}{174,98}} = 2,82 > 0,4$$

$$k_{zy} = \left[ 1 - \frac{0,1 \cdot \bar{\lambda}_z}{C_{mLT} - 0,25} \cdot \frac{N_{Ed}}{\chi_z \cdot N_{Rk}/\gamma_{M1}} \right] \geq \left[ 1 - \frac{0,1}{C_{mLT} - 0,25} \cdot \frac{N_{Ed}}{\chi_z \cdot N_{Rk}/\gamma_{M1}} \right]$$

$$k_{zz} = C_{mz} * \left[ 1 + (2 * \bar{\lambda}_z - 0,6) \cdot \frac{N_{Ed}}{\chi_z * N_{Rk}/\gamma_{M1}} \right] \leq \left[ 1 + 1,4 \cdot \frac{N_{Ed}}{\chi_z \cdot N_{Rk}/\gamma_{M1}} \right]$$

$$\alpha_h = \frac{M_h}{M_s} = 0 \rightarrow C_{my} = 0,95 + 0,05 * \alpha_h = 0,95$$

$$\psi = 0 \rightarrow C_{mz} = 0,95 + 0,05 * \alpha_h = 0,95$$

$$C_{mLT} = 0,95 + 0,05 * \alpha_h = 0,95$$

$$k_{yy} = 0,95$$

$$k_{zz} = 0,95$$

$$k_{yz} = 0,57$$

$$k_{zy} = 1$$

$$0 + 0,95 * \frac{32,06}{0,29 * 130,285} + 0,57 * \frac{3,87}{26,23} = 0,89 \leq 1,0$$

$$0 + 1 * \frac{32,06}{0,29 * 130,285} + 0,95 * \frac{3,87}{26,23} = 0,99 \leq 1,0$$

**Profil IPE 240 zadovoljava provjere otpornosti na razini elementa s iskoristivosti 99%.**

### 5.3.5. Bočna podrožnica

Odabrani profil		IPE 180
Tip poprečnog presjeka		I profil
Površina poprečnog presjeka A(cm <sup>2</sup> )		23,9
Moment tromosti	$I_y(cm^4)$	1317
	$I_z(cm^4)$	101
Moment otpora	$W_{pl,y}(cm^3)$	166
	$W_{pl,z}(cm^3)$	34,6
Konstanta krivljenja	$I_w(cm^6)$	7430
Torzijska konstanta	$I_t(cm^4)$	4,79
Visina presjeka h (mm)		180
Širina pojasnice b (mm)		91
Debljina pojasnice $t_f$ (mm)		8
Debljina hrpta $t_w$ (mm)		5
Radijus r (mm)		9

$$M_{y,Ed} = 11,69 \text{ kNm}$$

$$V_{y,Ed} = 8,06 \text{ kN}$$

#### Klasifikacija poprečnog presjeka

##### Hrbat

$$\frac{d}{t_w} = \frac{h - 2 * t_f - 2 * r}{t_w} = \frac{180 - 16 - 18}{5} = 29,2$$

$$29,2 < 72 \quad \epsilon = 29,2 < 58,32$$

Hrbat je klase 1.

##### Pojasnica

$$c = \frac{b - t_w - 2 * r}{2} = \frac{91 - 5 - 18}{2} = 34$$

$$\frac{c}{t_f} = \frac{34}{8} < 9\epsilon = 4,25 < 7,29$$

Pojasnica je klase 1.

**Poprečni presjek je klase 1.**

### **Otpornost poprečnog presjeka**

$$M_{c,Rd} = M_{Pl,Rd} = \frac{W_{pl} * f_y}{\gamma_{M,0}} = \frac{166 * 35,5}{1} = 5893 \text{ kNm} = 58,93 \text{ kNm}$$

$$M_{c,Rd} = 58,93 > M_{Ed} = 11,69$$

### **Posmična otpornost poprečnog presjeka**

$$\frac{h_w}{t_w} = \frac{h - 2 * t_f}{t_w} = \frac{180 - 16}{5} = 32,8$$

$$32,8 < 72 * \frac{\epsilon}{\eta} = 32,8 < 48,6$$

Nije potrebna provjera izbočavanja hrpta na posmik

$$V_{pl,Rd} = \frac{A_V \cdot \left(\frac{f_y}{\sqrt{3}}\right)}{\gamma_{M,0}}$$

$$A_{v,z} = A - 2 \cdot b \cdot t_f + (t_w + 2 \cdot r) \cdot t_f \geq \eta \cdot h_w \cdot t_w$$

$$A_{v,z} = 23,9 - 2 \cdot 9,1 \cdot 0,8 + (0,5 + 2 \cdot 0,9) \cdot 0,8 = 11,18 \text{ cm}^2 \geq 1,2 \cdot 16,4 \cdot 0,5 \\ = 9,84 \text{ cm}^2$$

$$V_{pl,Rd} = \frac{11,18 \cdot \left(\frac{35,5}{\sqrt{3}}\right)}{1}$$

$$V_{pl,Rd} = 229,14 \text{ kN}$$

$$V_{pl,Rd} = 229,14 \geq V_{Ed} = 8,06 \text{ kN}$$

### Interakcija M-V

Presjek u  $x=5,8/4=1,45 \text{ m}$

$$M_{Ed}=8,65 \text{ kNm}$$

$$V_{Ed}=4,03 \text{ kN}$$

$$0,5 * V_{Rd} = 0,5 * 229,14 = 114,57 \text{ kN}$$

$$V_{Ed} = 4,03 < 0,5 * V_{Rd} = 114,57 \text{ kN}$$

→ nema redukcije otpornosti na savijanje od poprečne sile

$$M_{y,V,Rd} = M_{y.c.Rd} = 58,93 \text{ kNm}$$

$$\frac{M_{y,Ed}}{M_{y,V,Rd}} < 1 = \frac{11,69}{58,93} = 0,198 < 1$$

### Otpornost elementa na savijanje

$$M_{cr} = C_1 \cdot \frac{\pi^2 \cdot E \cdot I_z}{(k \cdot L)^2} \cdot \left[ \sqrt{\left(\frac{k}{k_w}\right)^2 \cdot \frac{I_w}{I_z} + \frac{(k \cdot L)^2 \cdot G \cdot I_t}{\pi^2 \cdot E \cdot I_z}} + (C_2 \cdot z_g)^2 - C_2 \cdot z_g \right] \\ = 15,858 \text{ kNm}$$

$$z_g = \frac{h}{2} = \frac{180}{2} = 9 \text{ cm}$$

$$G = \frac{E}{2(1+v)} = \frac{21000}{2(1+0,3)} = 8077 \text{ kN/cm}^2$$

$$k = 1,0 \quad C_1 = 1,127$$

$$k_w = 1,0 \quad C_2 = 0,454$$

$$L = 580 \text{ cm}$$

$$\bar{\lambda}_y = \sqrt{\frac{W_y \cdot f_y}{M_{cr}}} = \sqrt{\frac{166 \cdot 35,5}{1585,8}} = 1,93 > 0,4$$

$$\chi_y = \frac{1}{\phi_y + \sqrt{\phi_y^2 - \bar{\lambda}_y^2}} = \frac{1}{2,54 + \sqrt{2,54^2 - 1,93^2}} = 0,24 < 1$$

$$\Phi_y = 0,5 \cdot [ 1 + \alpha \cdot (\bar{\lambda}_y - 0,2) + \bar{\lambda}_y^2 ] = 0,5 \cdot [ 1 + 0,21 \cdot (1,93 - 0,2) + 1,93^2 ] = 2,54$$

Za krivulju izvijanja a  $\rightarrow \alpha = 0,21$

$$M_{b,Rd} = \chi_y * \frac{W_y * f_y}{\gamma_{M,1}}$$

$$M_{b,Rd} = 0,24 * \frac{166 * 35,5}{1} = 1414,32 \text{ kNm} = 14,14 \text{ kNm}$$

$$M_{b,Rd} = 14,14 > M_{y,Ed} = 11,69$$

$$\eta = \frac{11,69}{14,14} = 0,8267 = 82,67 \%$$

**Odabrani profil zadovoljava provjeru s iskoristivosti od 82,67%.**

## 6. DIMENZIONIRANJE SPOJEVA

### 6.1. DIMENZIONIRANJE UPETOGL SPOJA STUP-TEMELJ

Veličine djelovanja

$$N_{Ed} = 138,57kN \text{ (tlačna sila)}$$

$$M_{y,Ed} = 174,18kNm$$

$$V_{z,Ed} = 50,90kN$$

Osnovni materijal: Fe-360 (S355)

Vijci: k.v. 8.8

Poprečni presjek:

Odabrani profil		HEA 360
Tip poprečnog presjeka		I profil
Površina poprečnog presjeka A( $cm^2$ )		143
Moment tromosti	$I_y(cm^4)$	33100,0
	$I_z(cm^4)$	7890,0
Moment otpora	$W_{pl,y}(cm^3)$ $W_{pl,z}(cm^3)$	2087,5 804,17
Konstanta krivljenja	$I_w(cm^6)$	2176600
Torzijska konstanta	$I_t(cm^4)$	149
Visina presjeka h (mm)		350
Širina pojasnice b (mm)		300
Debljina pojasnice $t_f$ (mm)		18
Debljina hrpta $t_w$ (mm)		10
Radijus r (mm)		27

### **Pojasnice**

Vlačna sila u pojusu od momenta savijanja

$$N^*_{P^M} = \frac{M_{Ed}}{h'} = \frac{174,18}{0,35 - 0,018} = 524,64 \text{ kN}$$

Tlačna sila u pojusu od uzdužne sile

$$N_P^N = \frac{A_p}{A} \cdot N_{Ed} = -\frac{36 \cdot 1}{143} \cdot 138,57 = -34,88 \text{ kN}$$

Ukupna sila u vlačnoj pojascnici

$$N_p = N^*_{P^M} + N_P^N = 524,64 - 34,88 = 489,76 \text{ kN} = F_{w,Ed}$$

### **KONTROLA VAROVA**

Kontrola vara na pojascicama i hrptu

Dužina vara pojascice

$$l \approx 2 \cdot 300 = 600 \text{ mm}$$

Dužina vara hrpta

$$l \approx 2 \cdot 314 = 628 \text{ mm}$$

Maksimlana debljina vara obzirom na debljinu hrpta i pojaseva nosača

$$a_{max} = 0,7 \cdot t_{min} = 0,7 \cdot 10 = 7 \text{ mm}$$

Za pretpostavljeni var a=5 mm

Uzdužna sila:

$$F_{w,Rd} = \frac{F_{w,Rk}}{1,25} \cdot \frac{L}{100} = \frac{163,6}{1,25} \cdot \frac{600}{100} = 785,28 \text{ kN} > F_{w,Ed} = 489,76 \text{ kN}$$

Poprečna sila:

$$F_{w,Rd} = \frac{F_{w,Rk}}{1,25} \cdot \frac{L}{100} = \frac{163,6}{1,25} \cdot \frac{628}{100} = 821,93 \text{ kN} > V_{Ed} = 50,90 \text{ kN}$$

## **PRORAČUN VIJAKA**

Uz pretpostavku vijaka M-27 udaljenost  $c_{min}$  vijaka od ruba pojasnice iznosi

$$c_{min} = 2d + a\sqrt{2} = 2 \cdot 27 + 5\sqrt{2} = 61,07$$

-usvojeni  $c=65$  mm

-ekscentricitet uzdužne sile

$$e = \frac{M_{Ed}}{N_{Ed}} = \frac{174,18}{138,57} = 1,26 \text{ m}$$

-ekscentricitet

$$x_1 = 65 + 300 - 9 = 356 \text{ mm} = 0,356 \text{ m}$$

$$x_2 = 1260 - 300/2 + 9 = 1119 \text{ mm} = 1,119 \text{ mm}$$

$$N_{Ed} \cdot x_2 = F_{t,Ed} \cdot x_1 \quad \Rightarrow \quad F_{t,Ed} = N_{Ed} \cdot \frac{x_2}{x_1} = 138,57 \cdot \frac{1,119}{0,356} = 435,56 \text{ kN}$$

## **PRORAČUN VIJAKA**

Otpornost vijaka na vlak

$$F_{t,Rd} = \frac{F_{t,Rk}}{\gamma_{M1}} = \frac{330,5}{1,25} = 264,4 \text{ kN} \geq \frac{F_{t,Ed}}{2} = 217,78 \text{ kN}$$

Otpornost vijaka na posmik

$$F_{v,Rd} = \frac{F_{v,Rk}}{\gamma_{Mb}} = \frac{220,3}{1,25} = 176,24 \text{ kN} \geq F_{v,Ed} = \frac{V_{Ed}}{4} = \frac{50,90}{4} = 12,73 \text{ kN}$$

Interakcija uzdužne i odrezne sile na vijak

$$\frac{F_{v,Ed}}{F_{v,Rd}} + \frac{F_{t,Ed}}{1,4 \cdot F_{t,Rd}} \leq 1,0$$

$$\frac{12,73}{176,24} + \frac{217,78}{1,4 \cdot 264,4} \leq 1,0 \quad \Rightarrow 0,66 \leq 1,0$$

## **PRORAČUN PLOČE**

$$a_{pl}^{\min} = h + 2(c + e_1) = 350 + 2 * (65 + 70) = 620 \text{ mm}$$

$$b_{pl}^{\min} = b + 2a\sqrt{2} + 20 \text{ mm} = 300 + 2 \cdot 5\sqrt{2} + 20 \text{ mm} = 334,14 \text{ mm}$$

$$= p_2 + 2e_2 = 90 + 2 \cdot 55 = 200 \text{ mm}$$

*Odabране димензије плаче су 620x340 mm*

### **Proračun debljine ploče - $t_{pl}^{\min}$**

Pritisak po omotaču rupe osnovnog materijala

$$F_{v,Ed} = \frac{V_{Ed}}{4} = \frac{50,90}{4} = 12,73 \text{ kN} = F_{b,Ed}$$

$$F_{b,Rd} = \frac{F_{b,Rk}}{1,25} \cdot \frac{t_{pl}}{10} = \frac{258,2}{1,25} \cdot \frac{t_{pl}}{10} = F_{b,Ed} = 12,73 \text{ kN} \Rightarrow t_{pl}^{\min} = 0,61 \text{ mm}$$

### **Savijanje ploče od odgovora betonske podloge**

$$s = \frac{620 - 350 + 18}{2} = 144 \text{ mm}$$

$$R = F_{t,Ed} + N_{Ed} = 435,56 + 138,57 = 574,13 \text{ kN}$$

### **Naprezanje na betonu**

$$f_{b,Ed} = \frac{R}{3 \cdot s \cdot b_{pl}} = \frac{574,13}{3 \cdot 14,4 \cdot 34,0} = 0,78 \text{ kN/cm}^2 \leq \frac{f_{ck}}{1,5} = \frac{2,5}{1,5} = 1,67 \text{ kN/cm}^2$$

### **Savijanje ploče**

$$\begin{aligned} M_{Ed} &= F_1 \cdot \frac{s}{2} + F_2 \cdot \frac{2}{3} \cdot s = \frac{2}{3} \cdot f_{b,Ed} \cdot s \cdot b_{pl} \cdot \frac{s}{2} + \frac{\frac{1}{3} \cdot f_{b,Ed} \cdot s \cdot b_{pl}}{2} \cdot \frac{2}{3} \cdot s \\ &= \frac{2}{3} \cdot 7800 \cdot 0,144 \cdot 0,340 \cdot \frac{0,144}{2} + \frac{\frac{1}{3} \cdot 7800 \cdot 0,144 \cdot 0,340}{2} \cdot \frac{2}{3} \cdot 0,144 = 24,44 \text{ kN} \end{aligned}$$

### **Savijanje ploče od vlačnih vijaka**

$$M_{Ed} = F_{t,Ed} \cdot \left( c + \frac{t_f}{2} \right) = 435,56 \cdot (0,065 + 0,009) = 32,23 \text{ kNm}$$

$$M_{Ed} \leq \frac{W_{min} \cdot f_y}{1,1}$$

$$W_{min} = \frac{1,1 \cdot M_{Ed}}{f_y} = \frac{b_{pl} \cdot t_{pl}^{min^2}}{6}$$

$$t_{pl}^{min} = \sqrt{\frac{1,1 \cdot M_{Ed} \cdot 6}{b_{pl} \cdot f_y}} = \sqrt{\frac{1,1 \cdot 3223 \cdot 6}{34 \cdot 35,5}} = 4,198 \text{ cm}$$

**Usvojene dimenzije ploče 620x340x45 mm.**

## 6.2. DIMENZIONIRANJE SPOJA STUP-REŠETKA

### Veličine djelovanja

$$V_{z,Ed} = 5,5kN$$

Osnovni materijal: Fe-360 (S355)

Vijci: k.v. 8.8

Poprečni presjek:

Odabrani profil	CFRHS 160 x 160 x 5
Odabrani profil	HEA 360
Tip poprečnog presjeka	I profil
Visina presjeka h (mm)	350
Širina pojasnice b (mm)	300
Debljina pojasnice $t_f$ (mm)	18
Debljina hrpta $t_w$ (mm)	10
Radius r (mm)	27

## KONTROLA VAROVA

Dužina vara hrpta

$$l_1 = 2 * (h - 2 * t_f) = 2 * (350 - 2 * 18) = 628 \text{ mm}$$

Dužina vara pojasa

$$l_2 = O = 4 * 160 = 640 \text{ mm}$$

Maksimlana debljina vara obzirom na debljinu hrpta i pojaseva nosača

$$a_{\max} = 0,7 \cdot t_{\min} = 0,7 \cdot 5 = 3,5 \text{ mm}$$

Za pretpostavljeni var  $a=4 \text{ mm}$

Poprečna sila

$$F_{w,Rd} = \frac{F_{w,Rk}}{1,25} \cdot \frac{L}{100} = \frac{130,9}{1,25} \cdot \frac{628}{100} = 657,64 \text{ kN} > V_{Ed} = 5,5 \text{ kN}$$

## **PRORAČUN VIJAKA**

Odabrani vijci: M12; kv 8.8

### Otpornost vijaka na posmik

Poprečna sila se raspoređuje na 2 vijka.

$$F_{v,Rd} = \frac{F_{v,Rk}}{\gamma_{Mb}} = \frac{40,5}{1,25} = 32,4 \text{ kN} \geq F_{v,Ed} = \frac{V_{Ed}}{2} = \frac{5,5}{2} = 2,75 \text{ kN}$$

$$\frac{F_{v,sd}}{F_{v,Rd}} \leq 1,0 \rightarrow \frac{2,75}{32,4} = 0,08 \leq 1,0$$

## **PRORAČUN DIMENZIJE PLOČE**

Proračun širine i dužine ploče:

$$b_{pl}^{\min} = b + 2a\sqrt{2} + 20 \text{ mm} = 300 + 2 \cdot 4\sqrt{2} + 20 \text{ mm} = 331,31 \text{ mm}$$

*Odabране dimenzije ploče su 340x340 mm*

### Proračun debljine ploče - $t_{pl}^{\min}$

Pritisak po omotaču rupe osnovnog materijala

$$F_{v,Sd} = \frac{V_{Sd}}{2} = \frac{5,5}{2} = 2,75 \text{ kN} = F_{b,Sd} < F_{b,Rd} = \frac{F_{b,Rk}}{\gamma_{Mb}} * \frac{t^{pl}}{10} \rightarrow t^{pl} > \frac{F_{b,Sd} * \gamma_{Mb} * 10}{F_{b,Rk}}$$

$$t^{pl} > \frac{2,75 * 1,25 * 10}{117,7} = 0,29 \text{ mm}$$

**Usvojene dimenzije ploče 340x340x14 mm.**

### 6.3. DIMENZIONIRANJE VLAČNOG NASTAVKA DONJEG POJASA

#### Veličine djelovanja

$$N_{z,Ed} = 538,34 \text{ kN}$$

Osnovni materijal: Fe-360 (S355)

Poprečni presjek:

Odabrani profil	CFRHS 160 x 160 x 5
Tip poprečnog presjeka	Valjani
Visina presjeka h (mm)	160
Širina pojasnice b (mm)	160
Debljina pojasnice t_f (mm)	5

### KONTROLA VAROVA

Određivanje maksimalne debljine varu:

$$a_{max} = 0,7 \cdot t_{min} = 0,7 \cdot 5 = 3,5 \text{ mm}$$

Za pretpostavljeni var a=4,0 mm

Otpornost varu:

$$L_w = O = 2 \cdot h + 2 \cdot b = 2 \cdot 160 + 2 \cdot 160 = 640 \text{ mm}$$

$$F_{w,Rd} = \frac{F_{w,Rk}}{\gamma_{M1}} \cdot \frac{L_w}{100} = \frac{130,9}{1,25} \cdot \frac{640}{100} = 670,21 \text{ kN} > N_{sd} = 538,34 \text{ kN}$$

### PRORAČUN VIJAKA

Pretpostavka: M20 k.v. 10.9  
n=4 vijka

Otpornost vijaka na vlast

$$F_{t,Rd} = \frac{F_{t,Rk}}{\gamma_{M1}} = \frac{220,5}{1,25} = 176,4 \text{ kN} > F_{t,Ed} = \frac{N_{sd}}{4} = \frac{538,34}{4} = 134,59 \text{ kN}$$

### **Proračun dimenzija ploče**

#### Proračun širine i dužine ploče

$$c = 2 \cdot d + a\sqrt{2} = 2 \cdot 20 + 4\sqrt{2} = 45,66 \text{ mm}$$

$$b_{pl}^{min} = 2 \cdot e_1 + p_2 = 2 \cdot 50 + 70 = 170 \text{ mm}$$

$$b_{pl}^{min} = b + 2 \cdot a\sqrt{2} + 20 \text{ mm} = 160 + 2 \cdot 4\sqrt{2} + 20 = 191,31 \text{ mm}$$

**Odabrane dimenzije širine i dužine ploče su 325×325mm.**

#### Proračun minimalne debljine ploče

$$e = 33 \text{ mm}$$

$$b_{pl} = 325 \text{ mm}$$

$$M_{sd} = 2 \cdot F_{t,sd} \cdot e = 2 \cdot 176,4 \cdot 0,033 = 11,64 \text{ kNm}$$

$$\begin{aligned} M_{sd} &\leq \frac{W_{min} \cdot f_y}{1,1} \rightarrow W_{min} = \frac{1,1 \cdot M_{sd}}{f_y} = \frac{b_{pl} \cdot t_{pl}^{min}{}^2}{6} \rightarrow t_{pl}^{min} = \sqrt{\frac{1,1 \cdot M_{sd} \cdot 6}{b_{pl} \cdot f_y}} \\ &= \sqrt{\frac{1,1 \cdot 1164 \cdot 6}{32,5 \cdot 35,5}} = 2,58 \text{ cm} \end{aligned}$$

$$t_{pl} = 2,58 \text{ cm}$$

**Usvojene dimenzije ploče su 325×325×30mm.**

## 7. PRORAČUN TEMELJA

Odabrane dimenzije temelja:

$$L=2,0(\text{m})$$

$$B=2,0(\text{m})$$

$$H=1,5(\text{m})$$

Materijali:

$$\text{Temeljno tlo: } \sigma_{tla,\lim} = 300 \frac{\text{kN}}{\text{m}^2}$$

$$\text{Beton C25/30: } f_{ck} = 2,5 \frac{\text{kN}}{\text{cm}^2}$$

$$\text{Čelik B500B: } f_{yk} = 50,0 \frac{\text{kN}}{\text{cm}^2}$$

Rezne sile:

$$N_{sd} = -138,57 \text{ kN}$$

$$V_{sd} = 50,90 \text{ kN}$$

$$M_{sd} = 174,18 \text{ kNm}$$

Površina temeljne stope

$$A = L \cdot B = 2,0 \cdot 2,0 = 4,0 \text{ m}^2$$

Težina temeljne stope

$$G = L \cdot B \cdot H \cdot \gamma_b = 2,0 \cdot 2,0 \cdot 1,0 \cdot 25 = 100,0 \text{ kN}$$

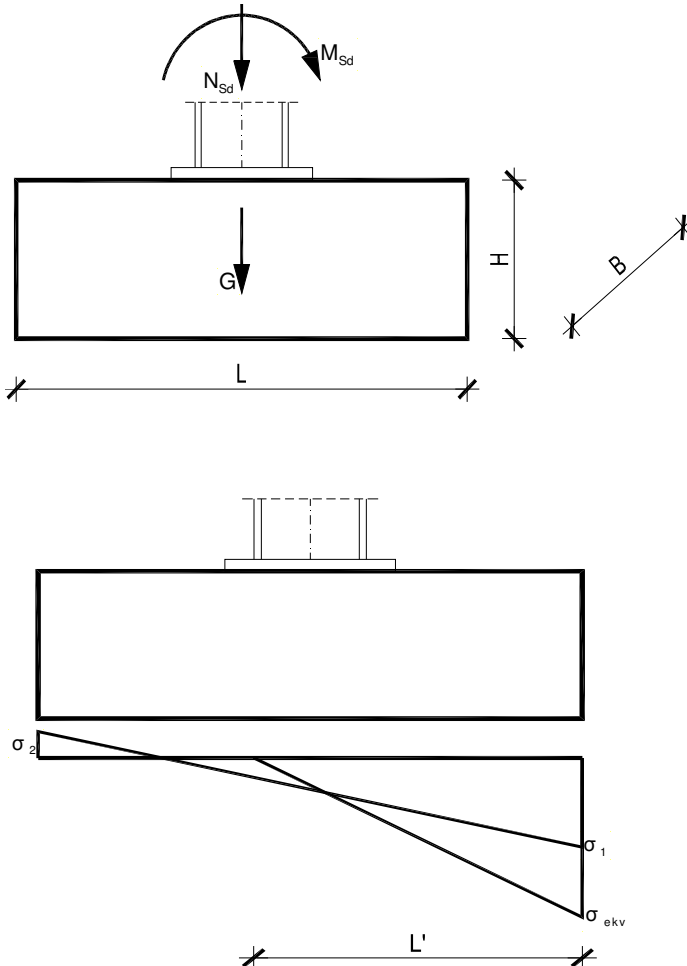
Moment otpora temeljne stope

$$W = \frac{B \cdot L^2}{6} = \frac{2,0 \cdot 2,0^2}{6} = 1,33 \text{ m}^3$$

Naprezanje u tlu ispod temeljne stope na dubini temeljenja

$$\sigma_{1,2} = \frac{N_{sd} + G}{A} \pm \frac{M_{sd}}{W} = \frac{138,57 + 100,0}{4,0} \pm \frac{174,18}{1,33} = 59,64 \pm 130,96$$

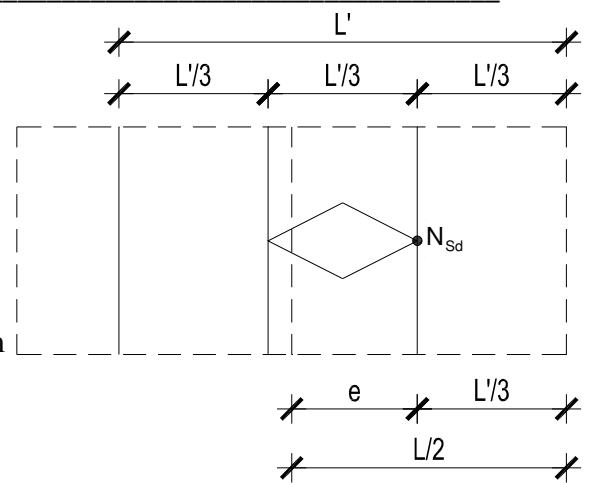
$$\sigma_1 = 190,6 \frac{\text{kN}}{\text{m}^2}$$



$$\sigma_2 = -71,32 \frac{\text{kN}}{\text{m}^2}$$

$$e = \frac{M_{sd}}{N_{sd} + G} = \frac{174,18}{138,57 + 100,0} = 0,7 \text{ m}$$

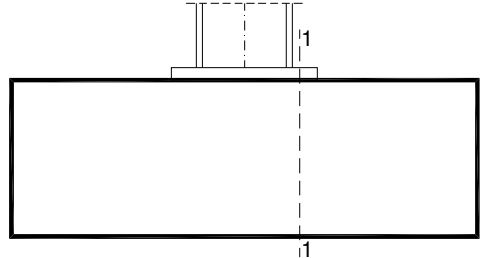
$$\frac{L}{2} = e + \frac{L'}{3} \Rightarrow L' = 3 \cdot \left( \frac{L}{2} - e \right) = 3 \cdot \left( \frac{2,0}{2} - 0,7 \right) = 0,9 \text{ m}$$



$$\sigma_{ekv} = \frac{2 \cdot (N_{sd} + G)}{L' \cdot B} = \frac{2 \cdot (138,57 + 100,0)}{0,9 \cdot 2,0} = 265,08 \frac{\text{kN}}{\text{m}^2} < \sigma_{tla,lim} = 300,0 \frac{\text{kN}}{\text{m}^2}$$

### Proračun armature temelja

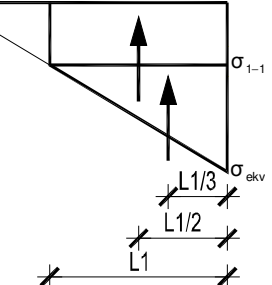
$$L_1 = \frac{L - h_{stup}}{2} = \frac{2,0 - 0,350}{2} = 0,83 \text{ m}$$



$$\frac{\sigma_{1-1}}{L' - L_1} = \frac{\sigma_{ekv}}{L'} \Rightarrow \sigma_{1-1} = \frac{L' - L_1}{L'} \cdot \sigma_{ekv} = \frac{0,9 - 0,83}{0,9} \cdot 265,08 = 20,62 \frac{\text{kN}}{\text{m}^2}$$

$$M_{sd}^{1-1} = \gamma \cdot \left( \sigma_{1-1} \cdot \frac{L_1^2}{2} \cdot B + \frac{\sigma_{ekv} - \sigma_{1-1}}{2} \cdot L_1 \cdot B \cdot \frac{2}{3} \cdot L_1 \right)$$

$$M_{sd}^{1-1} = 1,4 \cdot \left( 20,62 \cdot \frac{0,83^2}{2} \cdot 2,0 + \frac{265,08 - 20,62}{2} \cdot 0,83 \cdot 2,0 \cdot \frac{2}{3} \cdot 0,83 \right) = 177,07 \text{ kNm}$$



### Krak unutarnjih sila u betonu

$$z \approx 0,8 \cdot H = 0,8 \cdot 1,0 = 0,8 \text{ m} = 80 \text{ cm}$$

### Potrebna površina armature

$$A_{s1} = \frac{M_{sd}^{1-1}}{z \cdot \frac{f_{yk}}{\gamma_s}} = \frac{17707}{80 \cdot \frac{50,0}{1,15}} = 5,09 \text{ cm}^2 < A_{s1,\min} = \frac{0,1}{100} \cdot B \cdot H = 20,0 \text{ cm}^2$$

---

Komentar: Odabранa je minimalna armatura.

Odabrano: glavna armatura → ø12/10 19 kom =  $21,48 \text{ cm}^2$

razdjelna armatura → ø8/25

## 8. LITERATURA

- [1] B. Andrić; D. Dumović; I. Džeba: Metalne konstrukcije 1, Institut građevinarstva Hrvatske, Zagreb, 1994.
- [2] B. Andrić; D. Dumović; I. Džeba: Metalne konstrukcije 2, Institut građevinarstva Hrvatske, Zagreb, 1994.
- [3] B. Andrić; D. Dumović; I. Džeba: Metalne konstrukcije 3, Institut građevinarstva Hrvatske, Zagreb, 1994.
- [4] ENV 1993-1-1: 1992: Eurocode 3: Bemessung nach EC3, Bemessung und Konstruktion von Stahlbauten – Teil 1-1: Allgemeine Bemessungsregeln, Bemessungsregeln für den Hochbau.
- [5] Prof.dr.sc. Ivica Boko: Predavanja
- [6] FGAG repozitorij: Repozitorij Fakulteta Građevinarstva, arhitekture i geodezije, Sveučilište u Splitu

---

## 9.NACRTI

### 9.1 GENERALNI PLAN POZICIJA

---

## 9.2 PRESJEK KROZ GLAVNI OKVIR

---

### 9.3 RADIONIČKI NACRT GLAVNOG NOSAČA

---

#### 9.4 RADIONIČKI NACRT SEKUNDARNOG NOSAČA

---

## 9.5 DETALJ „DE1“ SPOJA STUP-TEMELJ

---

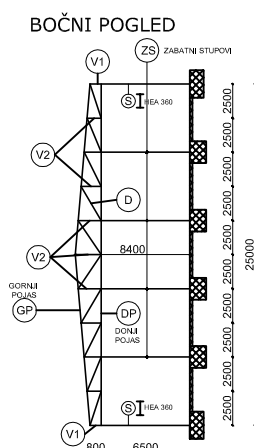
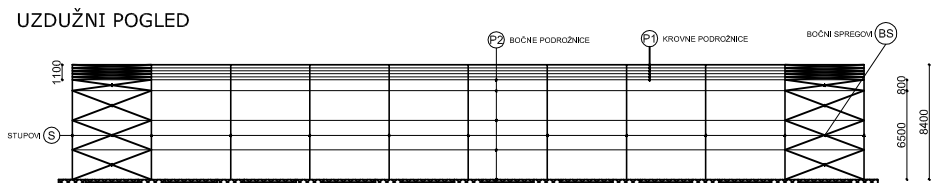
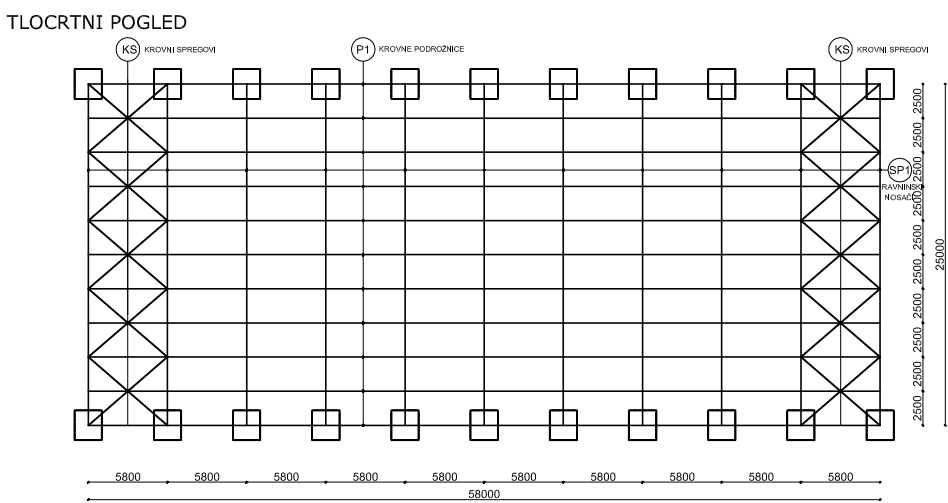
## 9.6 DETALJ „DE2“ SPOJ STUP-REŠETKA

---

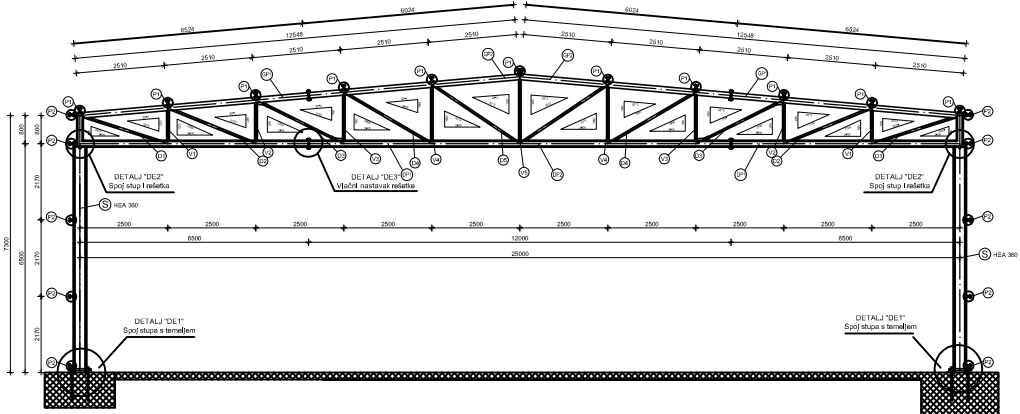
## 9.7 DETALJ „DE3“ VLAČNI NASTAVAK REŠETKE

---

## 10. ISKAZ MATERIJALA



- S - Stup HEA360
- P1 - Krovna podrožnica IPE240
- P2 - Bočna podrožnica IPE180
- KS - Krovni spregov RD12
- BS - Bočni spregov RD16
- GP - Gornej pojas CFRHS160/160/5
- DP - Donji pojas CFRHS160/160/5
- ZS - Zabatni stup HEA220
- SP1 - Ravniški nosad
- V1 - Vertikale CFRHS160/160/5
- V2 - Vertikale CFRHS40/40/40/4
- D - Dijagonale CFRHS60/60/5



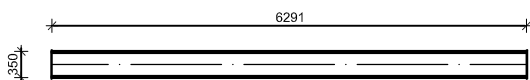
9.2 PRESJEK KROZ GLAVNI OKVIR  
M 1:50

S - Stup HEA 300  
P1 - Krivna podnoshnica IPE240  
P2 - Bočna podnoshnica IHL190  
GP - Gornji pojaz CF-RHS 160/1605  
DP-1-2 - Donji pojaz CF-RHS 160/1605  
V1-4 - Vertikale CF-RHS40/404  
D1-5 - Diagonale CF-RHS50/50/505

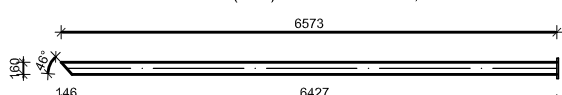
Napomena:  
Material konstrukcije za sve elemente je S-355.

### 9.3 RADIONIČKI NACRT GLAVNOG NOSAČA M 1:50

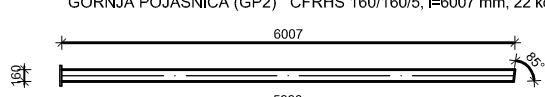
STUP (S) HEA 360,  $l=6291$  mm, 22 kom



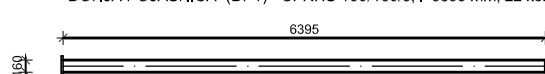
GORNJA POJASNICA (GP1) CFRHS 160/160/5,  $l=6573$  mm 22 kom



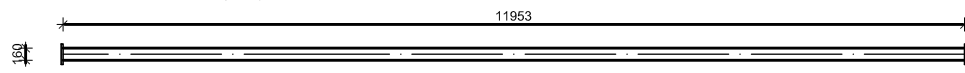
GORNJA POJASNICA (GP2) CFRHS 160/160/5,  $l=6007$  mm, 22 kom



DONJA POJASNICA (DP1) CFRHS 160/160/5,  $l=6395$  mm, 22 kom

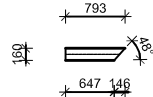


DONJA POJASNICA (DP2) CFRHS 160/160/5,  $l=11953$  mm, 11 kom

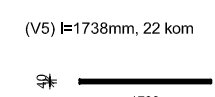
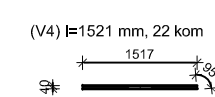
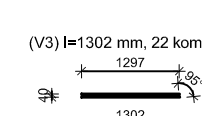
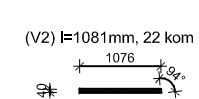
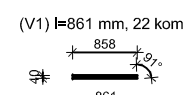


BOČNA POJASNICA (BP)

CFRHS 160/160/5,  $l=793$  mm, 22 kom



ELEMENTI ISPUNE REŠETKE, VERTIKALNE CFRHS 40/40/4

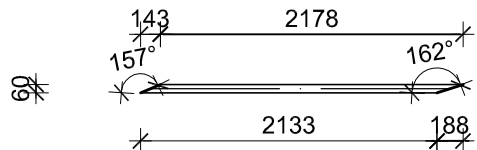


Osnove metalnih konstrukcija			
TEMA	PROJEKTIRANJE I DIMENZIONIRANJE HALE		
STUDENT	Vukadlin Ana		
SADRŽAJ	Radionički nacrt	MERILLO	1:50
DATUM	lipanj 2019.	BROJ PRLOGA	3

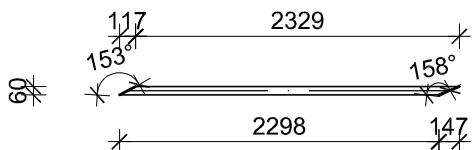
## 9.3 RADIONIČKI NACRT GLAVNOG NOSAČA M 1:50

ELEMENTI ISPUNE REŠETKE, DIJAGONALE CFRHS 60/60/5

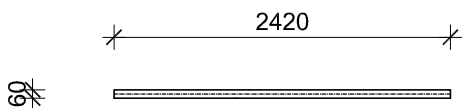
(D1)  $l=2321$  mm, 22 kom



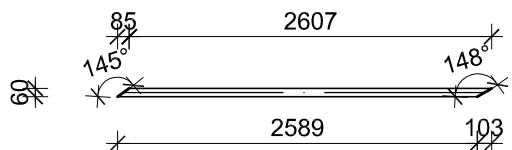
(D2)  $l=2446$  mm, 22 kom



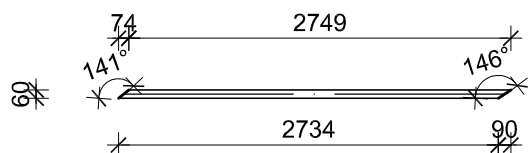
(D3)  $l=2420$  mm, 22 kom



(D4)  $l=2692$  mm, 22 kom



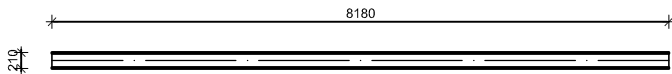
(D5)  $l=2824$  mm, 22 kom



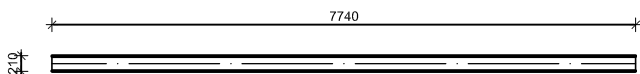
 SVEUČILIŠTE U SPLITU GRAĐEVINSKO - ARHITEKTONSKI FAKULTET 21000 SPLIT, MATICE HRVATSKE 15	<b>Osnove metalnih konstrukcija</b> <b>TEMA</b> <b>PROJEKTIRANJE I DIMENZIONIRANJE HALE</b> <b>STUDENT</b> Vukadin Ana		
	SADRŽAJ	Radionički nacrt	MJERILO
			1:50
	DATUM	lipanj 2019.	BROJ PRILOGA
			4

## 9.4 RADIONIČKI NACRT SEKUNDARNOG NOSAČA M 1:50

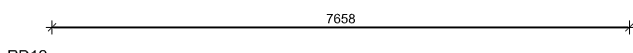
ZABATNI STUP (ZS1) HEA 220, l=8180 mm, 4 kom



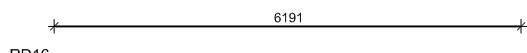
ZABATNI STUP (ZS2) HEA 220, l=7740 mm, 4 kom



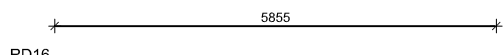
KROVNI SPREGOVI(KS) RD12, l=7658 mm, 20 kom



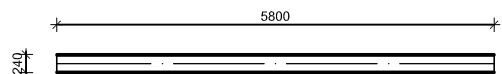
BOČNI SPREGOVI(BS1) RD16, l=6191 mm, 24 kom



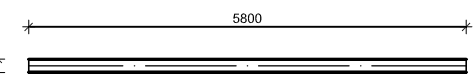
BOČNI SPREGOVI(BS2) RD16, l=5855 mm, 8 kom



KROVNE PODROŽNICE (KP) IPE 240, l=5800 mm, 120 kom

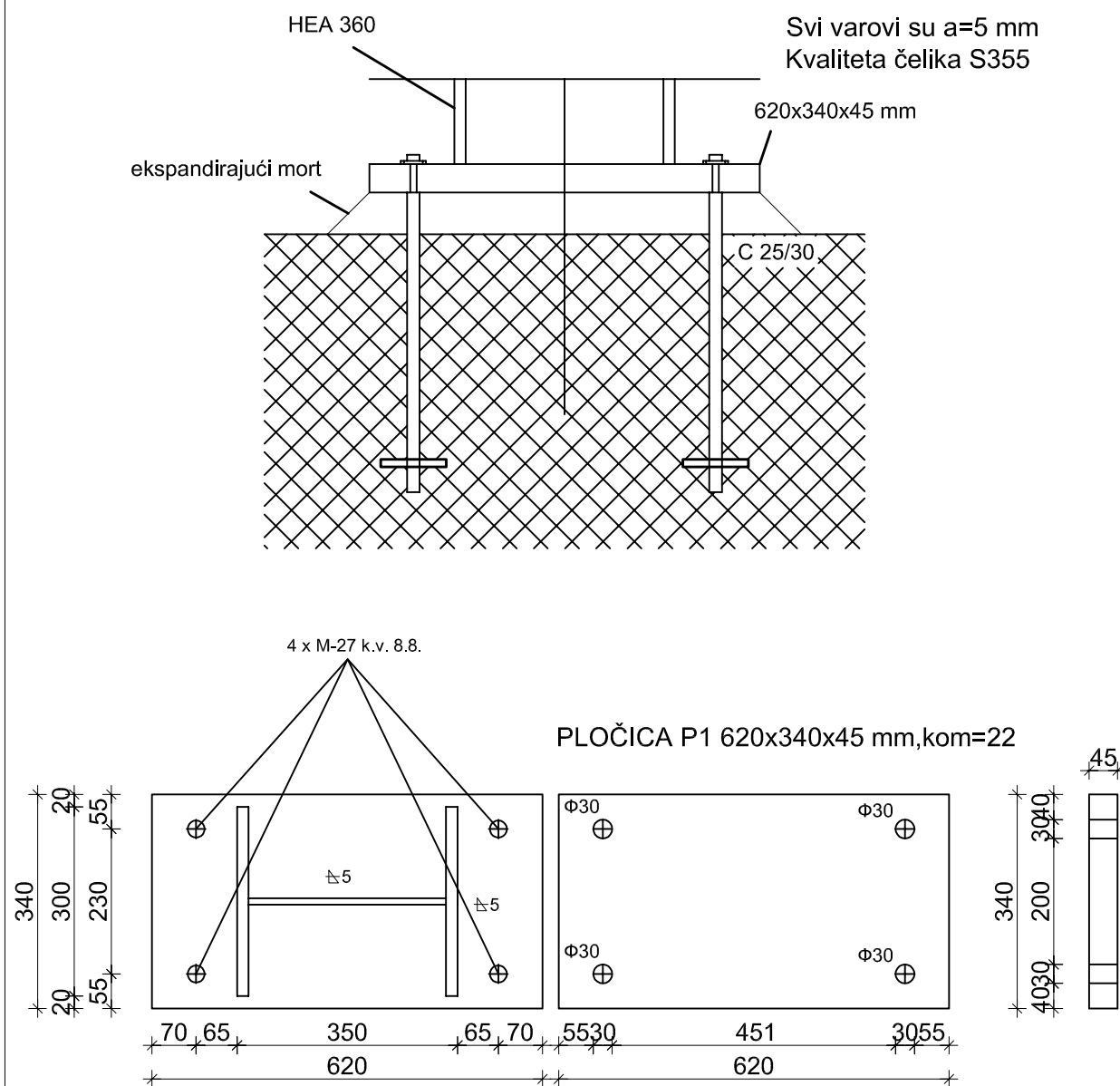


BOČNE PODROŽNICE (BP) IPE 180, l=5800 mm, 100 kom



Osнове metalnih konstrukcija			
TEMA		PROJEKTIRANJE I DIMENZIONIRANJE HALE	
STUDENT	Vukadlin Ana	MJERILO	1:50
SADRŽAJ	Radionički nacrt	BROJ PIRELOGA	5
DATUM	lipanj 2019.		

## 9.5 DETALJ "DE1" SPOJA STUP-TEMELJ M 1:10

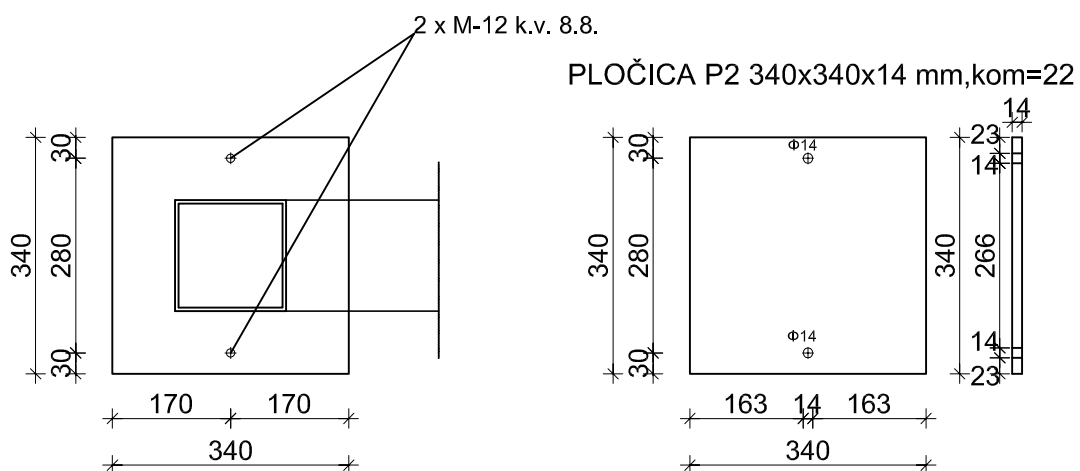
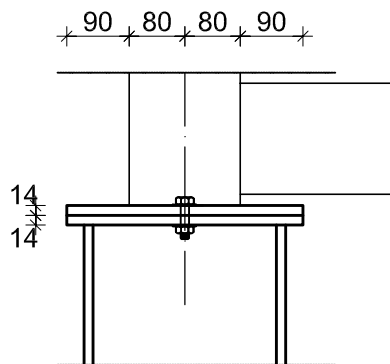


SVEUČILIŠTE U SPLITU  
GRADEVINSKO - ARHITEKTONSKI FAKULTET  
21000 SPLIT, MATICE HRVATSKE 15

Osnove metalnih konstrukcija	
TEMA	PROJEKTIRANJE I DIMENZIONIRANJE HALE
STUDENTI	Vukadin Ana
SADRŽAJ	MJERILO Detalj spoja stup-temelj
DATUM	BROJ PRILOGA lipanj 2019. 6

## 9.6 DETALJ "DE2" SPOJ STUP-REŠETKA

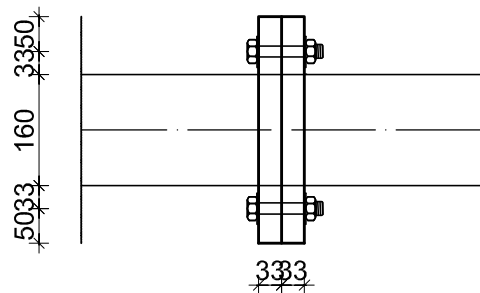
M 1:10



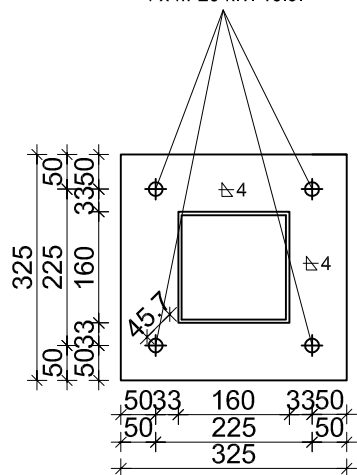
 SVEUČILIŠTE U SPLITU GRAĐEVINSKO - ARHITEKTONSKI FAKULTET 21000 SPLIT, MATICE HRVATSKE 15	Osnove metalnih konstrukcija		
	TEMA	PROJEKTIRANJE I DIMENZIONIRANJE HALE	
STUDENTI	Vukadin Ana		
SADRŽAJ	Spoj stup-rešetka	MJERILO	1:10
DATUM	lipanj 2019.	BROJ PRILOGA	7

# 9.7 DETALJ "DE3" VLAČNI NASTAVAK REŠETKE

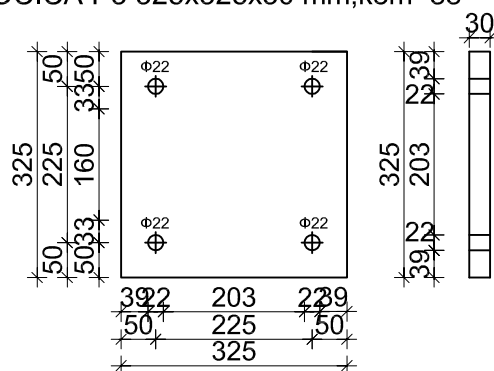
M 1:10



4 x M-20 k.v. 10.9.



PLOČICA P3 325x325x30 mm, kom=88



# 10. TABLICA ISKAZA MATERIJALA

TABLICA ISKAZA MATERIJALA ZA CIJELU KONSTRUKCIJU					
POZICIJA	PROFIL	DUŽINA (mm)	KOMADA	JED. TEŽINA (kg/m)	UKUPNA TEŽINA (kg)
Stup (S)	HEA360	6291	22	112,3	15542,54
Donji pojas (DP1)	160x160x5	6395	22	71,48	10056,52
Donji pojas (DP2)	160x160x5	11953	11	71,48	9398,40
Gornji pojas (GP1)	160x160x5	6573	22	71,48	10336,44
Gornji pojas (GP2)	160x160x5	6007	22	71,48	9446,37
Vertikala (V1)	40x40x4	861	22	4,2	79,56
Vertikala (V2)	40x40x4	1081	22	4,2	99,88
Vertikala (V3)	40x40x4	1302	22	4,2	120,3
Vertikala (V4)	40x40x4	1521	22	4,2	140,54
Vertikala (V5)	40x40x4	1738	22	4,2	160,59
Dijagonala (D1)	60x60x5	2321	22	8,13	415,13
Dijagonala (D2)	60x60x5	2446	22	8,13	437,49
Dijagonala (D3)	60x60x5	2420	22	8,13	432,84
Dijagonala (D4)	60x60x5	2692	22	8,13	481,49
Dijagonala (D5)	60x60x5	2824	22	8,13	505,10
Bočni pojas (BP)	160x160x5	793	22	71,48	1247,04
P1	620x340x45	-	22	7850(kg/m³)	1638,23
P2	340x340x14	-	22	7850(kg/m³)	279,5
P3	325x325x30	-	88	7850(kg/m³)	2188,97
Zabatni stup (ZS1)	HEA220	8180	4	50,48	1651,71
Zabatni stup (ZS2)	HEA220	7740	4	50,48	1562,86
K.spregovi(KS)	RD12	7658	20	0,89	136,31
B.spregovi(BS1)	RD16	6191	24	1,58	234,76
B.spregovi(BS2)	RD16	5855	8	1,58	74,01
K.podrožnice (KP)	IPE240	5800	120	30,69	21360,24
B.podrožnice (BP)	IPE180	5800	100	18,76	10880,8
				Ukupno (kg) +2,0% spojna sredstva	98907,62 1978,2
				UKUPNO (kg)	100885,82
				UKUPNO (kg/m²)	69,6

 SVEUČILIŠTE U SPLITU GRAĐEVINSKO - ARHITEKTONSKI FAKULTET 21000 SPLIT, MATICE HRVATSKE 15	Osnove metalnih konstrukcija		
	TEMA	PROJEKTIRANJE I DIMENZIONIRANJE HALE	
STUDENTI	Vukadin Ana		
SADRŽAJ	Tablica iskaza materijala		MJERILO 1:10
DATUM	lipanj 2019.		BROJ PRILOGA 9